

从图像中恢复三维

•D. Marr视觉计算理论:计算机视觉的第三阶段(后期阶段)是获得物体的三维模型表征。

如何从图像中自动计算三维几何?

•换句话说:

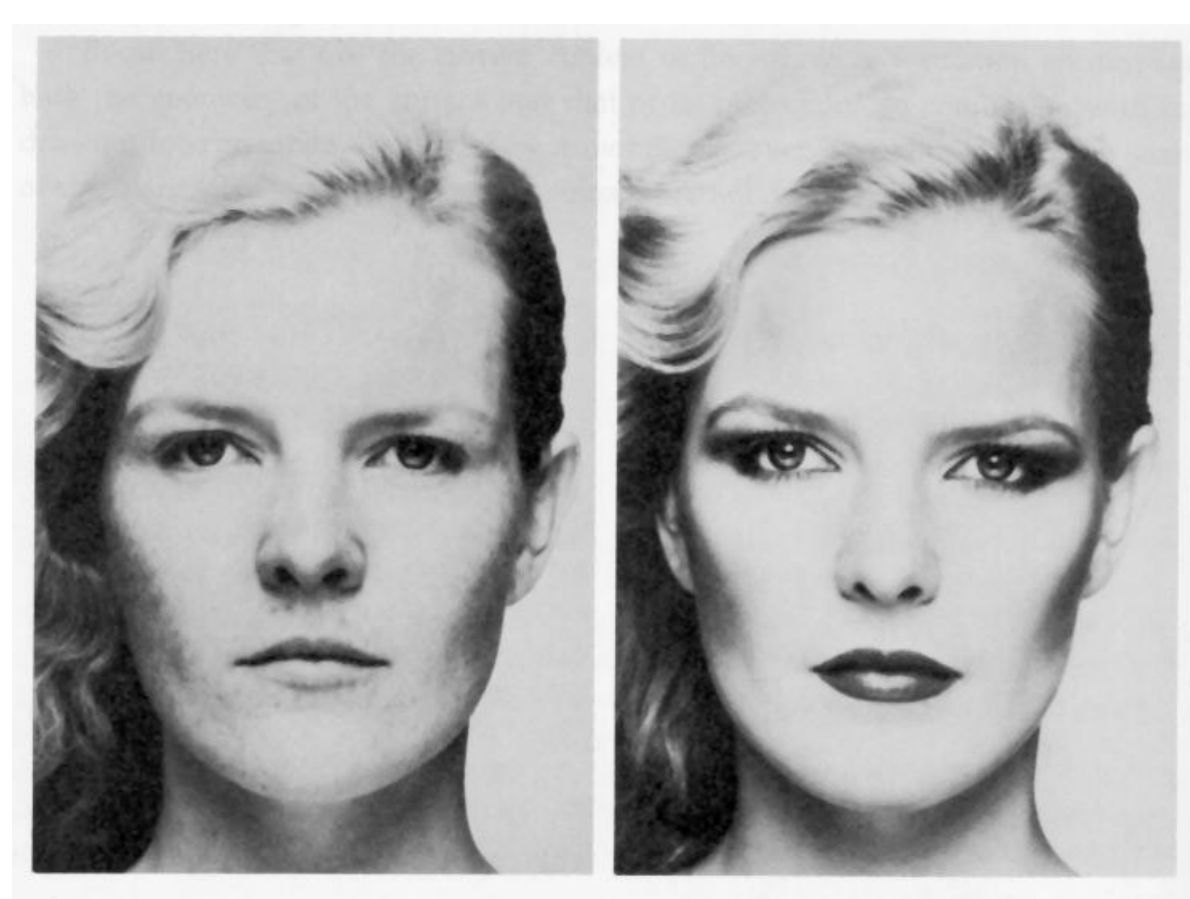
图像中提供了哪些关于三维信息的线索?

令人惊讶的3D壁画艺术



Hangzhou Dianzi University 杭州电子科技大学

•阴影

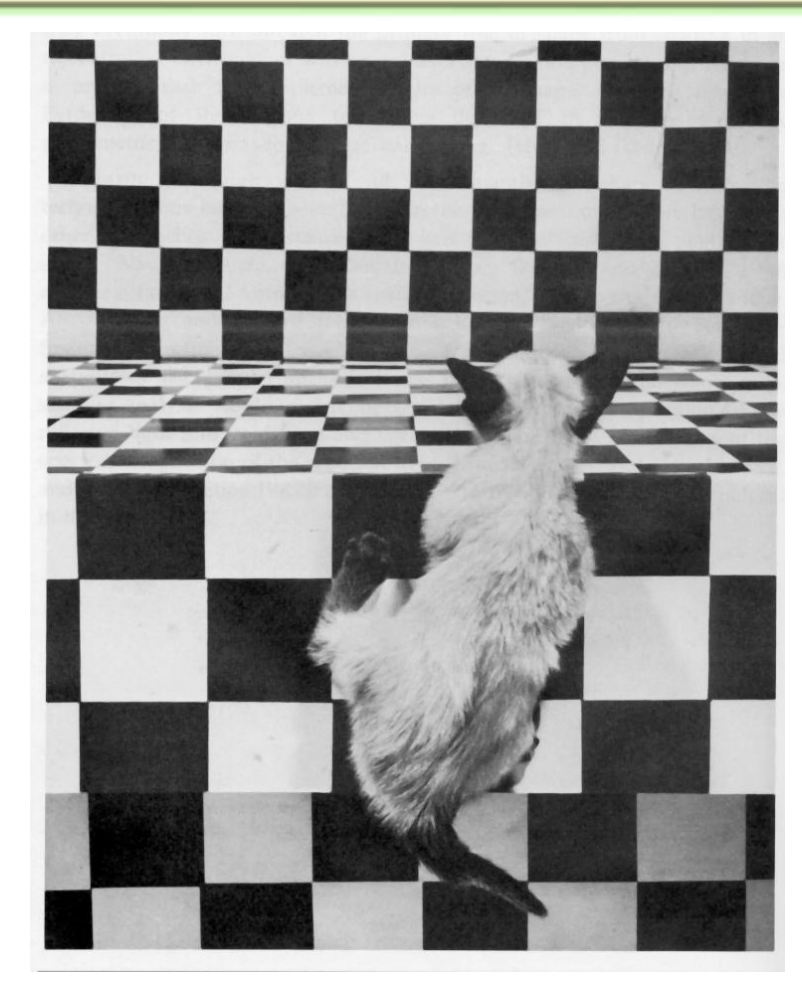


Merle Norman Cosmetics, Los Angeles

Hangzhou Dianzi University 杭州电子科技大学

•阴影

•纹理



The Visual Cliff, by William Vandivert, 1960

•阴影

•纹理

•遮挡





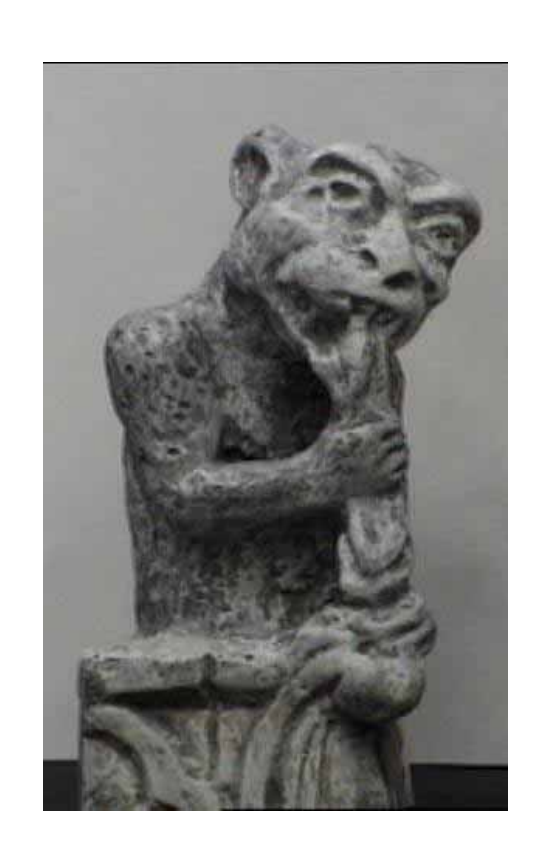
From The Art of Photography, Canon

•阴影

•纹理

•遮挡

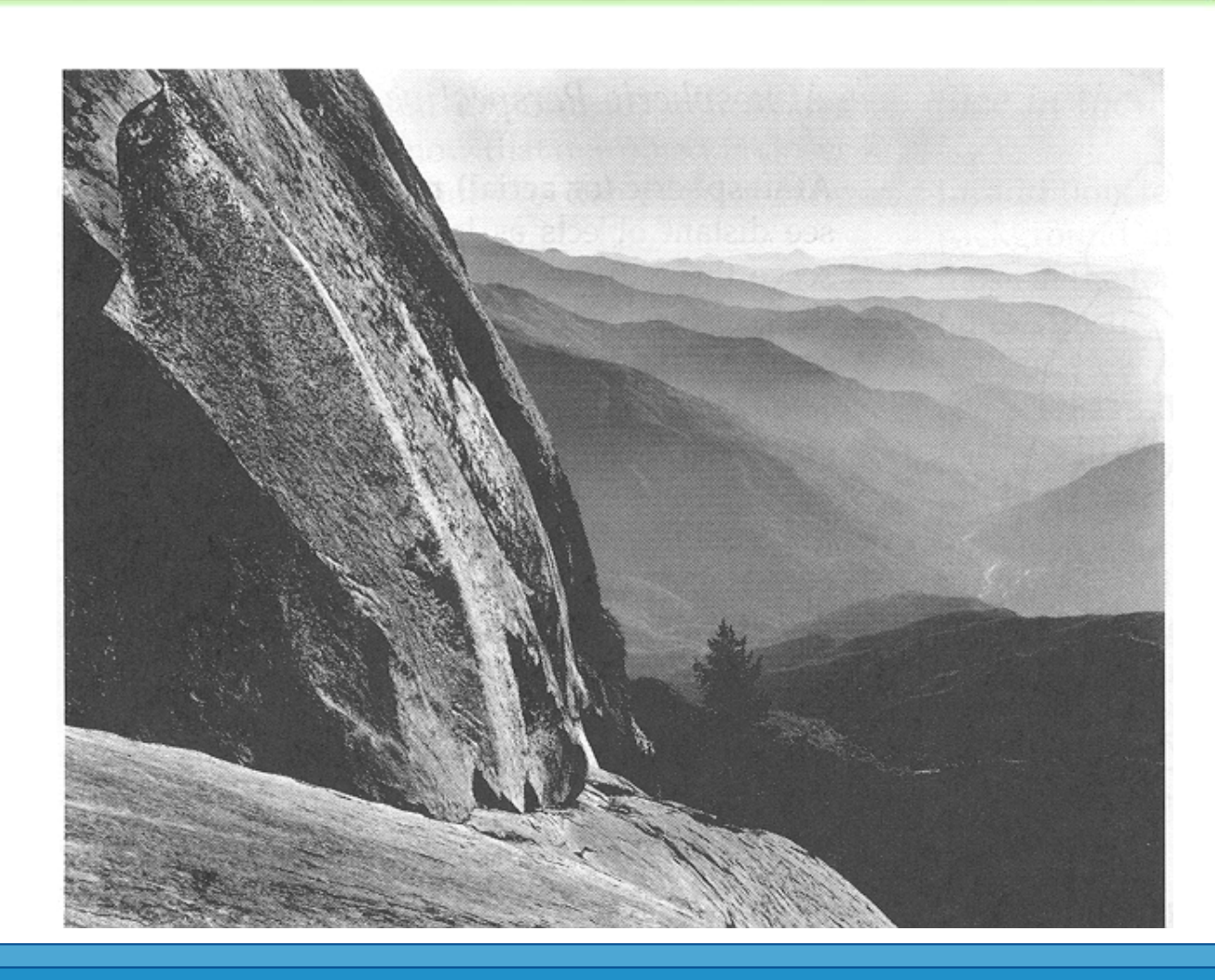
•运动







- •阴影
- •纹理
- •遮挡
- •运动
- •模糊



Hangzhou Dianzi University 杭州电子科技大学

•阴影

•纹理

•遮挡

•运动

•模糊

其他线索

▶高光

▶ 轮廓

対焦

...

Shape From X

X=阴影、纹理、遮挡、运动、...

Hangzhou Dianzi University 杭州电子科技大学

School of Computer Science and Technology 计算机学院 周文晖

in Anosania icinica nauchuri

Two is better than one?



Hangzhou Dianzi University 杭州电子科技大学

3D电影和3D显示

- •红蓝眼镜
- •偏振光眼镜



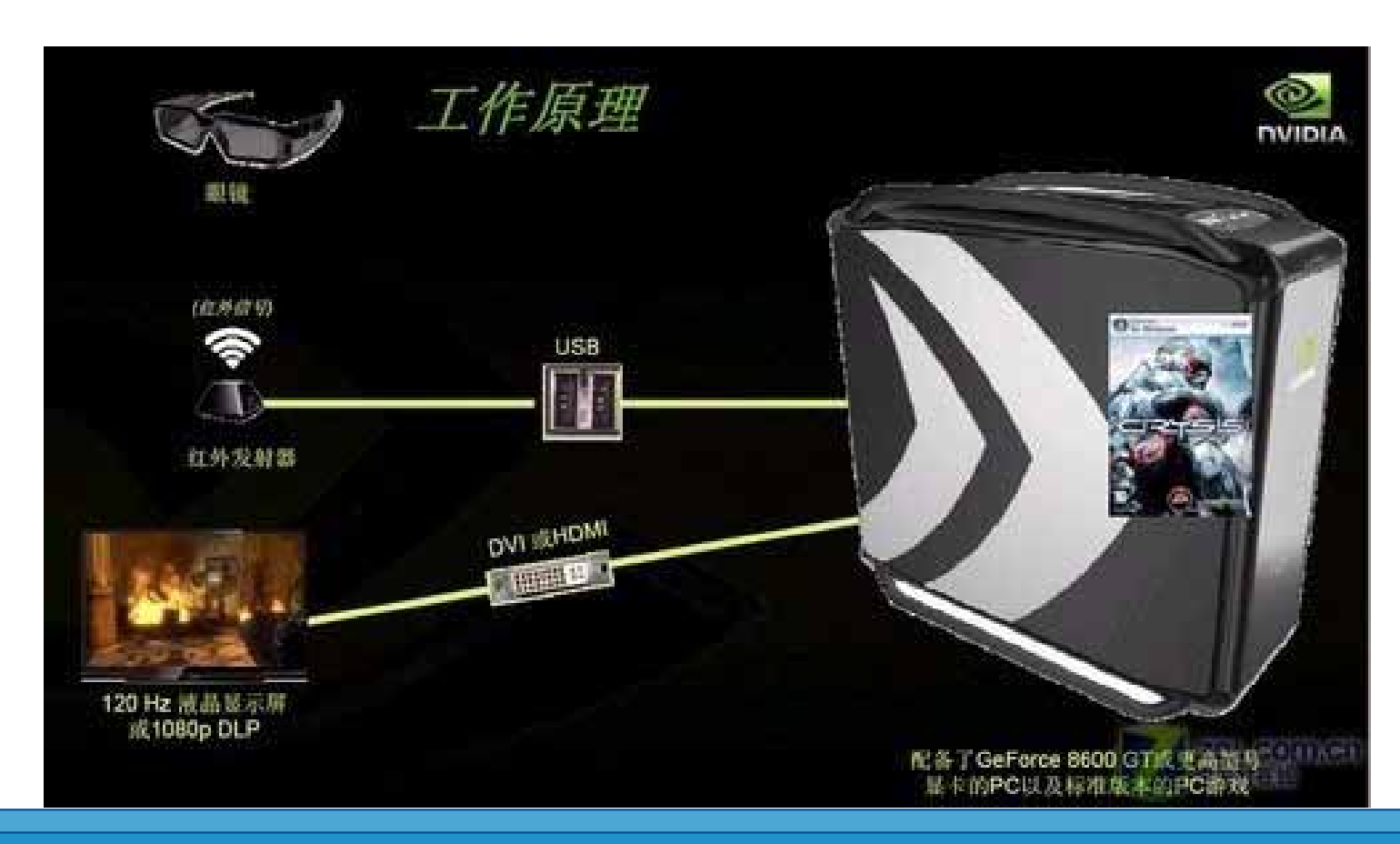


Hangzhou Dianzi University 杭州电子科技大学

School of Computer Science and Technology 计算机学院 周文晖

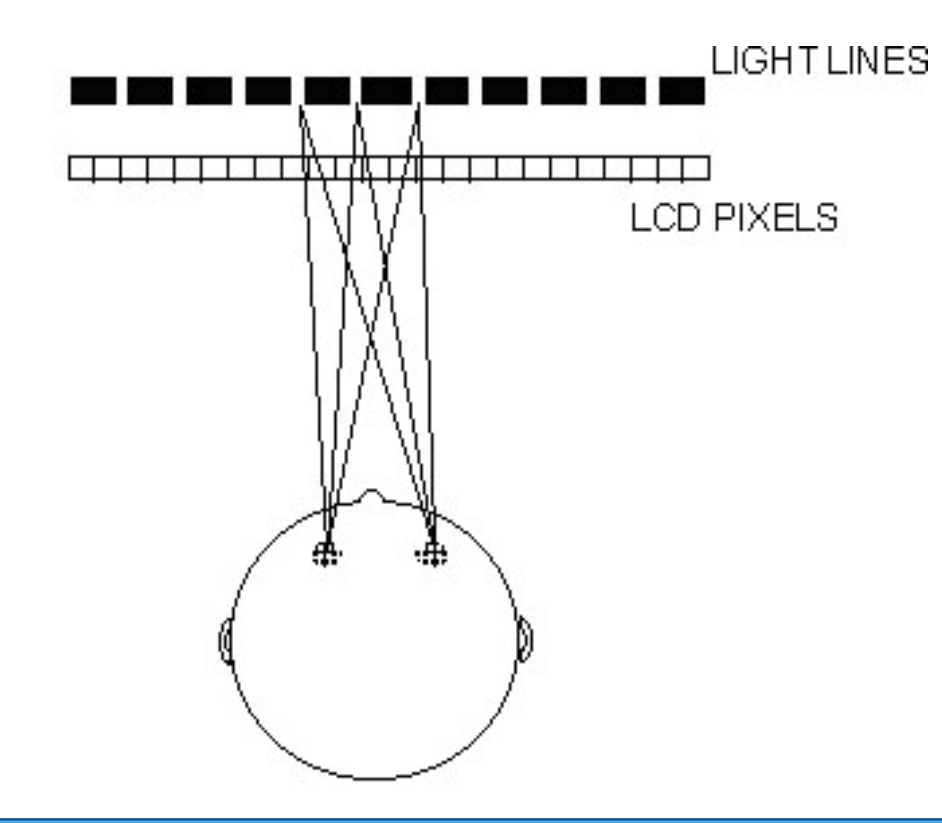
3D电影和3D显示

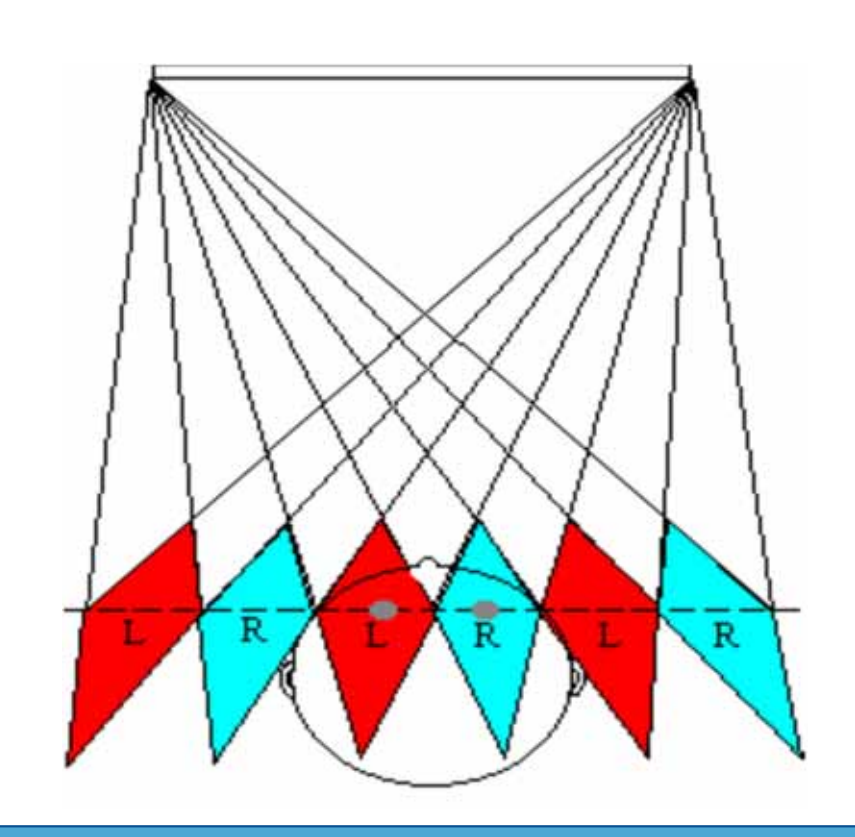
•快门眼镜



Hangzhou Dianzi University 杭州电子科技大学

裸眼立体显示系统



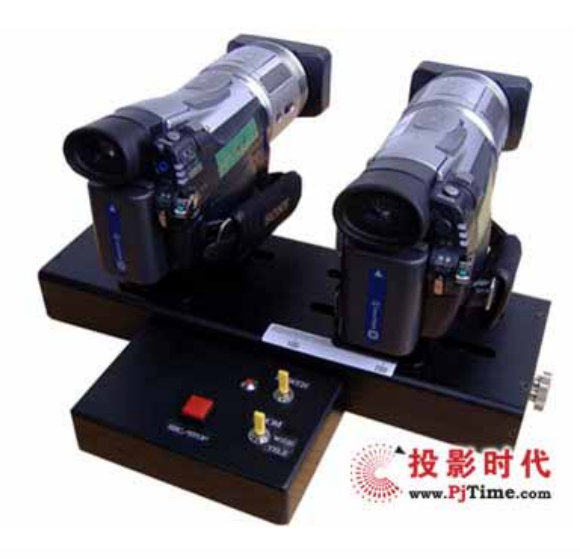


Hangzhou Dianzi University 杭州电子科技大学

School of Computer Science and Technology 计算机学院 周文晖

Mount of the street security of the sound of the street of the sound security and security

3D拍摄

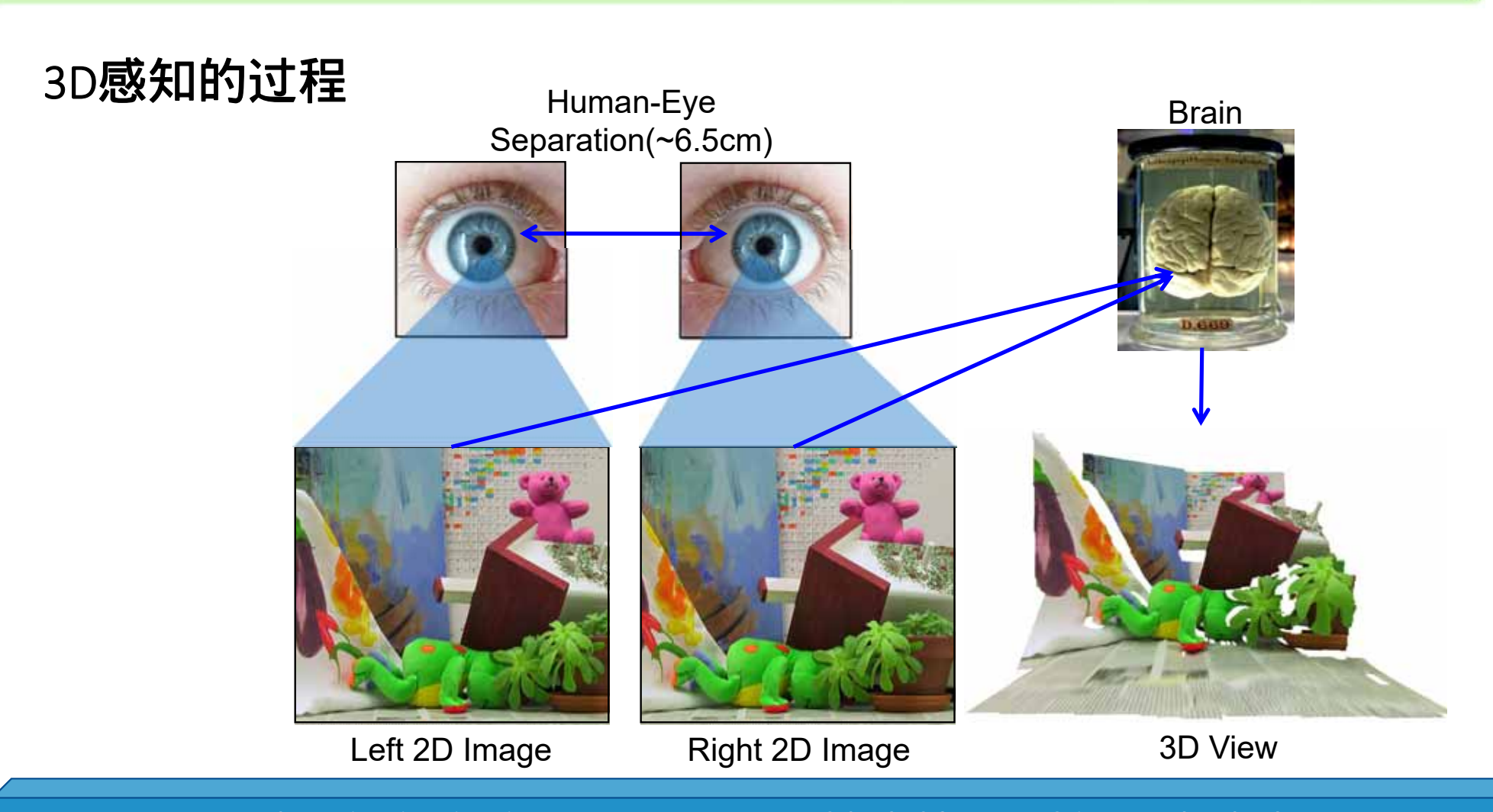






LG Optimus 3D

Hangzhou Dianzi University 杭州电子科技大学



立体图像对的显示

•http://www.well.com/user/jimg/stereo/stereo_list.html



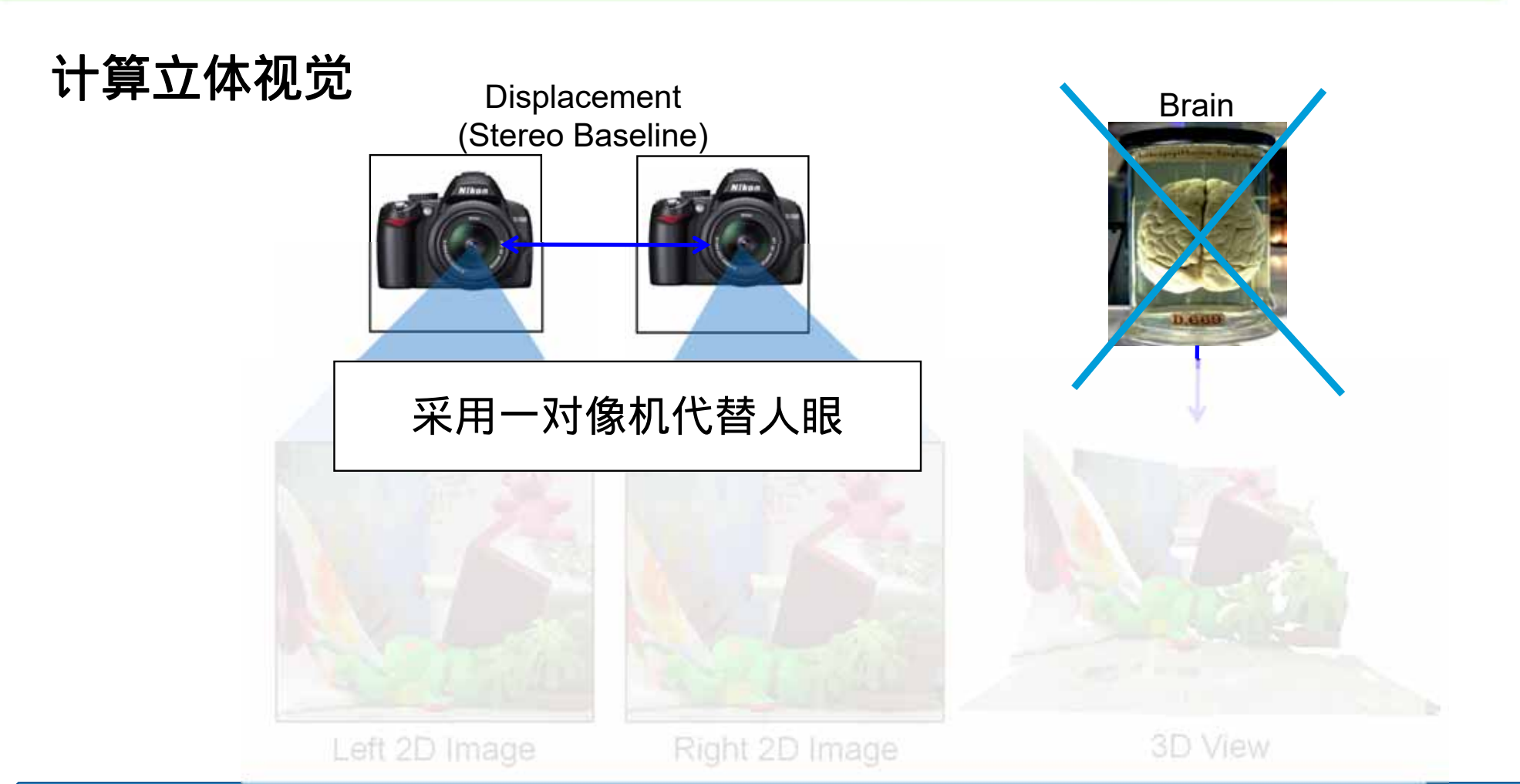
双目如何感受深度?

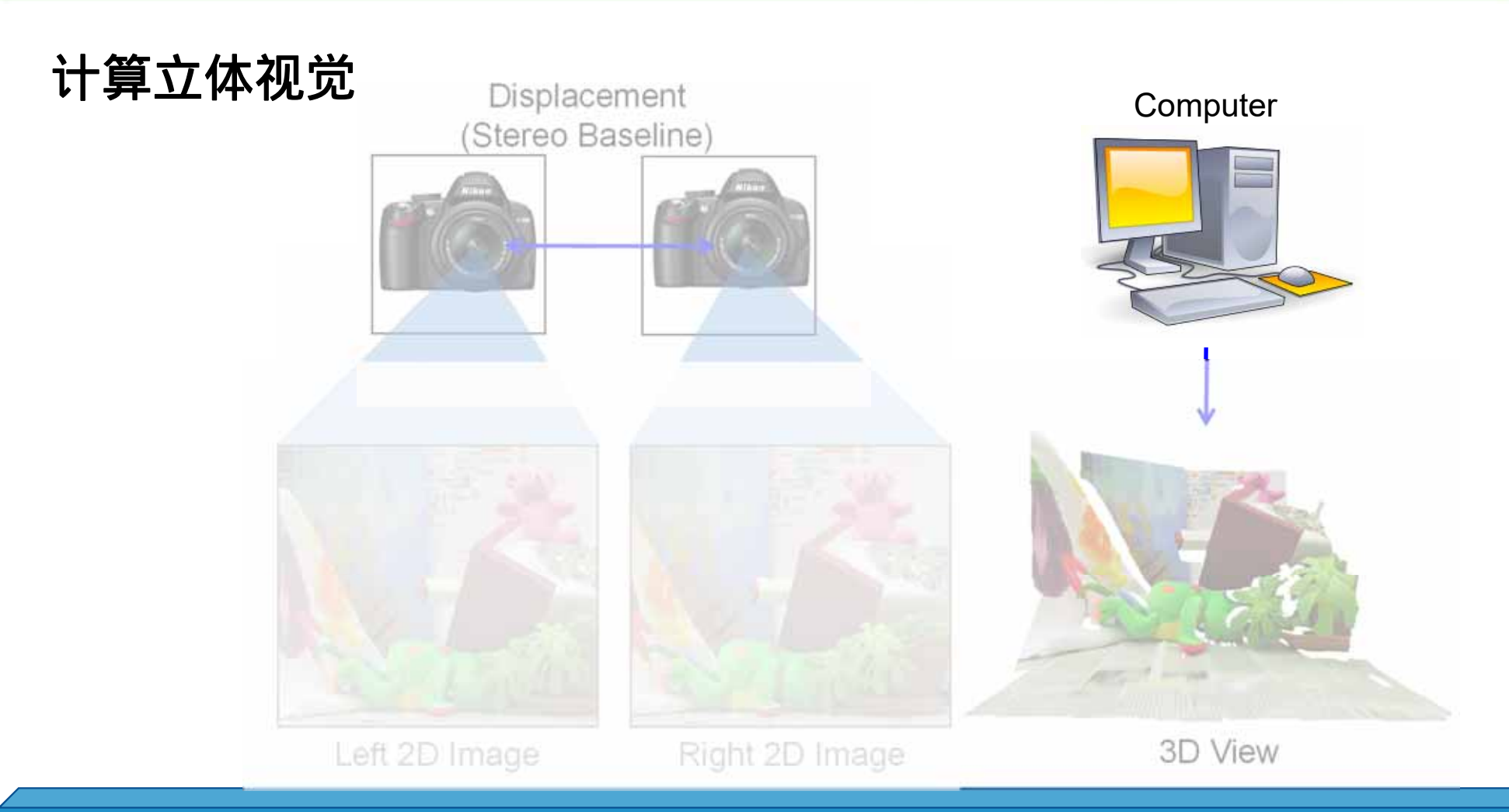


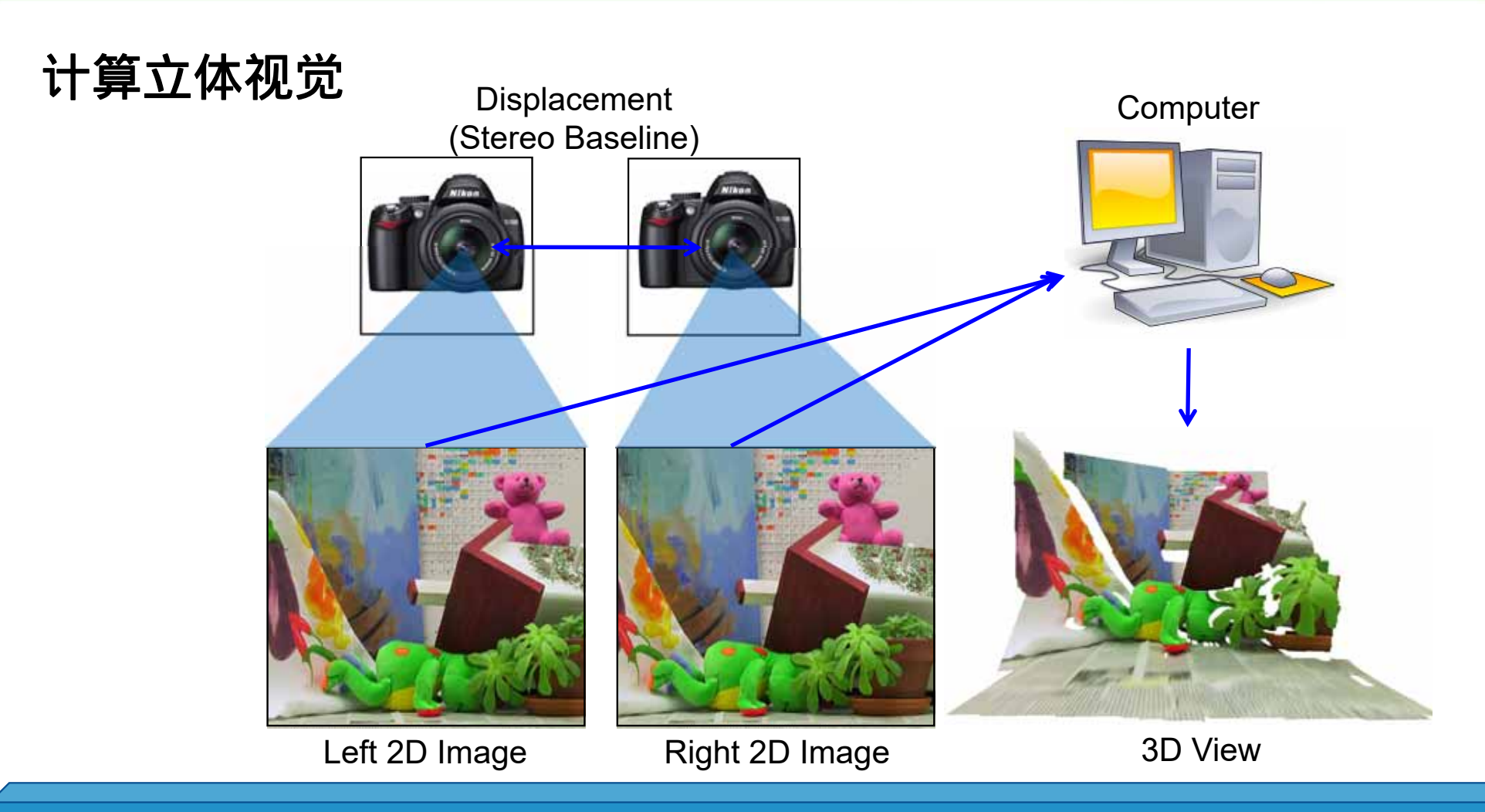
•左、右图像提供了怎样的深度线索?

计算立体视觉 Brain 采用一对像机代替人眼 Left 2D Image Right 2D Image 3D View

Hangzhou Dianzi University 杭州电子科技大学

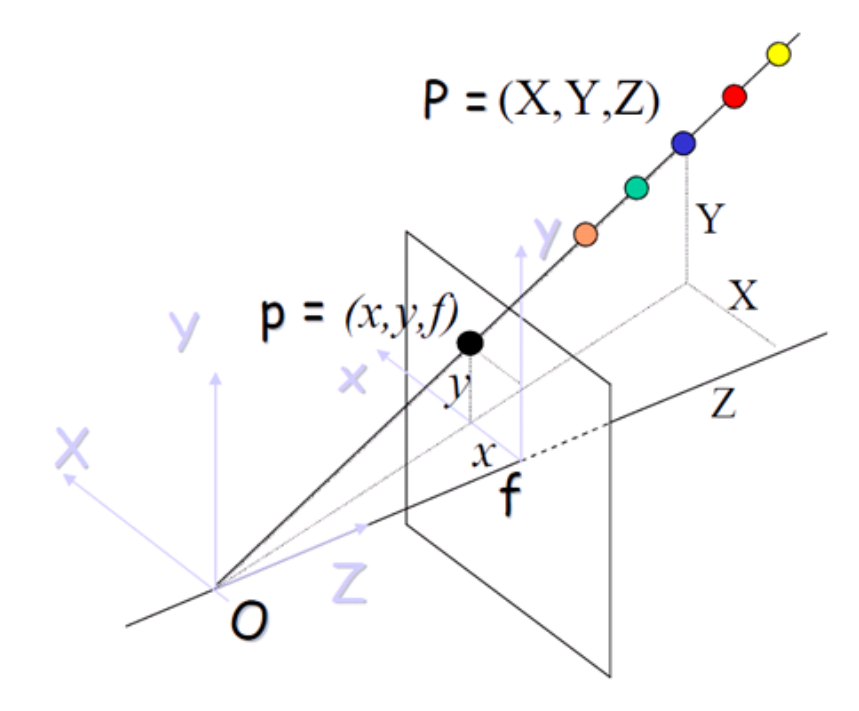








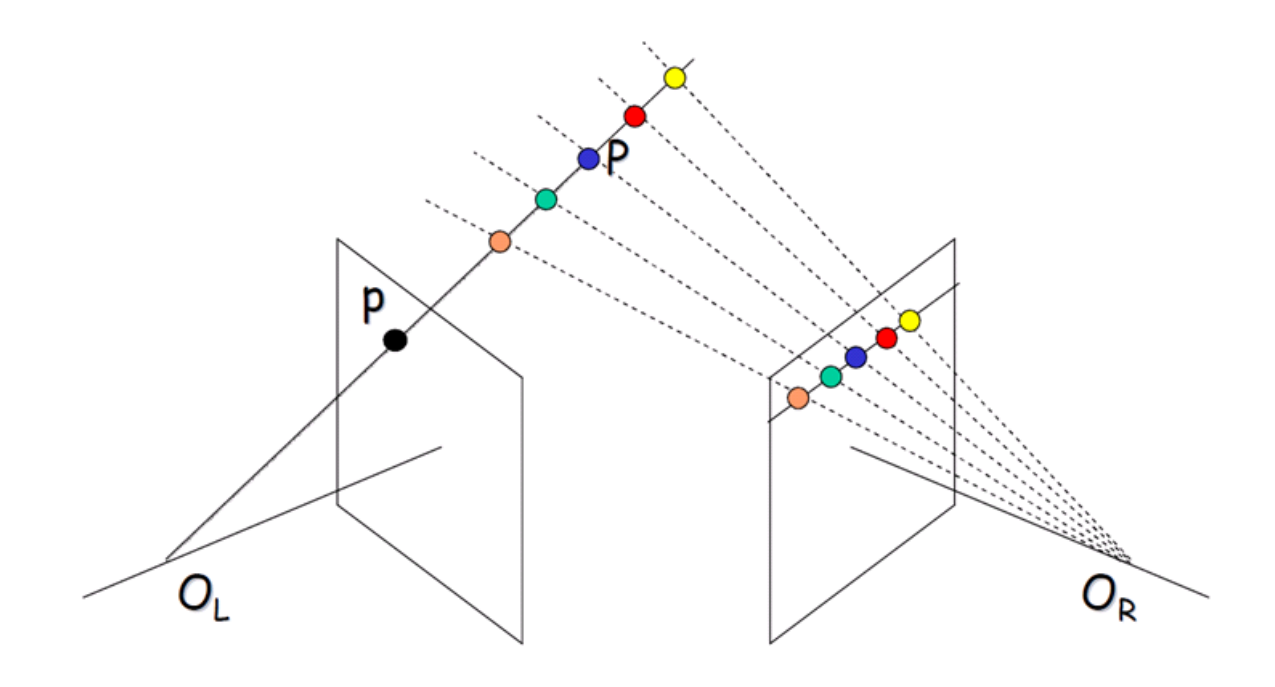
单目视觉



$$x = f \frac{X}{Z} = f \frac{kX}{kZ}$$
$$y = f \frac{Y}{Z} = f \frac{kY}{kZ}$$

- •光线OP上的任意点都投影在图像平面的p点上。
- •深度感知存在歧义

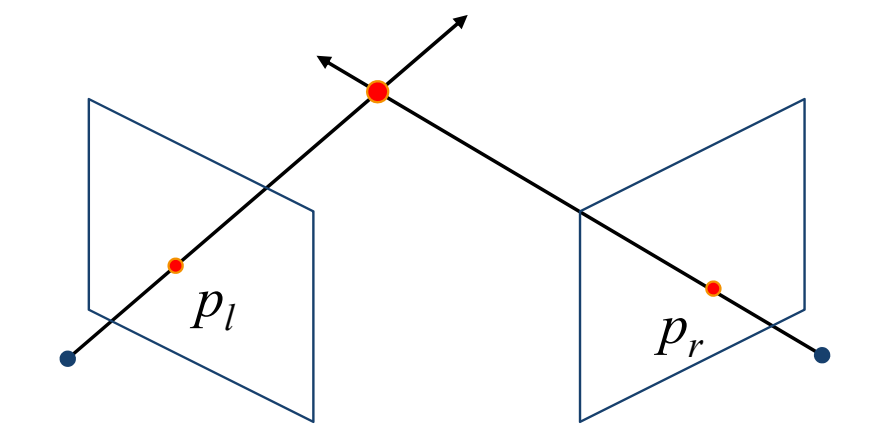
双目视觉



- •第二个像机可解决单目存在的深度歧义
- •可通过三角测量获得深度

三角测量

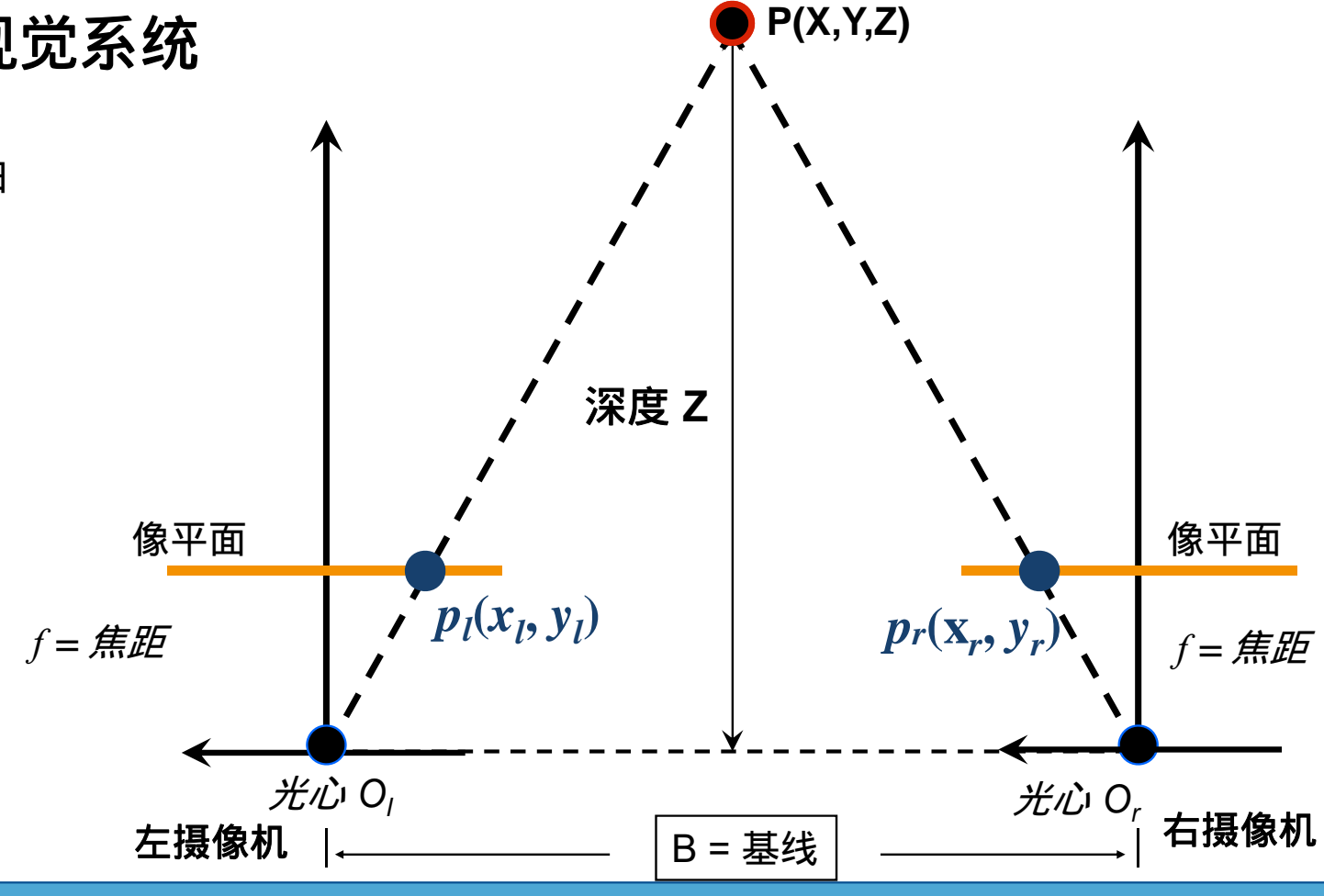
•两直线相交于一点



问题:如何根据 p_l 和 p_r 点获取深度?

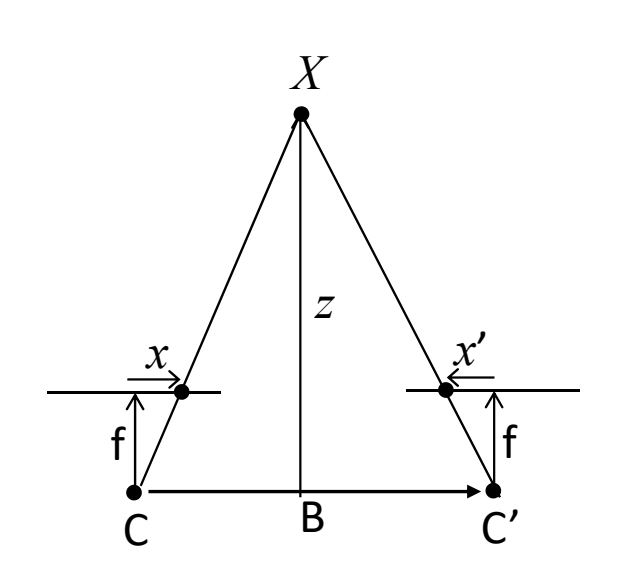
平行光轴立体视觉系统

•考虑左、右像机光轴 平行的特殊情况



Hangzhou Dianzi University 杭州电子科技大学

立体视觉基本原理



$$\frac{x - x'}{B} = \frac{f}{z}$$

$$d = x - x'$$

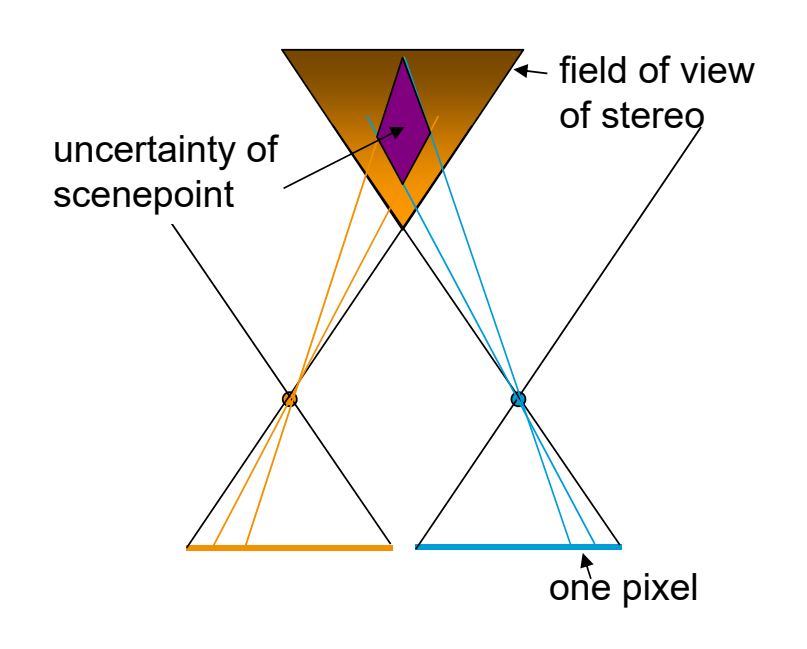
$$z = \frac{B \cdot f}{d}$$

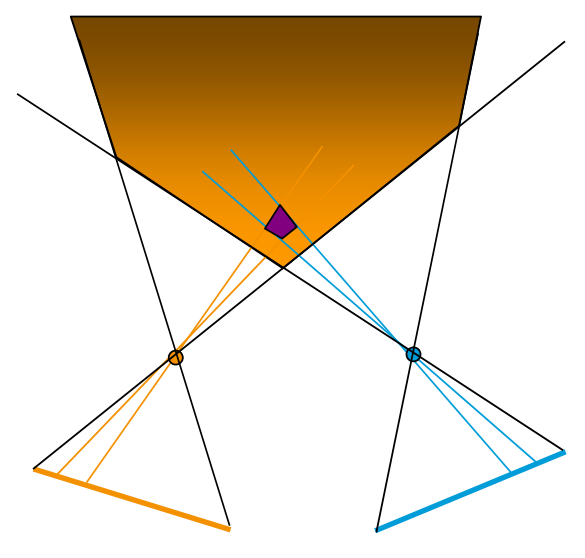
d = x - x' 称为视差

思考:该视差公式隐含了什么条件?

通常的立体视觉系统

•通常的立体视觉系统(包括人类视觉系统)都是采用会聚方式。





Optical axes of the two cameras need not be parallel

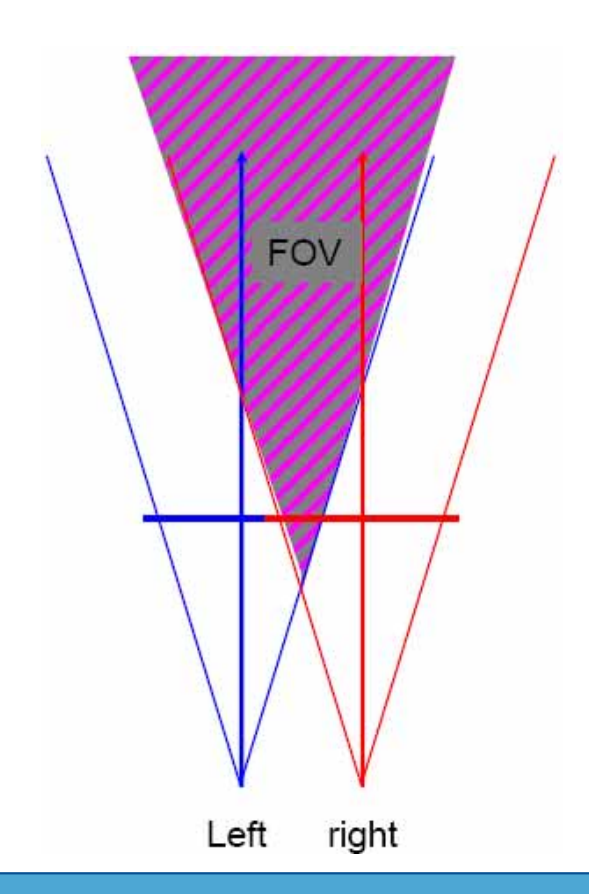
Hangzhou Dianzi University 杭州电子科技大学

School of Computer Science and Technology 计算机学院 周文晖

Chammers and compact symbols to seeme.

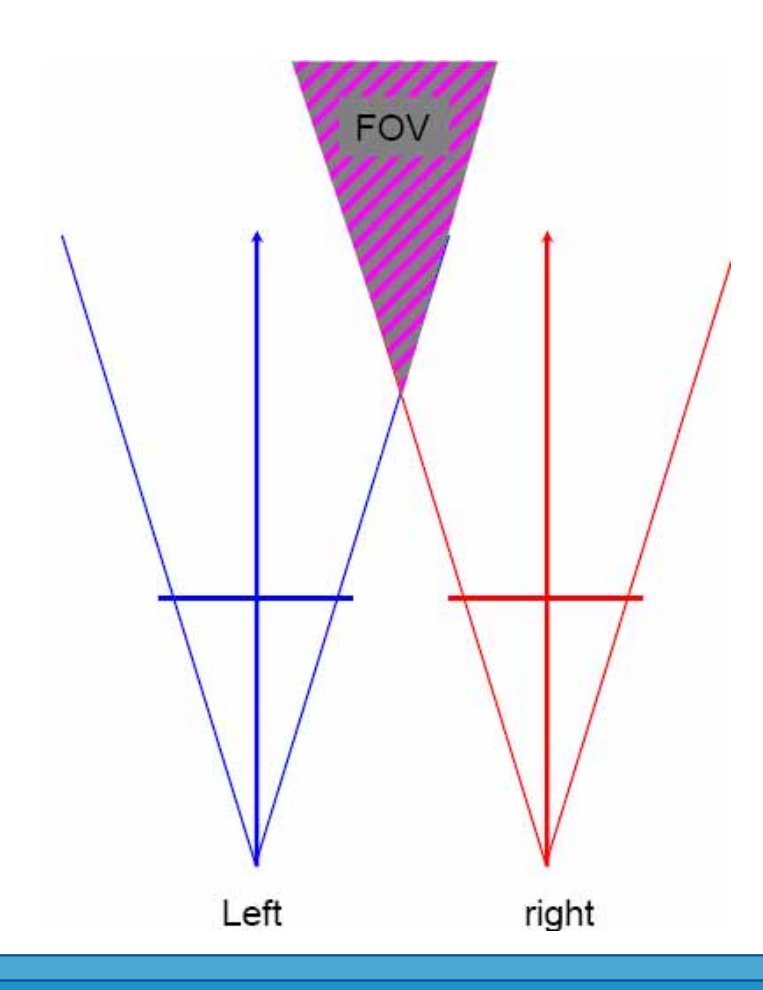
几种立体视觉系统比较

- •平行光轴立体视觉系统
 - •短基线
 - •较大的公共视野区域
 - •深度误差(不确定区域)较大



几种立体视觉系统比较

- •平行光轴立体视觉系统
 - •短基线
 - •较大的公共视野区域
 - •深度误差(不确定区域)较大
 - •长基线
 - •公共视野区域较小
 - •深度误差(不确定区域)较小

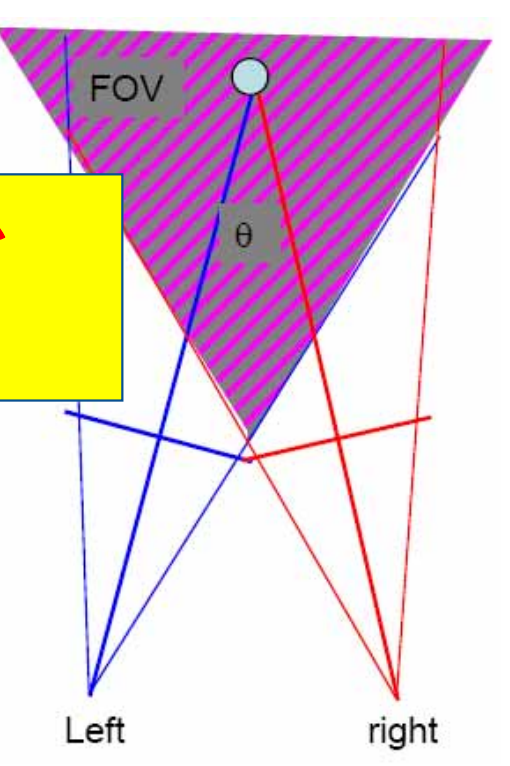


Hangzhou Dianzi University 杭州电子科技大学

几种立体视觉系统比较

- •平行光轴立体视觉系统
 - •短基线
 - •较大的公共视野区域
 - •深度误
- 1、基线或聚散度增加导致视野范围减少
- •长基线

- 2、基线或聚散度影响三维重建的精度
- ·公共视野区域较小
- •深度误差(不确定区域)较小
- •会聚光轴立体视觉系统
 - •会聚角度为8
 - •公共视野区域大



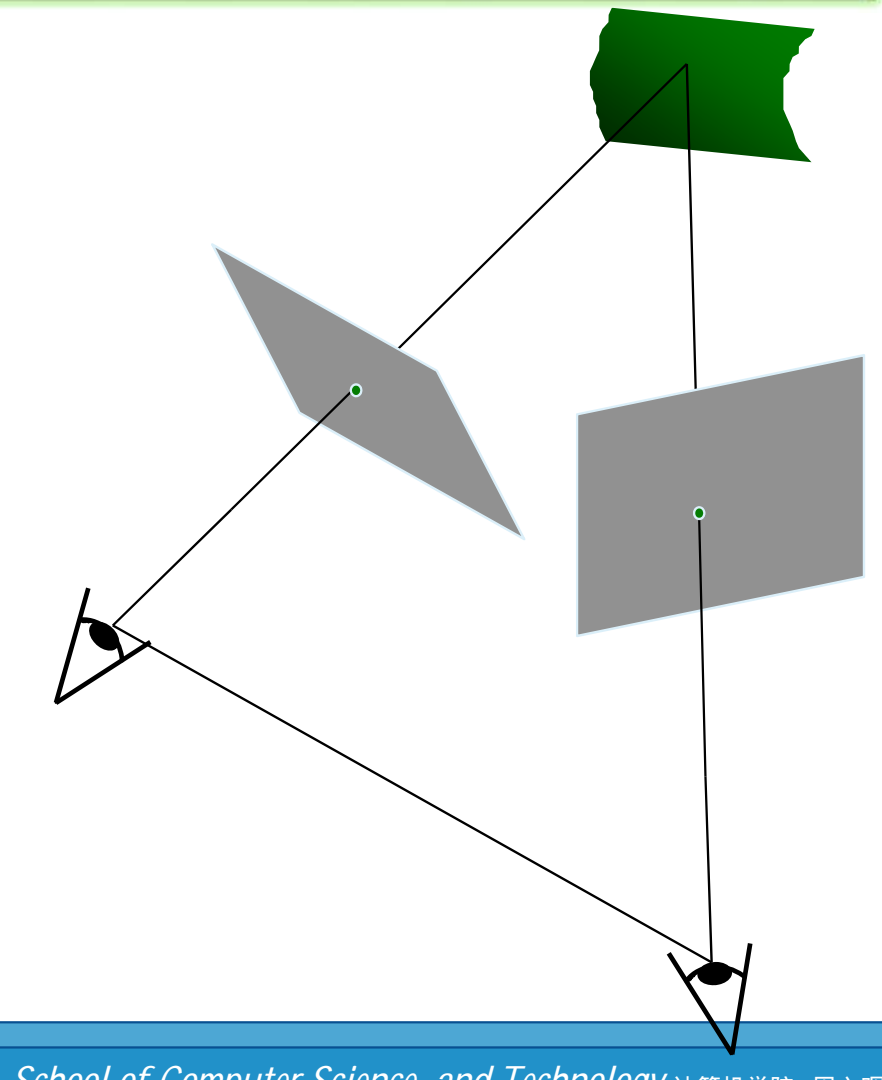
Hangzhou Dianzi University 杭州电子科技大学

会聚立体视觉系统

•会聚立体视觉系统能否利 用之前的推导结果?

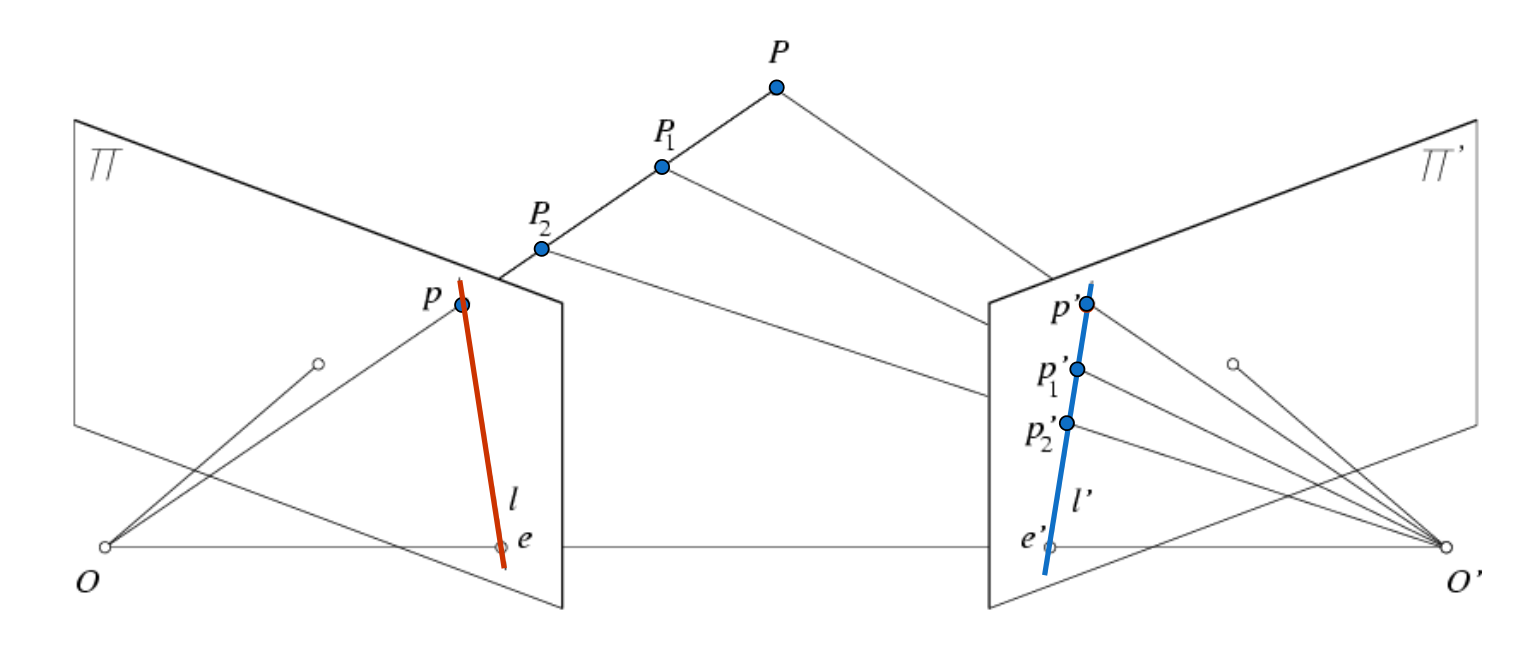
•立体视觉中重要的几何约束:

极线约束



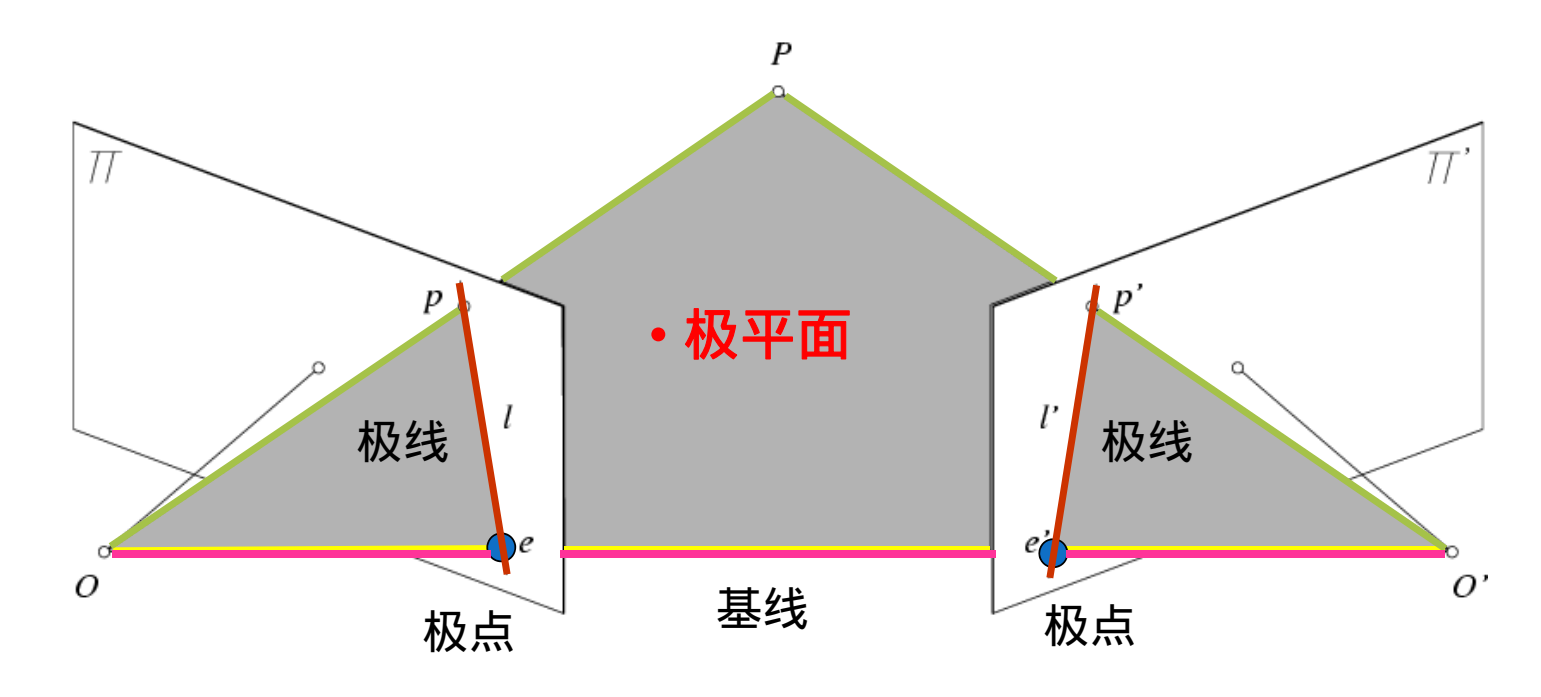
Hangzhou Dianzi University 杭州电子科技大学

极线约束



- •场景点P在视图 π 中的投影点为像素点p,则在视图 π '中的投影点p'必定满足双目几何约束:
- •必定位于图像平面 π '与OPO'平面的交线上。

极线约束



- •像素点p和p'是场景点P在两视图上的投影。
- •像素点p和p'称为对应点或匹配点。

极线约束:对应点必定在极线上!

Hangzhou Dianzi University 杭州电子科技大学

极线几何术语定义

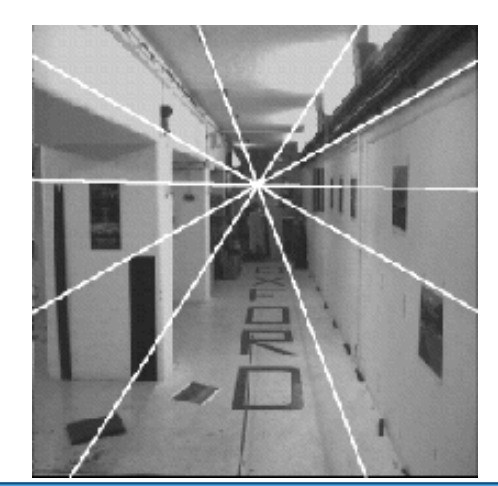
•基线(Baseline):连接像机中心的直线

•极点(Epipole):基线与图像平面的交点

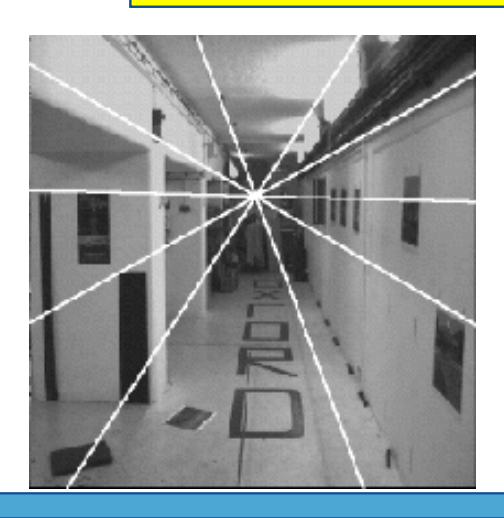
•极平面(Epipolar plane):基线和场景点组成的平面

•极线(Epipolar line):极平面与图像平面的交线

•所有的极线相交于极点

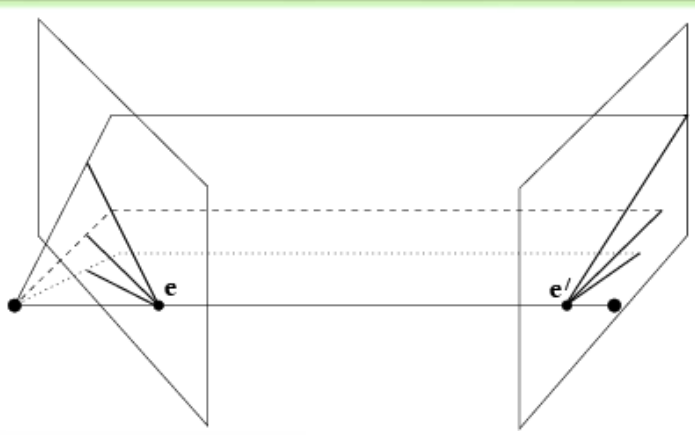


思考:极线约束的意义或用处?

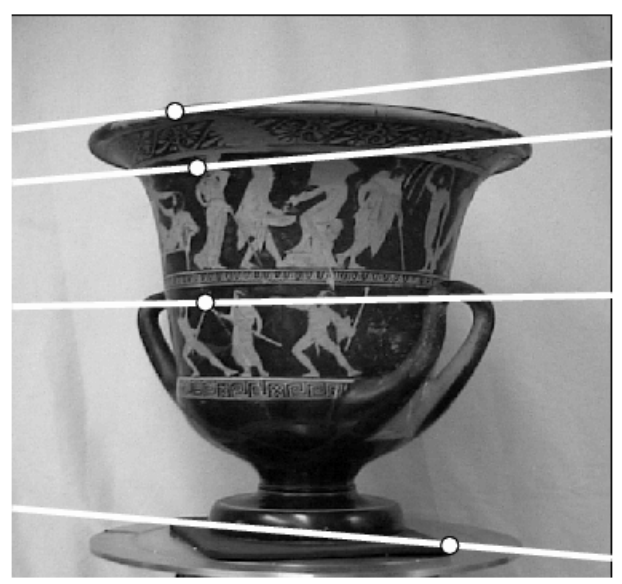


Hangzhou Dianzi University 杭州电子科技大学

极线约束例



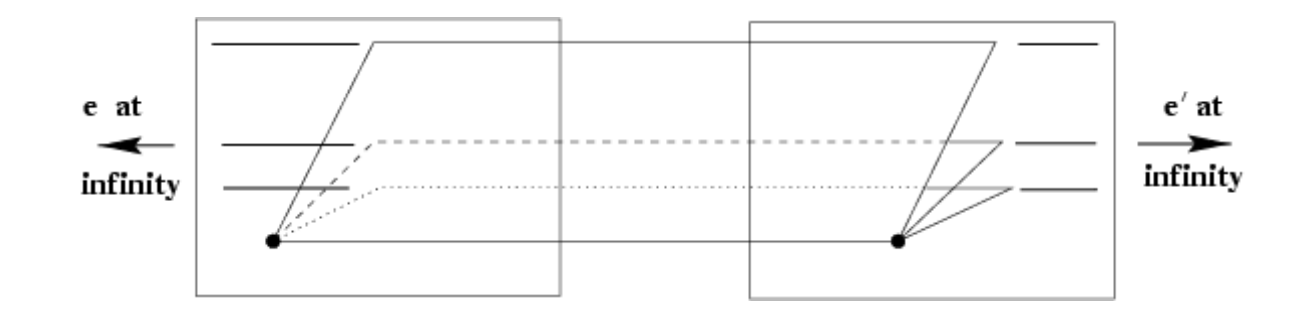




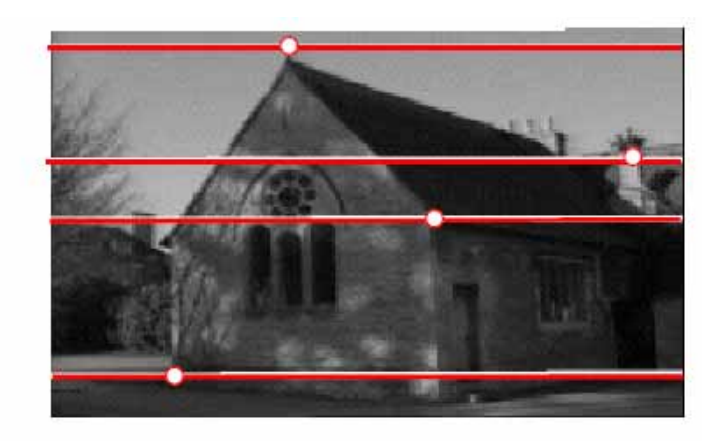
Hangzhou Dianzi University 杭州电子科技大学

School of Computer Science and Technology 计算机学院 周文晖

极线约束例

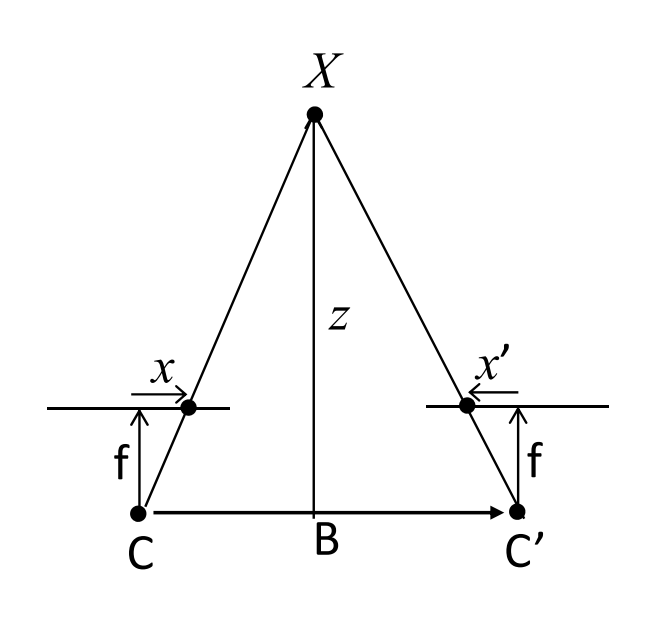






Hangzhou Dianzi University 杭州电子科技大学

平行光轴的极线约束

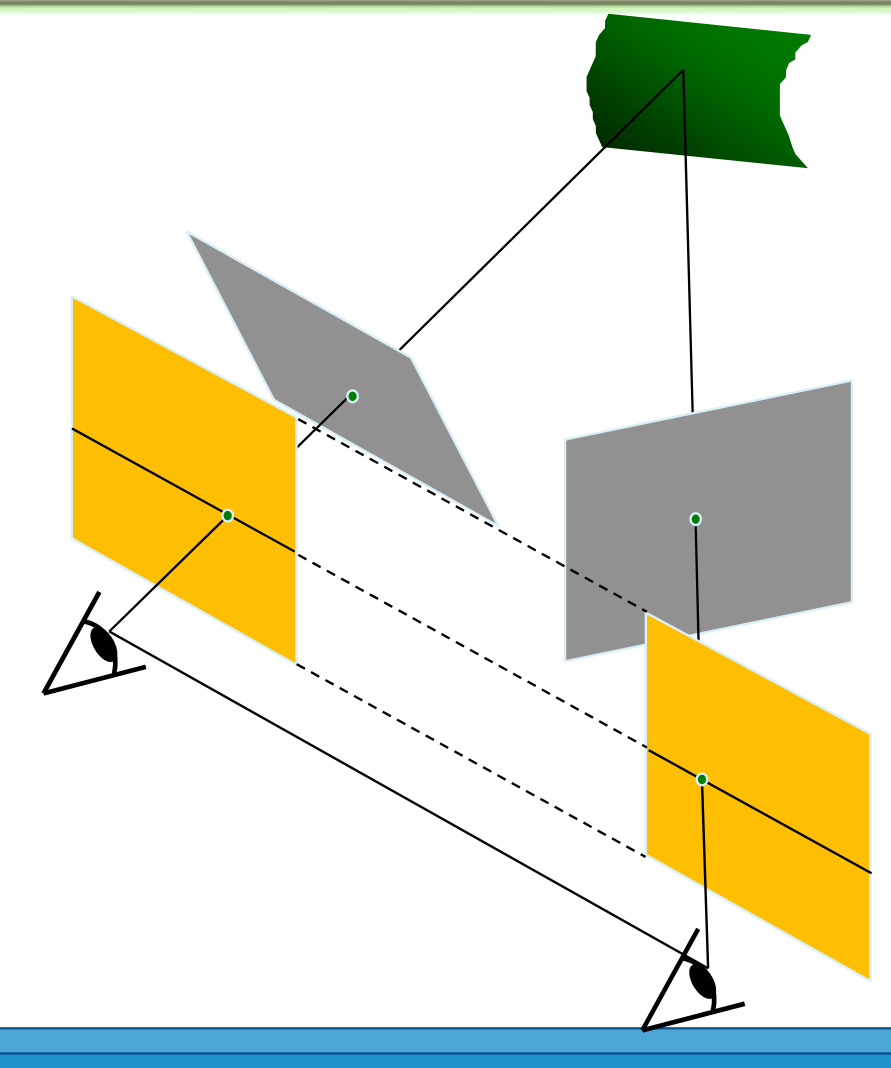


- •所有极线水平
- •极点在基线B上的无穷远处
- •左、右图对应极线在同一水平。
- •对应像素点只存在水平坐标差异,不存在垂直坐标差异。
- •即仅有水平视差,垂直视差为0。

•视差定义: *d* = *x* - *x*'

光轴会聚的立体视觉系统

- •光轴会聚的立体视觉系统能否利用平 行光轴的推导结果?
- •立体图像校正
 - •将左、右图像平面都投影到平行于基线的公共平面。
 - •变换后的对应极线处于同一水平线 (共线)。

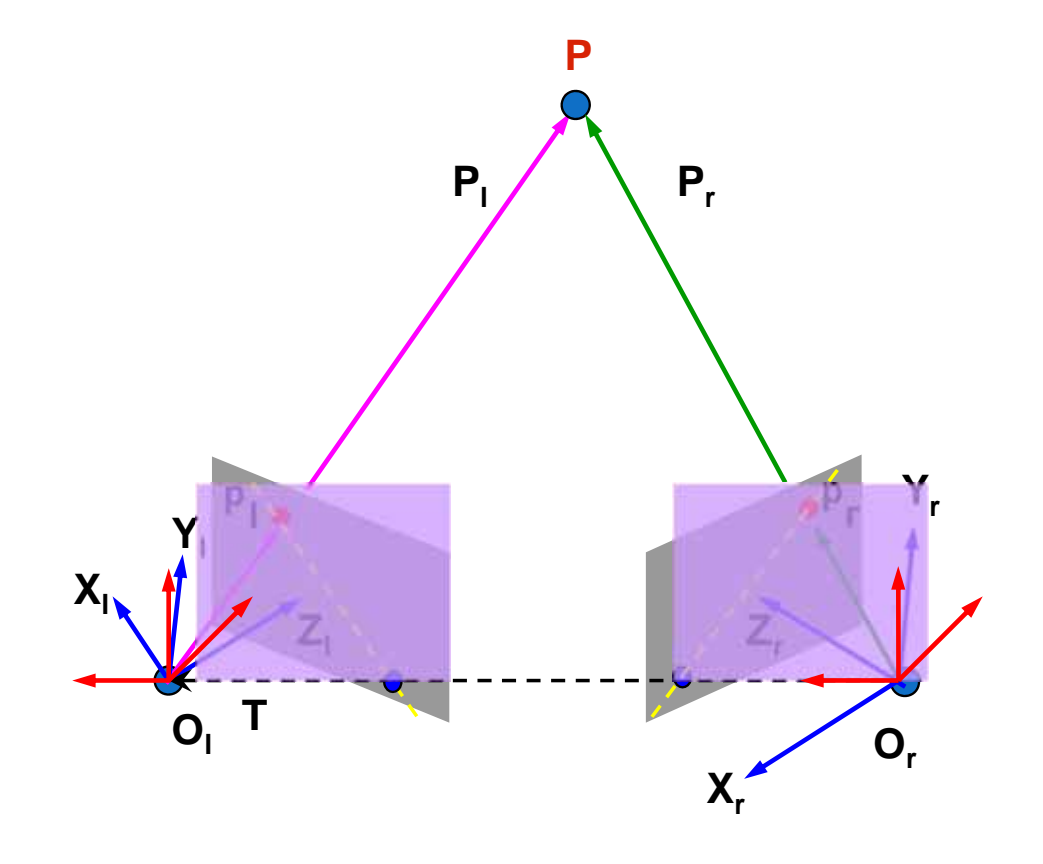


Hangzhou Dianzi University 杭州电子科技大学



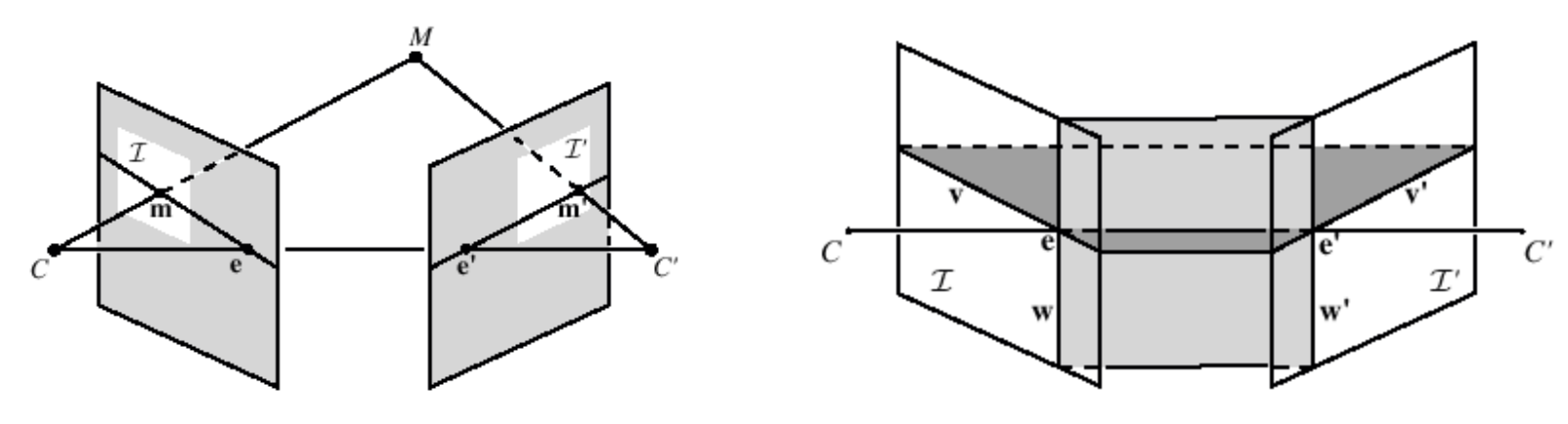
立体图像校正的目的

- •校正的目的:
 - •输入图像通过透视变换使得外极线水平,且共线。
 - •畸变校正,使得成像过程符合小孔成像模型。



立体图像校正步骤

- •校正步骤:
 - •将左右图像平面都投影到平行于基线的公共平面。
 - •图像行像素重采样。
 - •最小化图像畸变。



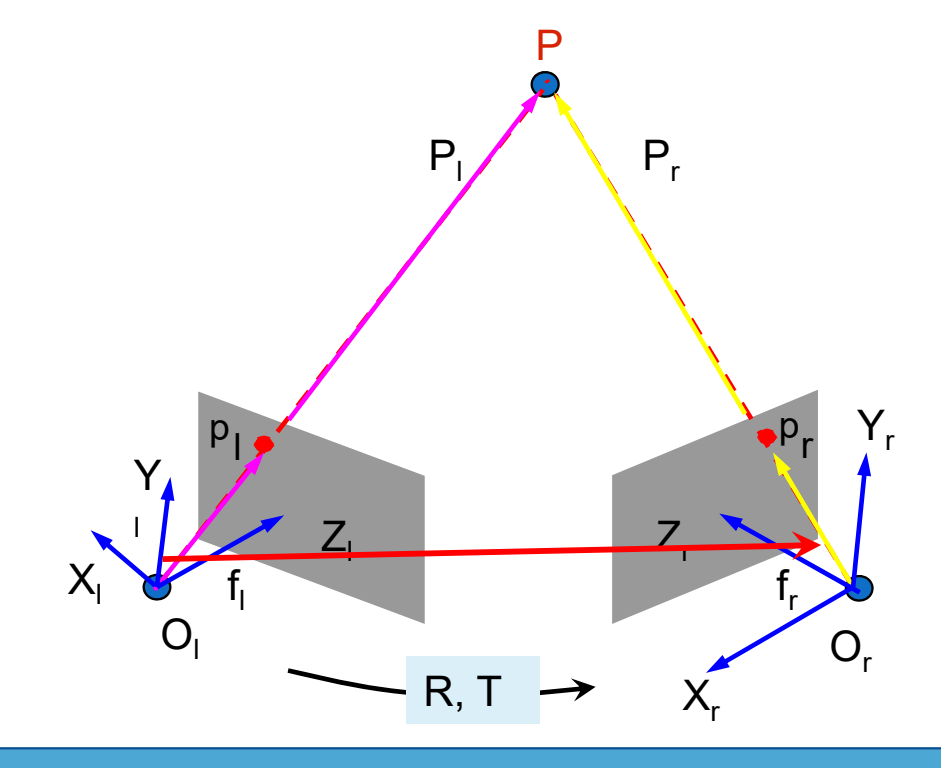
[Zhang and Loop, MSR-TR-99-21]

Hangzhou Dianzi University 杭州电子科技大学

•立体视觉系统的参数

(由双目像机标定获得)

- •内部参数
 - •对于每个像机,其图像坐标系与像机坐标系间的关系。
 - •焦距、光心、畸变系数
- •外部参数
 - •两像机间的相对位置和方向。
 - •旋转矩阵R和平移矢量T



Hangzhou Dianzi University 杭州电子科技大学

符号定义:

•场景点P在左、右像机坐标系下的坐标为:

$$\mathbf{P}_{l} = (X_{l}, Y_{l}, Z_{l}), \mathbf{P}_{r} = (X_{r}, Y_{r}, Z_{r})_{o}$$

- •外部参数
 - •平移矢量 T=(O_r O_l)

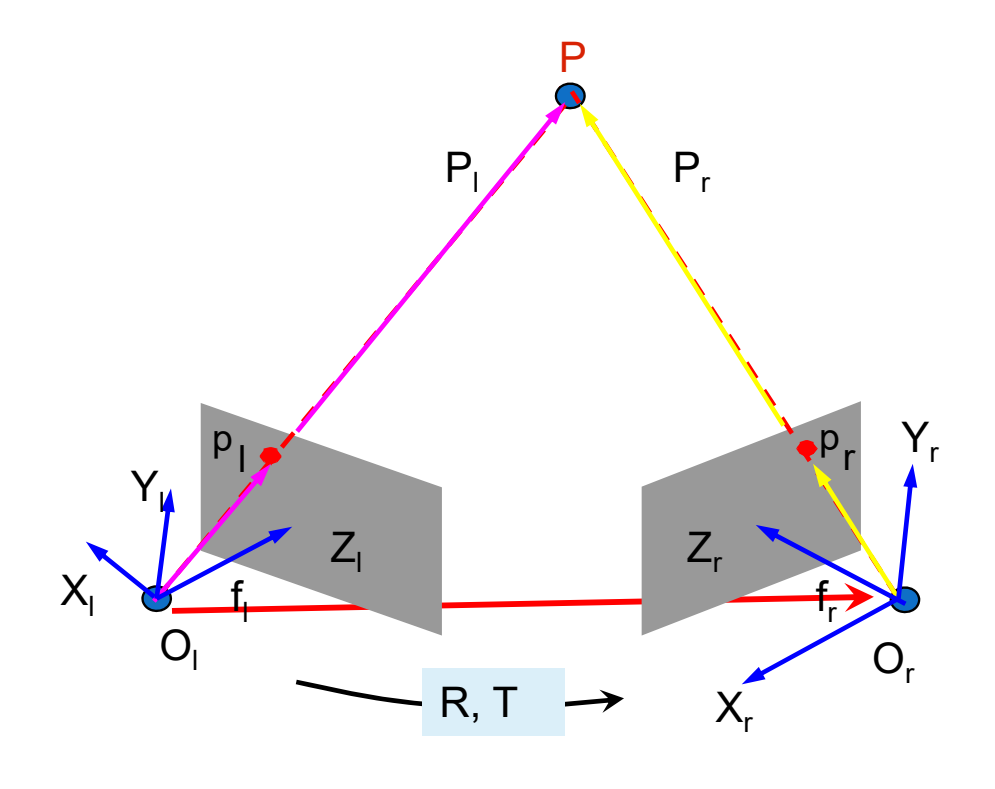
$$P_r = R(P_I - T)$$

- •旋转矩阵 R
- •场景点P在左右图像平面上投影:

$$\mathbf{p}_{l} = (x_{l}, y_{l}, z_{l}), \mathbf{p}_{r} = (x_{r}, y_{r}, x_{r})_{\circ}$$

•对于所有的像素点有 $z_l = f_l; z_r = f_r$

$$\begin{cases} \mathbf{p}_l = \frac{f_l}{Z_l} \mathbf{P}_l \\ \mathbf{p}_r = \frac{f_r}{Z_r} \mathbf{P}_l \end{cases}$$



Hangzhou Dianzi University 杭州电子科技大学

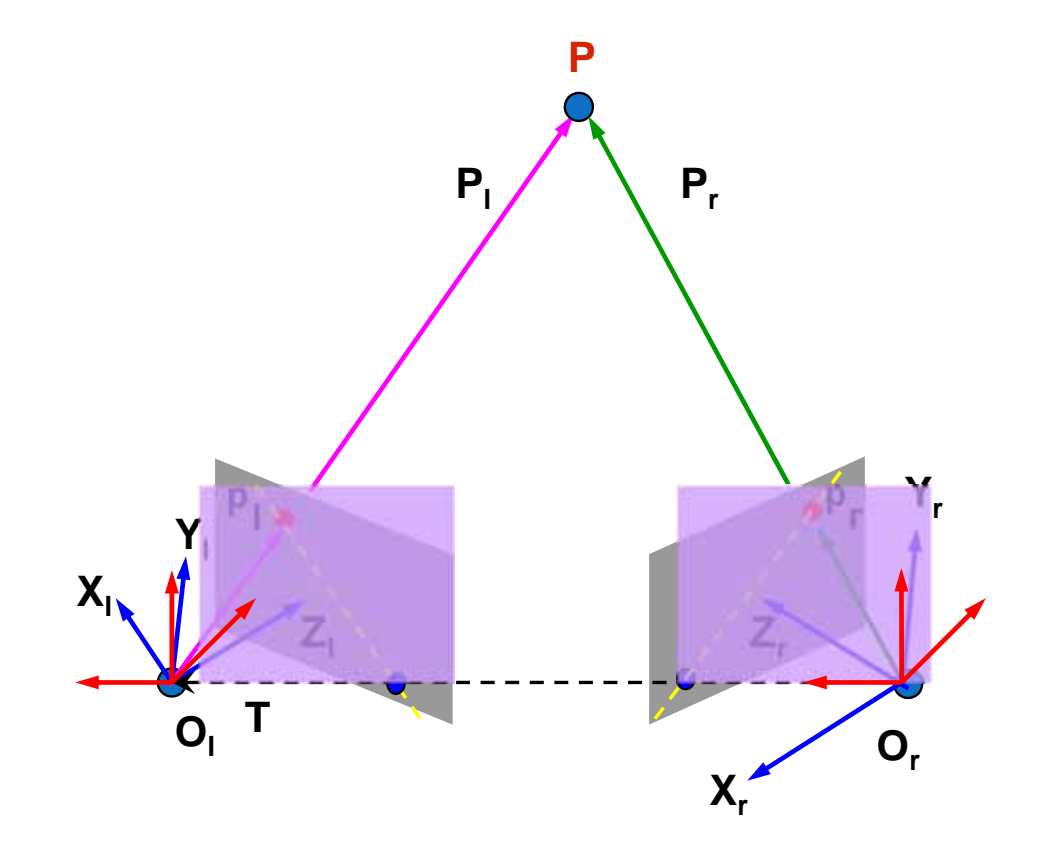
- •同时旋转左右像机使得它们具有相 同的x轴。
- •定义左像机的旋转矩阵为 \mathbf{R}_{rect} 。
- •右像机旋转矩阵为 $\mathbf{R}_{rect}\mathbf{R}'$



•立体图像校正后

$$\mathbf{T}' = (B, 0, 0)$$

$$\mathbf{P}_r' = \mathbf{P}_l' - \mathbf{T}'$$



•由立体图像标定有 , $\mathbf{P}_r = \mathbf{R}(\mathbf{P}_l - \mathbf{T})$

•立体图像校正后,有
$$\begin{cases} \mathbf{P}_l' = \mathbf{R}_l \mathbf{P}_l \\ \mathbf{P}_r' = \mathbf{R}_r \mathbf{P}_r \end{cases} \Rightarrow \begin{cases} \mathbf{P}_l = \mathbf{R}_l^{-1} \mathbf{P}_l' \\ \mathbf{P}_r = \mathbf{R}_r^{-1} \mathbf{P}_r' \end{cases}$$

•校正目标:
$$\mathbf{T'} = (B,0,0)$$

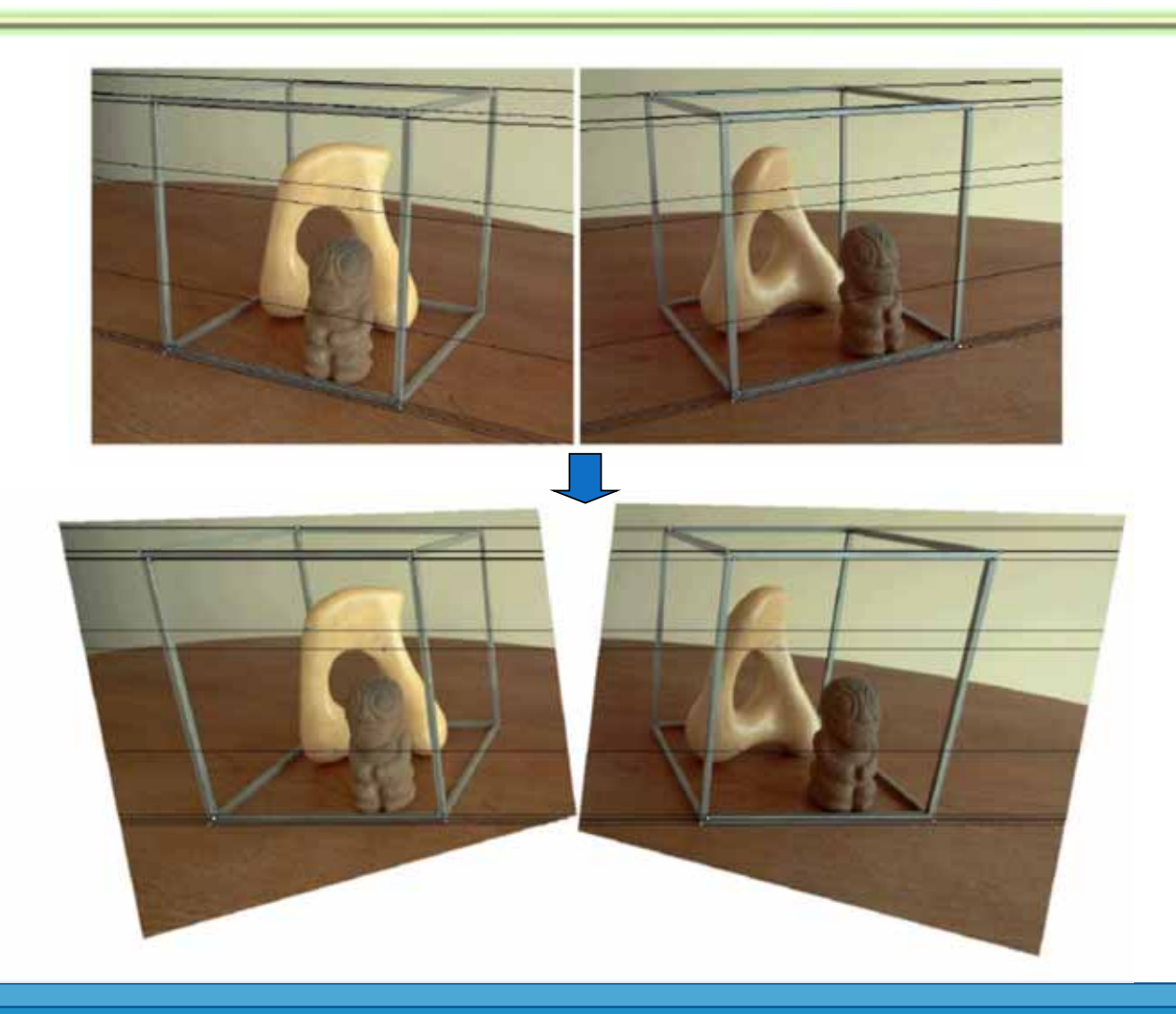
$$\mathbf{P'}_r = \mathbf{P'}_l - \mathbf{T'}$$

•即:
$$\mathbf{R}_r^{-1}\mathbf{P}_r' = \mathbf{R}\left(\mathbf{R}_l^{-1}\mathbf{P}_l' - \mathbf{T}\right) \Rightarrow \mathbf{P}_r' = \mathbf{R}_r\mathbf{R}\mathbf{R}_l^{-1}\mathbf{P}' - \mathbf{R}_r\mathbf{R}\mathbf{T}$$

•可得
$$\mathbf{R}_{r}\mathbf{R}\mathbf{R}_{l}^{-1}=\mathbf{I}\Rightarrow\mathbf{R}_{r}=\mathbf{R}_{l}\mathbf{R}^{-1}$$

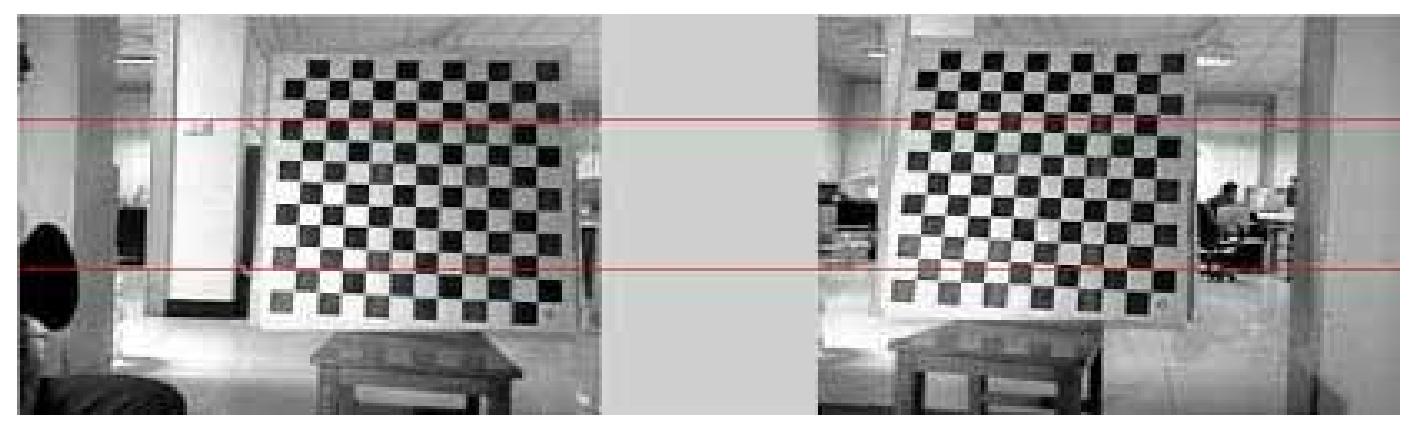
•由于R为正交矩阵,有 $\mathbf{R}_r = \mathbf{R}_l \mathbf{R}'$

立体图像校正实例

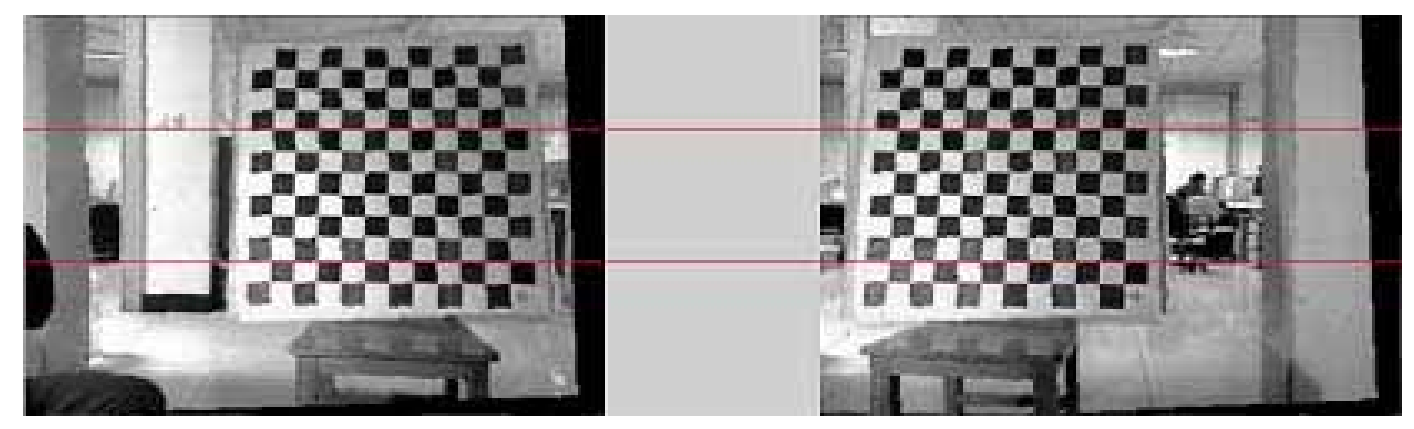


Hangzhou Dianzi University 杭州电子科技大学

立体图像校正实例



Stereo pairs before rectification



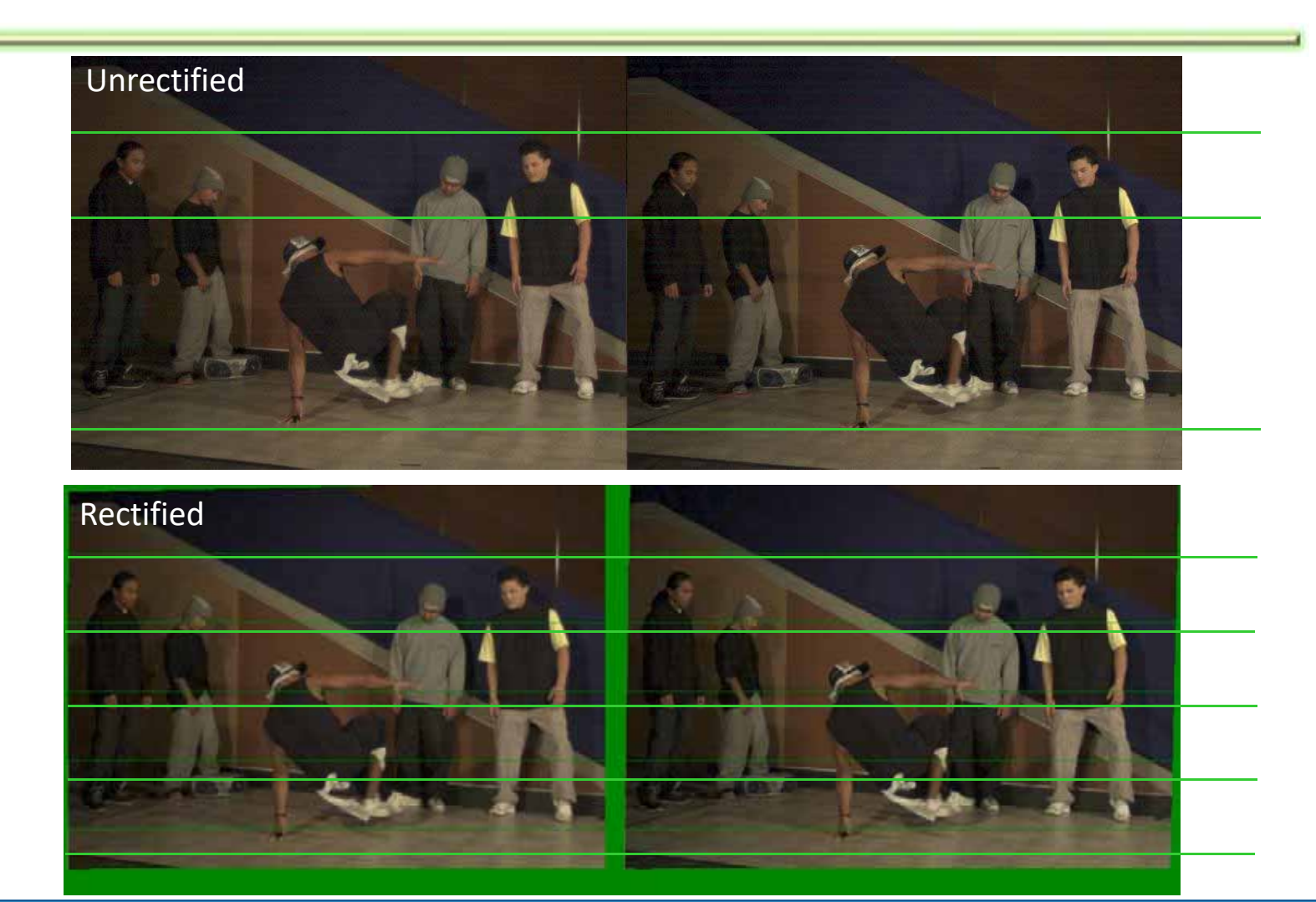
Stereo pairs after rectification

Hangzhou Dianzi University 杭州电子科技大学

School of Computer Science and Technology 计算机学院 周文晖

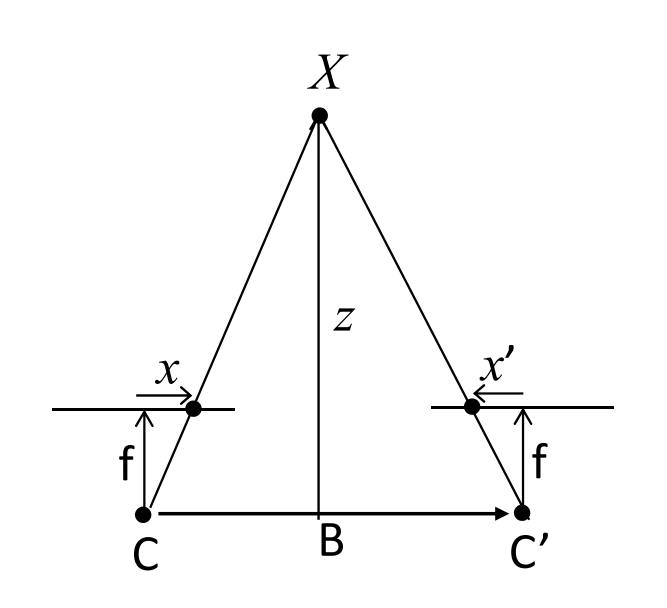
uillounis asimuot entervità itami LIIII a compani oli combinate comune dan recinini

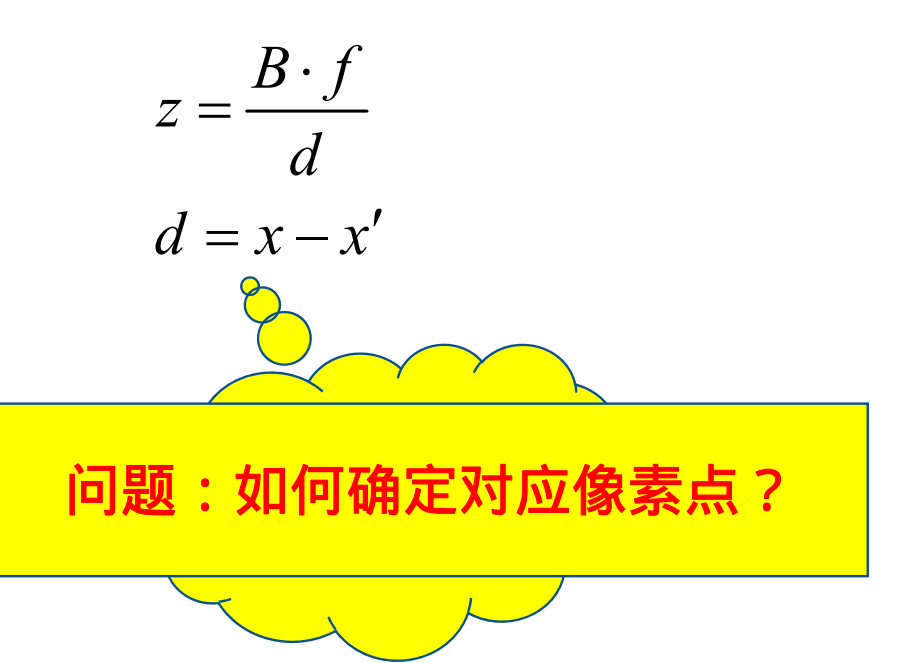
立体 图像 校实



Hangzhou Dianzi University 杭州电子科技大学

•平行光轴的双目立体视觉







•立体匹配的过程:为左图像的每个像素点 (x_l,y_l) ,在右图像中搜索对应点。



Hangzhou Dianzi University 杭州电子科技大学

- •极线约束的意义:
 - •将对应点搜索由原来的二维平面上搜索变为在极线上的一维搜索。
- •对于校正后的立体图像:
 - •在图像水平方向搜索

▶ 比较右图对应极线上的每个像素,寻找最相似的像素作为对应点。即在右图同一水平方向上的视差范围内搜索。





Hangzhou Dianzi University 杭州电子科技大学

立体匹配的基元

- •匹配基元:参与立体匹配,计算相似测度的基本单元
- •常用的匹配基元:
 - •像素
 - •单个像素存在相似性歧义
 - •需结合一行或整幅图像的所有像素同时完成匹配
 - •局部窗口区域
 - •具有较好的局部独特性
 - •隐含假定:窗口内所有像素应能表征中心像素
 - •特征
 - •具有较好的独特性
 - •稀疏且不均匀分布

立体匹配分类

- •根据立体匹配过程中涉及的像素范围,可分为:
 - •局部立体匹配
 - •通常以基于局部窗口的立体匹配方法为主。
 - •匹配基元:局部窗口
 - •全局立体匹配
 - •匹配过程中,求解一行或整幅图像中所有像素的相似测度和最大/最小。
 - •匹配基元:像素

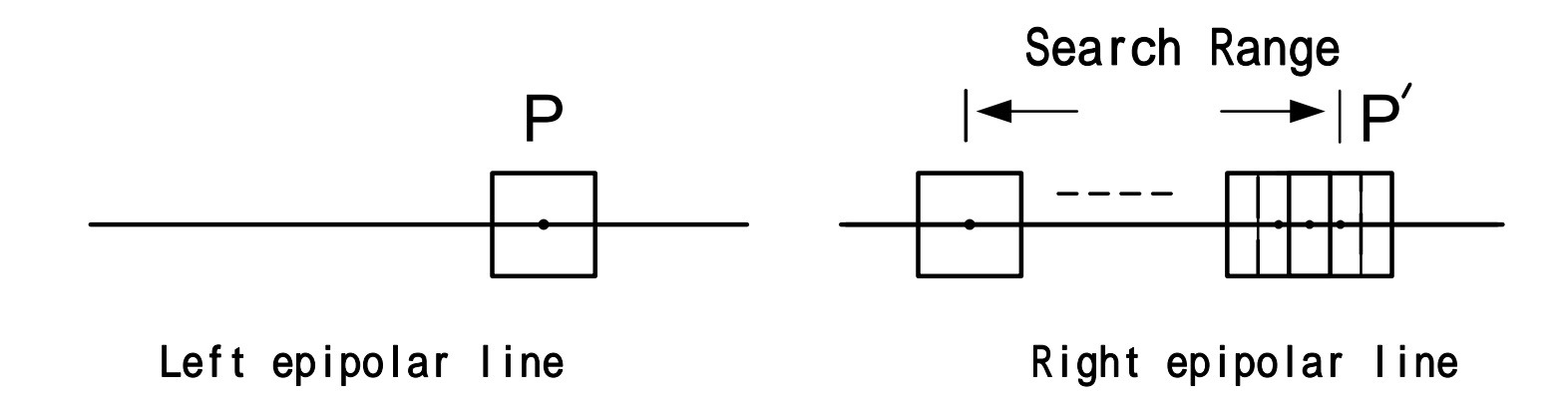
立体匹配分类

- •根据立体匹配过程中采用的匹配基元,可分为:
 - •致密匹配
 - •搜索每个像素的对应点,构建致密视差图
 - •匹配基元为像素
 - •稀疏匹配
 - •仅为特征搜索对应点,构建稀疏的视差图.
 - •匹配基元为特征。



基于局部窗口的对应性搜索

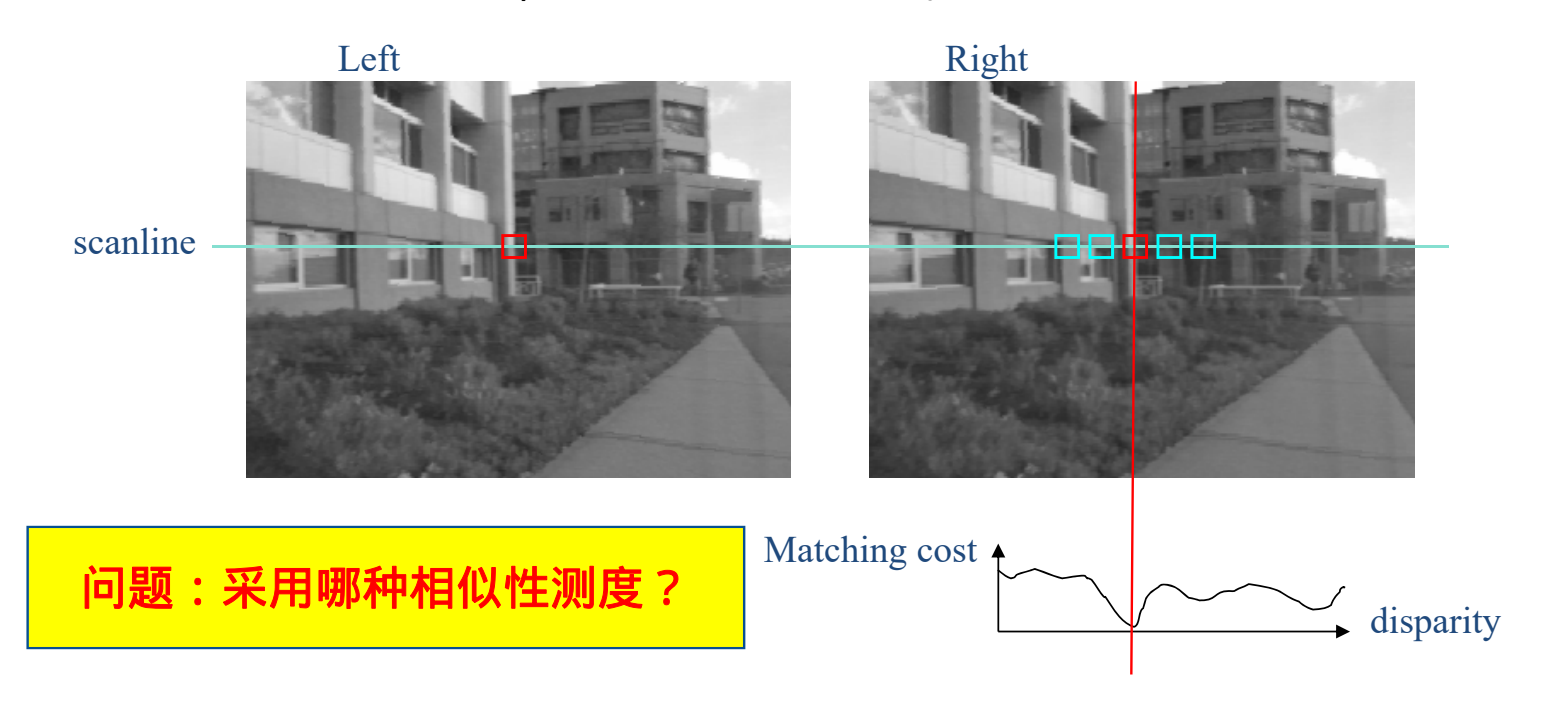
- •以基准图的待匹配点为中心创建一个窗口,以在对准图中对应外极线上某一像素点为中心创建同样大小的滑动窗口,窗口内相邻像素的亮度值分布来表征中心像素。
- •比较对准图中每个滑动窗口内容与基准图参考窗口内容的相似程度。



Hangzhou Dianzi University 杭州电子科技大学

基于局部窗口的对应性搜索

对于已校正的双目立体图像对,则在扫描线上搜索。



Hangzhou Dianzi University 杭州电子科技大学

相似性测度

•常用的相似性测度包括:

•距离测度:L1距离、L2距离、...

•相关系数:NCC、ZNCC

•非参数化测度:RANK、Census

距离测度

•像素亮度差的绝对值和(Sum of Absolute Differences, SAD):

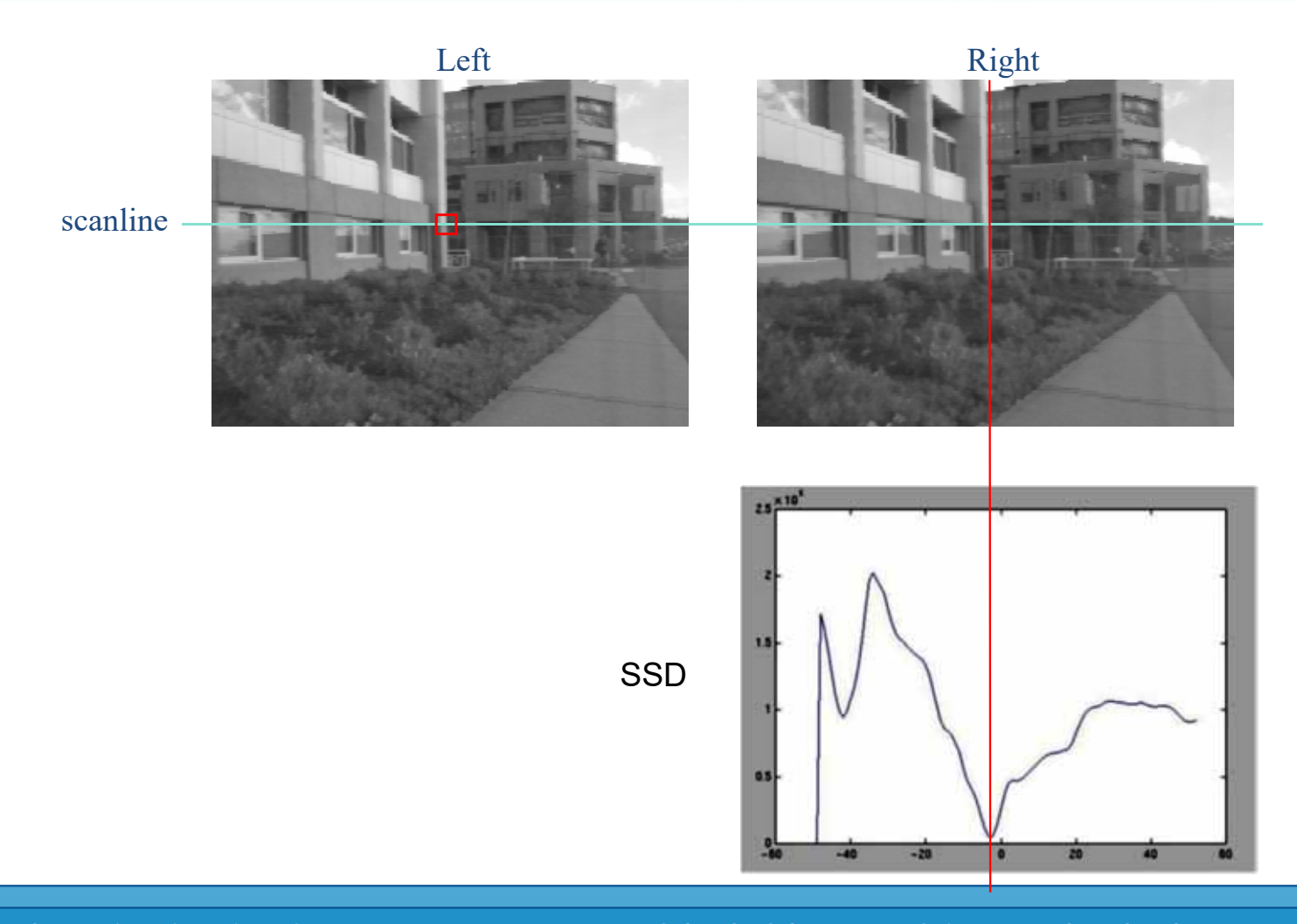
$$C_{SAD} = \sum_{(u,v) \in W_p} |I_l(u,v) - I_r(u+d,v)|$$

•像素亮度差的绝对平方和(Sum of Squared Differences, SSD):

$$C_{SSD} = \sum_{(u,v) \in W_n} [I_l(u,v) - I_r(u+d,v)]^2$$

问题:距离测度越小,相似性越?

距离测度



Hangzhou Dianzi University 杭州电子科技大学

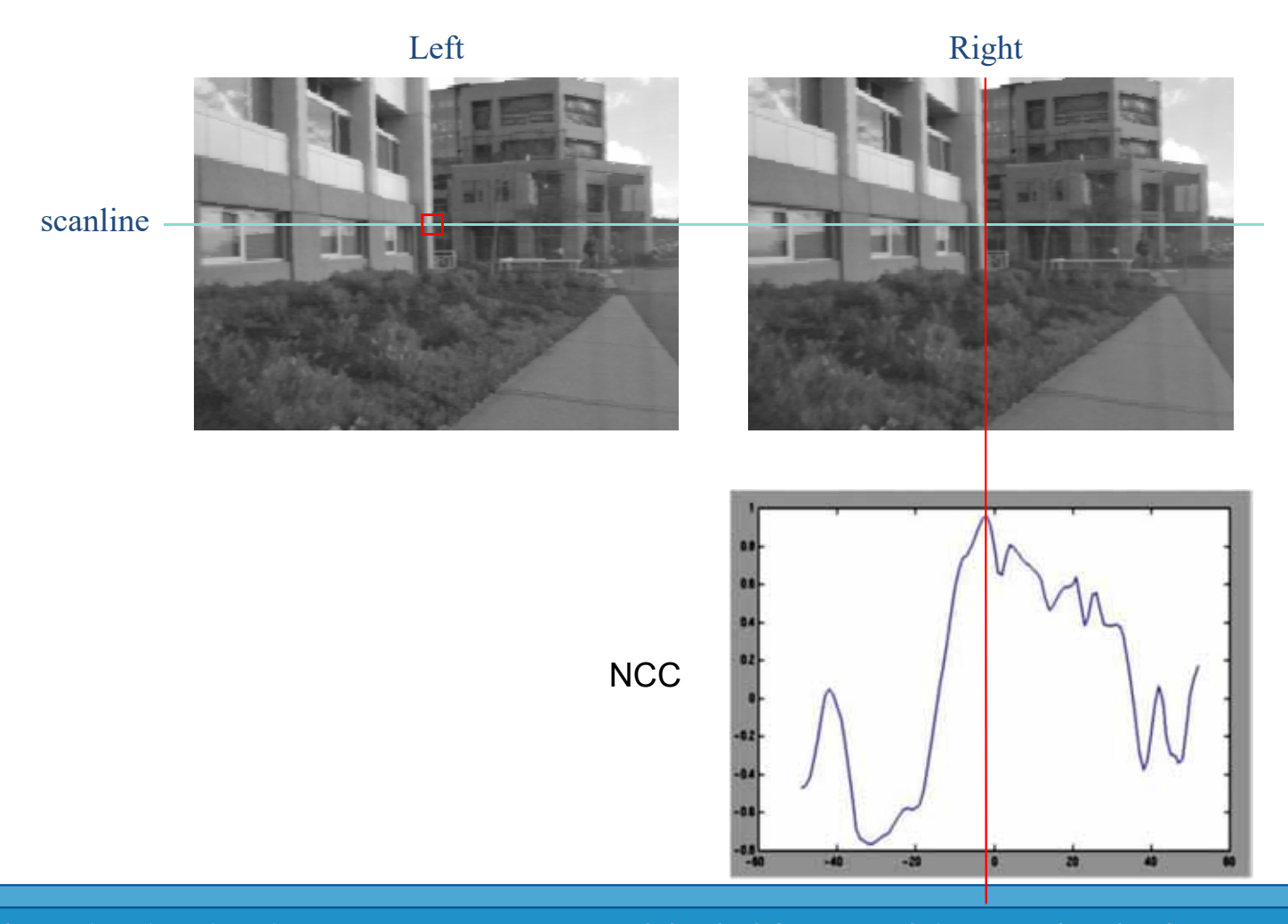
相关系数

•归一化互相关(Normalized Cross-Correlation, NCC)

$$C_{NCC} = \frac{\sum\limits_{(u,v)\in W_p} I_l(u,v) \cdot I_r(u+d,v)}{\sqrt{\sum\limits_{(u,v)\in W_p} I_l^2(u,v) \cdot \sum\limits_{(u,v)\in W_p} I_r^2(u+d,v)}} \qquad C_{ZNCC} = \frac{\sum\limits_{(u,v)\in W_p} \left(I_l(u,v) - \overline{I_l}\right) \cdot \left(I_r(u+d,v) - \overline{I_r}\right)}{\sqrt{\sum\limits_{(u,v)\in W_p} \left(I_l(u,v) - \overline{I_l}\right)^2 \cdot \sum\limits_{(u,v)\in W_p} \left(I_r(u+d,v) - \overline{I_r}\right)^2}}$$

问题:相关系数越小,相似性越?

相关系数



Hangzhou Dianzi University 杭州电子科技大学

非参数化测度

•RANK:
$$C_{Rank} = \sum_{(u,v)\in W_p} \left(I_l'(u,v) - I_r'(u+d,v)\right)$$

$$I_{k}'(u,v) = \sum_{(m,n)\in W_{p}} I_{k}(m,n) < I_{k}(u,v)$$

 $I_{k}'(u,v)$ 统计匹配窗口内像素亮度值小于中心像素的个数。

非参数化测度

•Census:
$$C_{Census} = \sum_{(u,v) \in W_p} HAMMING(I_l'(u,v), I_R'(u+d,v))$$

$$I_{k}'(u,v) = BITSTRING_{(m,n)\in Wp} \left(I_{k}(m,n) < I_{k}(u,v)\right)$$

是将匹配窗口内像素按一定顺序映射为二进制位串,如像素亮度值大于中心像素则映射为1,反之为0。然后比较左、右匹配窗口二进制位串的汉明距离。

问题:RANK和Census区别?

立体匹配测试图

问题:视差图灰度

级代表的含义?

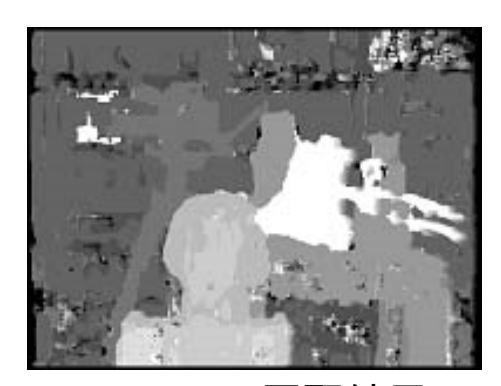








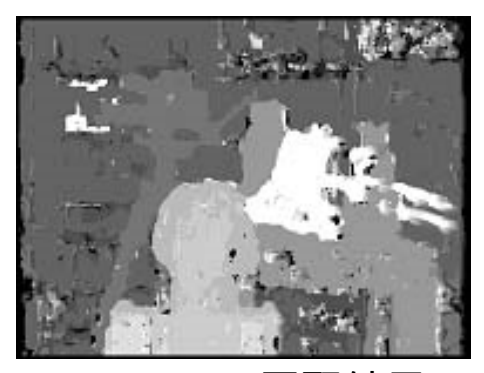
ground truth



(a) SAD 匹配结果



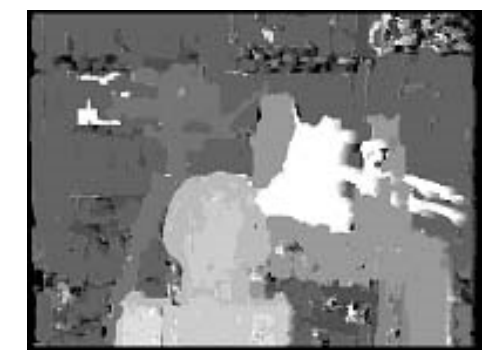
(e) NCC 匹配结果



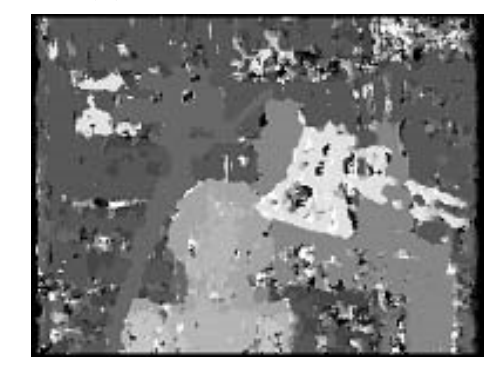
(b) ZSAD 匹配结果



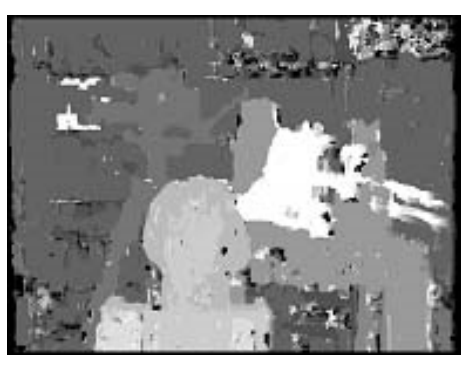
(f) ZNCC 匹配结果



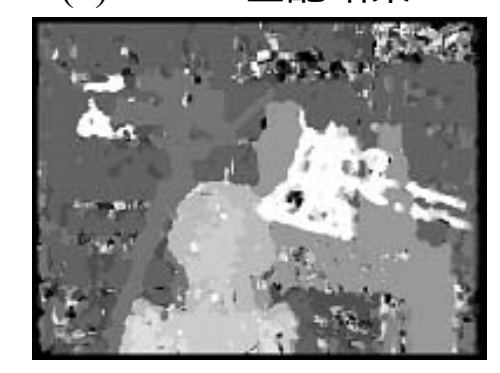
(c) SSD 匹配结果



(g) Rank 匹配结果



(d) ZSSD 匹配结果



(h) Census 匹配结果

区域立体匹配的实现

区域匹配的特点

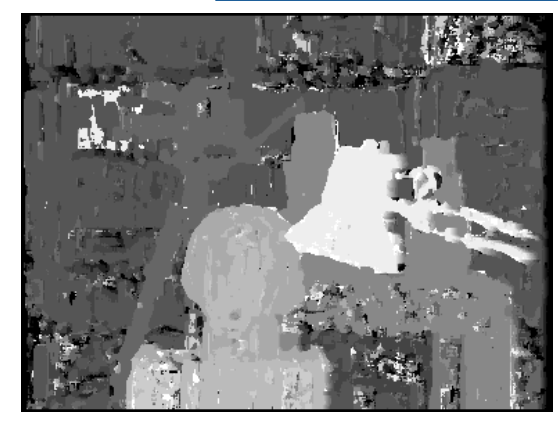
特点:

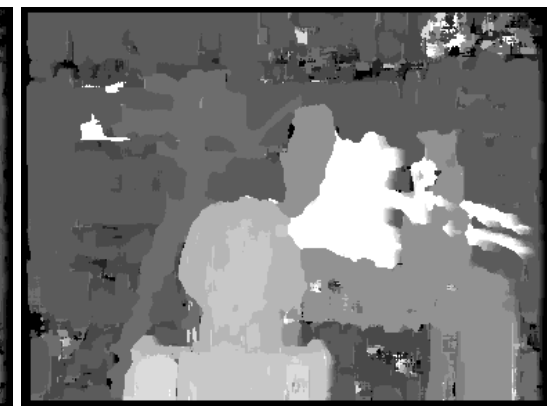
- •以窗口内像素亮度值的分布特性表征中心像素
 - •单个像素在亮度、色彩上存在歧义
- •隐含条件:匹配窗口内视差平滑
 - •匹配窗口内像素应具有相同的视差值。因此,当匹配窗口跨越深度不连续区域时就会因违背假设而引起误配。
- •匹配窗口大小的选择问题

匹配窗口大小的影响

- ▶ 匹配窗口变小
 - ▶ 细节丰富
 - ▶ 噪声大
 - ▶ 视差边缘处好
- 匹配窗口变大
 - ▶ 视差更平滑
 - ▶ 噪声小
 - ▶ 视差边缘处差

思考:试解释原因?



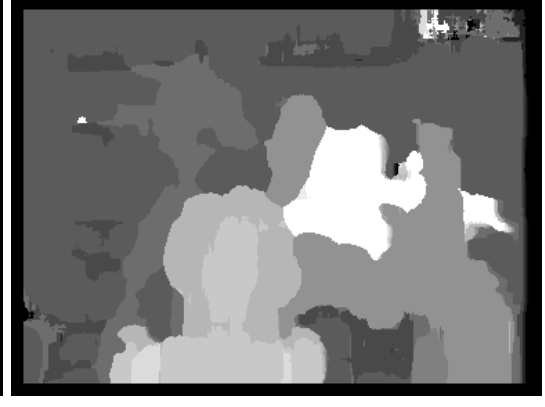


5×5匹配窗口



11×11匹配窗口

7×7匹配窗口

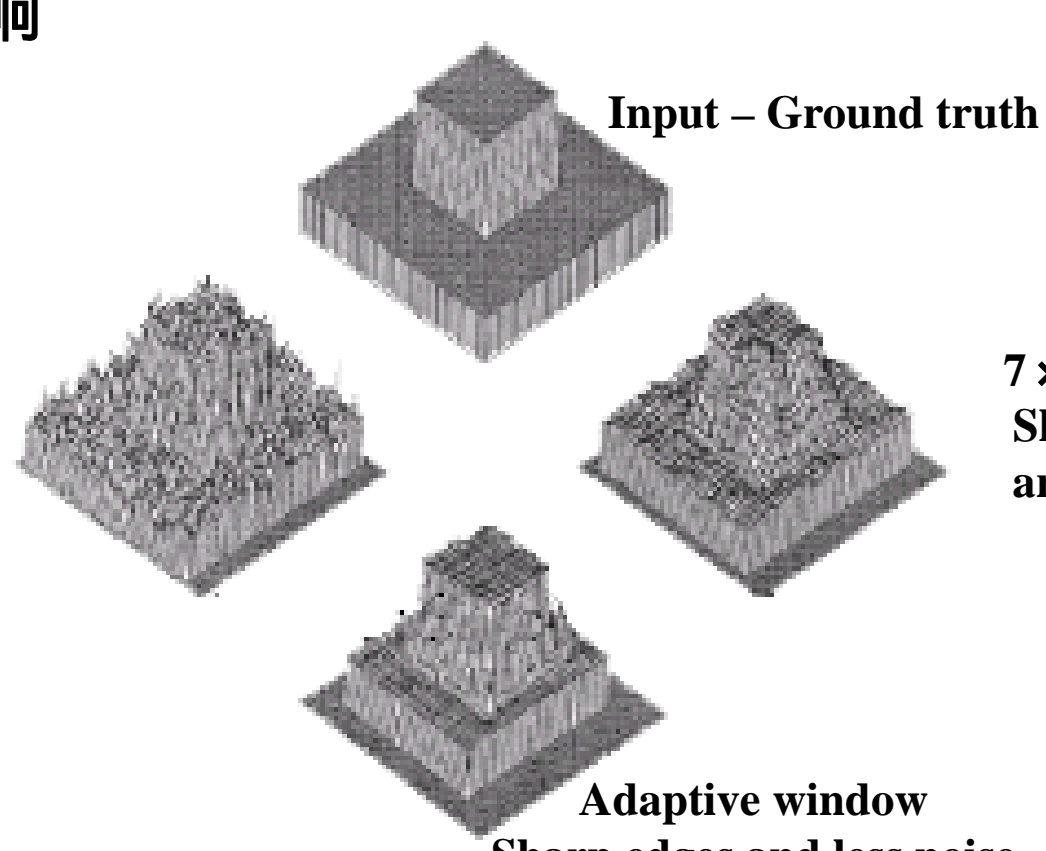


19×19匹配窗口

Hangzhou Dianzi University 杭州电子科技大学

匹配窗口大小的影响

 3×3 window Too noisy!



 7×7 window **Sharp edges** are blurred!

Sharp edges and less noise

局部窗口匹配的优缺点

•优点:

- •容易实现,只需要考虑局部窗口区域
- •对纹理丰富的区域具有较好匹配性能
- •速度快,只需考虑有限像素
- •易于硬件实现,易于流水线实现

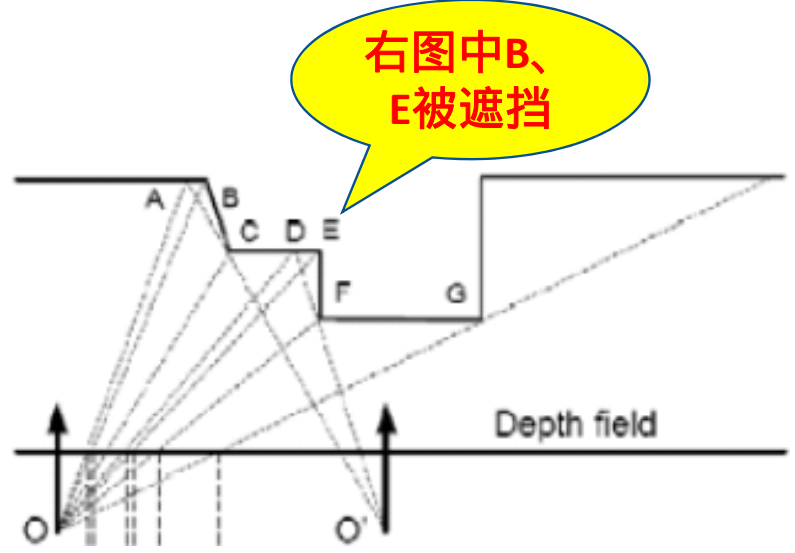
缺点:

- •视差不连续、遮挡或边缘区域无法正确估计视差
- •对重复性纹理、无/弱纹理区域无法准确估计视差

立体匹配面临的挑战

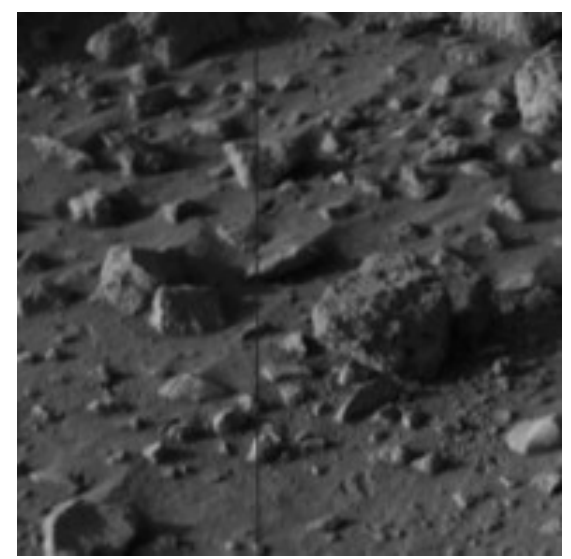
- •即使在测试的标准图像中匹配也并 非容易
 - •重复场景
 - •无纹理区域
 - •遮挡

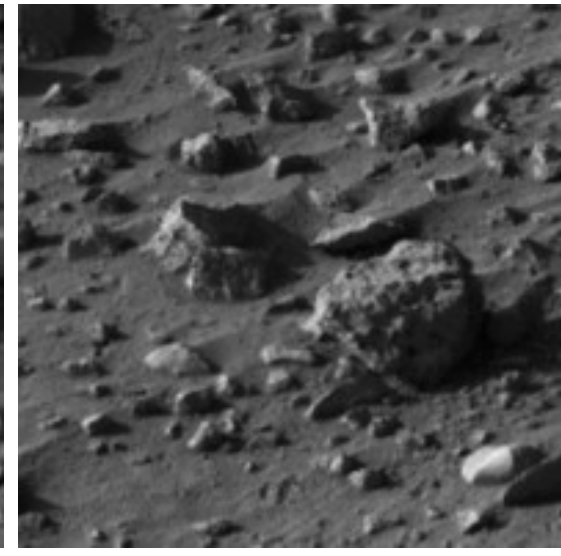




立体匹配面临的挑战

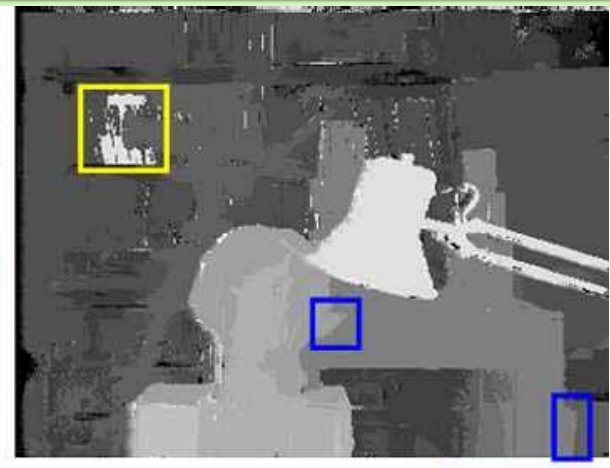
- •场景点投影到两幅图像中并不总是一致的
 - •像机的影响
 - •图像噪声、不同增益、不同对比度等等...
 - •视点的影响
 - •透视畸变
 - •遮挡
 - •镜面反射
 - •尺度、旋转变化



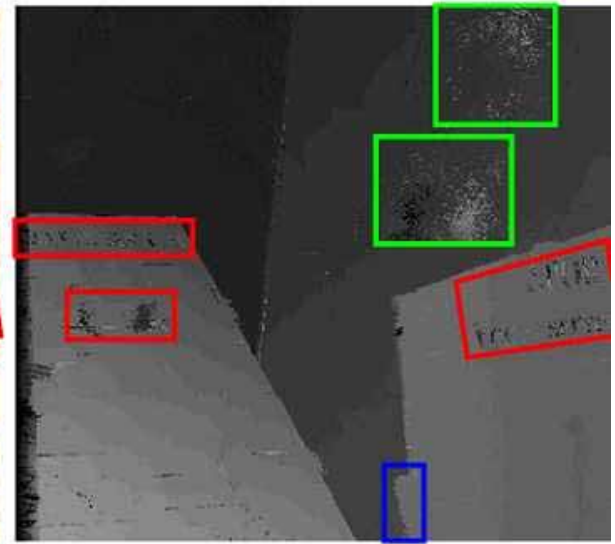


Hangzhou Dianzi University 杭州电子科技大学









Hangzhou Dianzi University 杭州电子科技大学

School of Computer Science and Technology 计算机学院 周文晖

•为克服匹配过程中存在的歧义性,需采用一些常用的匹配约束:

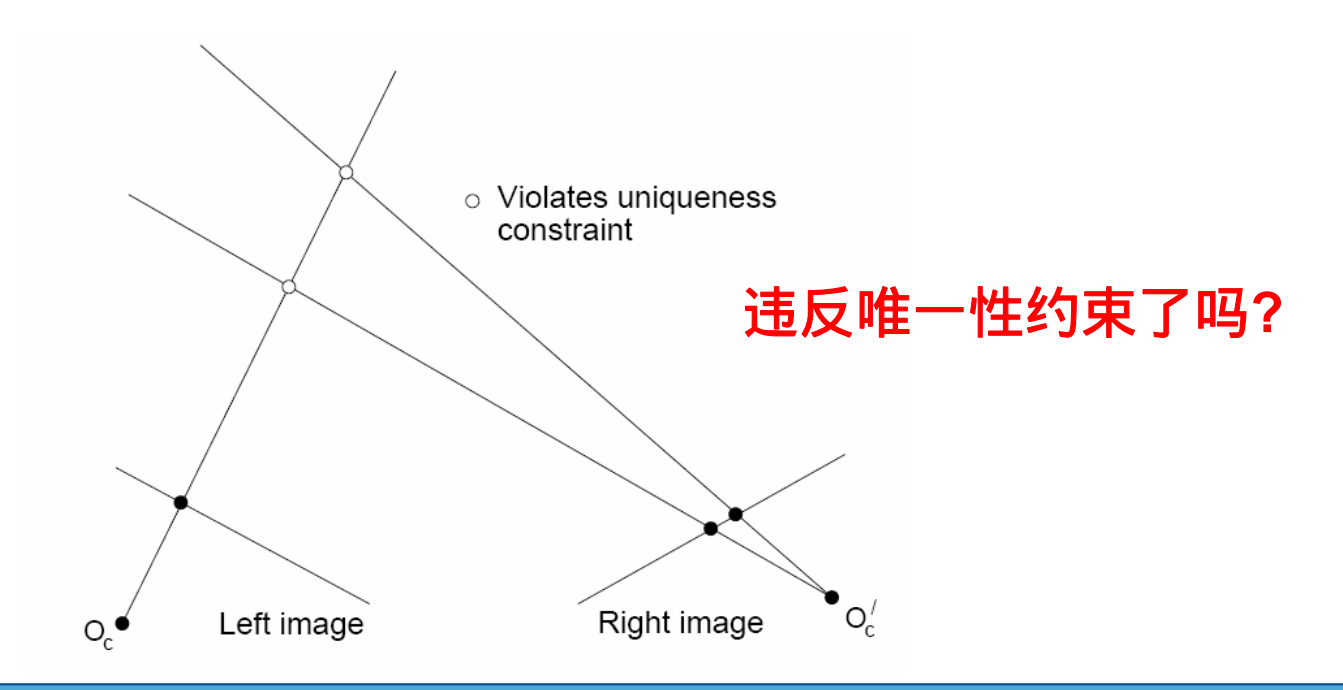
•极线约束:匹配点必须在极线上

•相似性约束:左、右图像的匹配点应具有相似的亮度或颜色。即,假定目标表面符合朗伯漫反射表面。

•视差范围约束:仅在视差搜索内搜索。

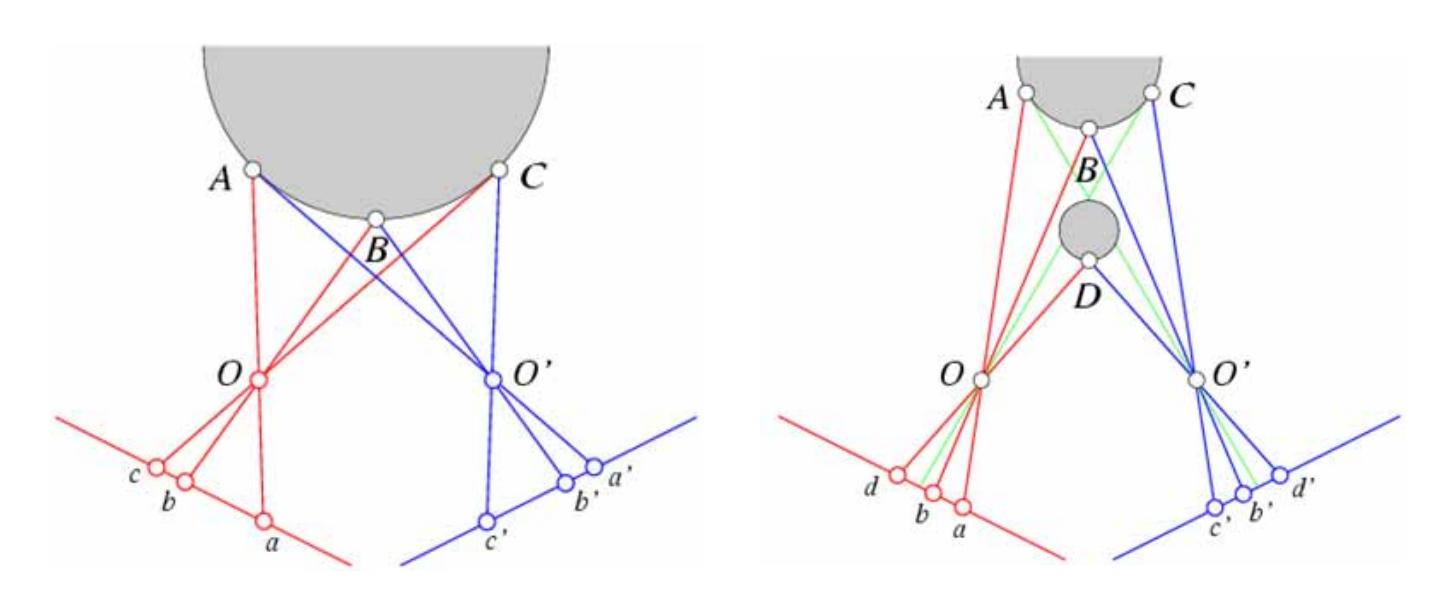
思考:视差搜索范围如何确定?

•唯一性约束:一幅图像中的一个像素,在另一幅图像中最多只有一个对应点像素。



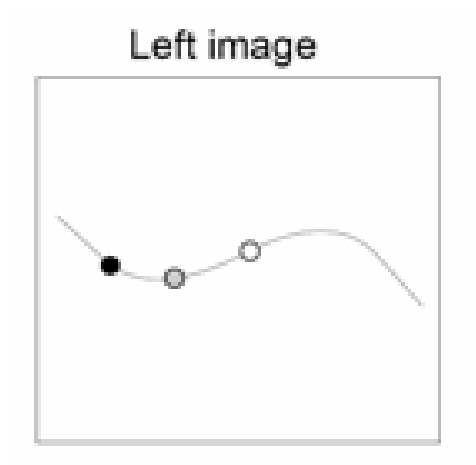
Hangzhou Dianzi University 杭州电子科技大学

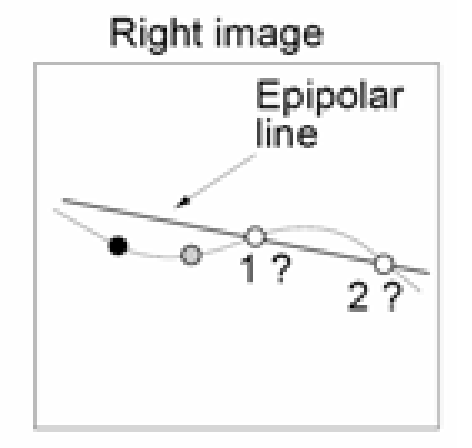
•顺序约束/单调性约束:若参考图中A点在B点的左边,则另一幅图像中A点匹配点也在B点 匹配点的左边。



该约束对细小物体不成立

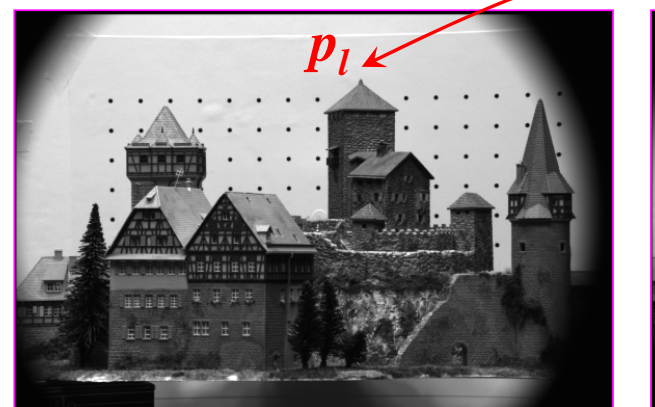
•**平滑性约束**/一**致性约束**:除了遮挡或视差本身不连续区域外,小邻域范围内视差值变化量应很小或相似。换言之视差曲面应是分段连续的。

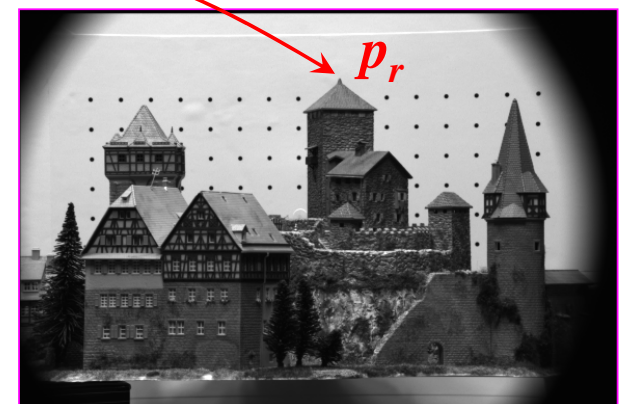




Given matches • and o, point o in the left image must match point 1 in the right image. Point 2 would exceed the disparity gradient limit.

•**互对应约束**:又称左右一致性,若以左图为基准图,左图上一像素点 p_l 的搜索到右图上对应点像素为 p_r ;那么若以右图为基准图,像素 p_r 的对应点也应该是左图上的像素点 p_l 。该约束常用于遮挡区的检测。





立体匹配约束小结

- •约束条件
 - •极线约束
 - •相似性约束
 - •视差范围约束
 - •唯一性约束
 - •顺序约束/单调性约束
 - •互对应约束

在区域D

思考:匹配约束如何实现?

应如何实现?

区域匹配中各像素的对应性搜索相互独立的,而约束要求考虑相邻像素间的视差关系。

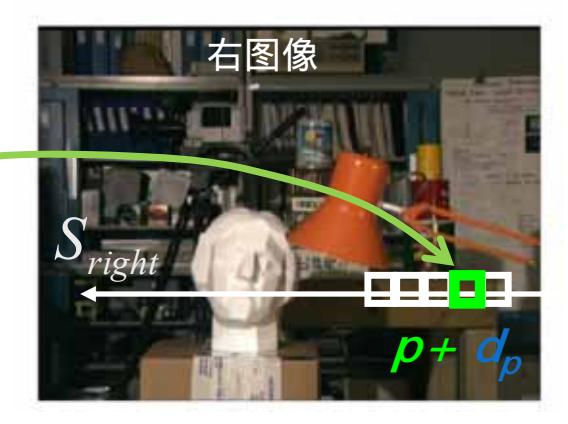


全局立体匹配

- •根据约束条件作用范围,可分为两大类:
 - •一维优化策略,基于动态规划
 - •顺序约束和平滑约束优化极线上所有像素点的匹配代价。
 - •该问题可归结为路径规划问题,即寻找视差空间图的最小代价路径。
 - •二维优化策略,基于全局能量函数
 - •根据贝叶斯理论及马尔可夫随机场理论,立体视觉问题可以转化为求解全局能量最小问题。
 - •全局能量函数为整幅图像所有像素点的匹配代价。

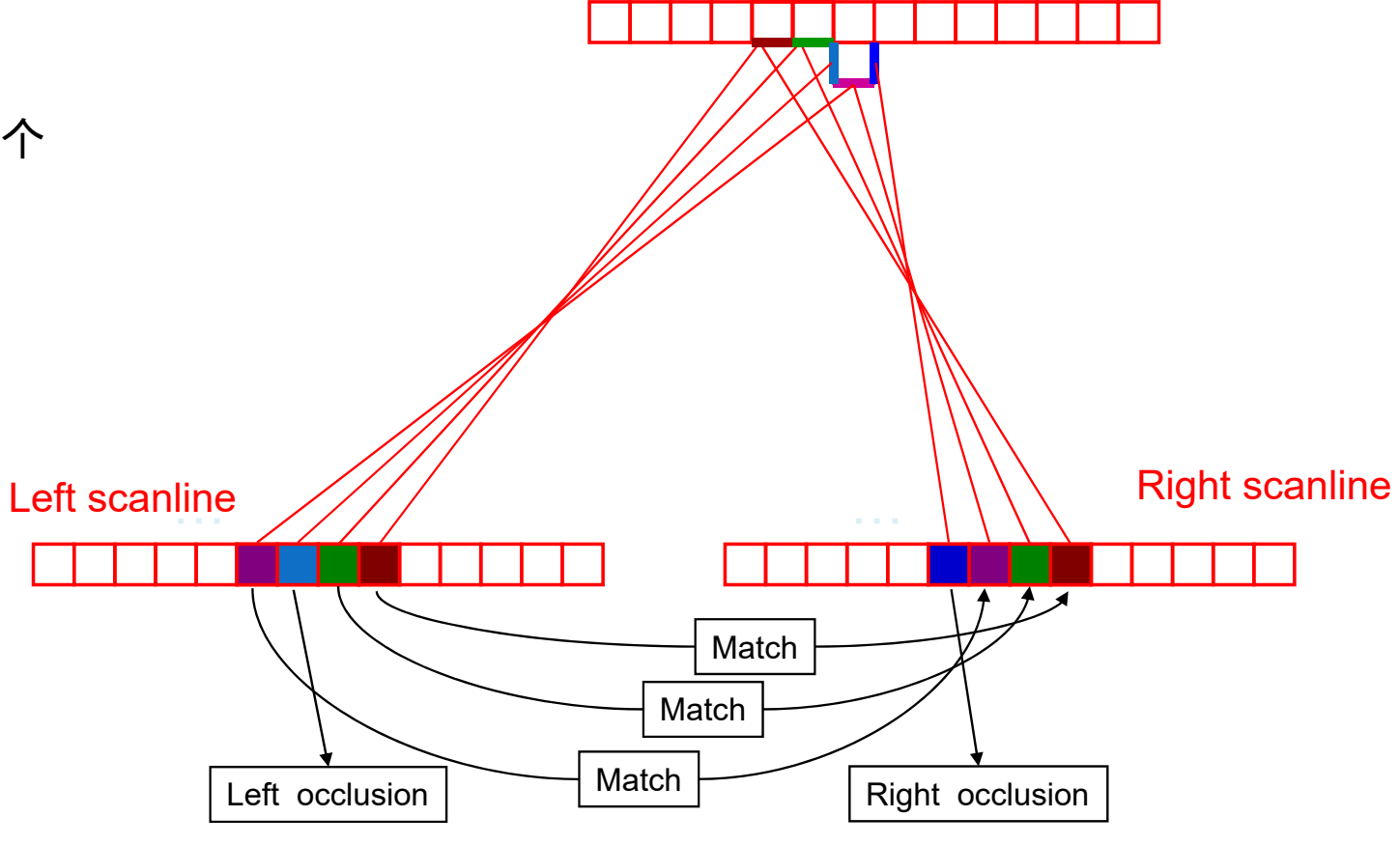
基于动态规划的立体匹配方法



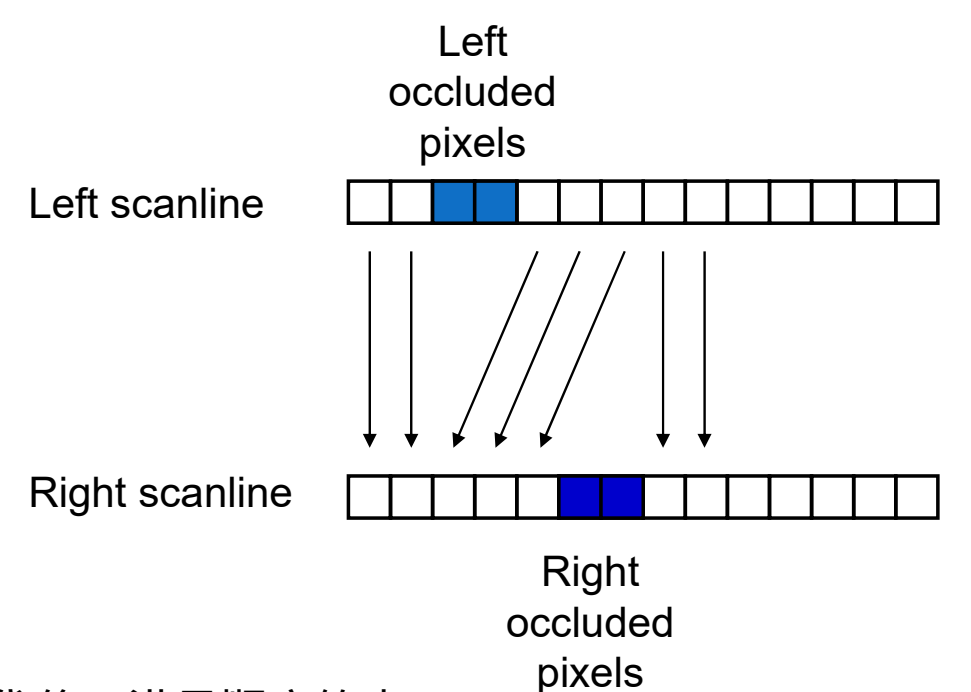


- •基于动态规划的匹配算法并不是孤立地寻找每个像素点的匹配值。
- •优化整条扫描线,使得该扫描线上所有像素的匹配代价和最小,并满足顺序和平滑约束。
- •不同扫描线独立完成优化。

•匹配过程中关注的是整个扫描线上的所有像素



Hangzhou Dianzi University 杭州电子科技大学

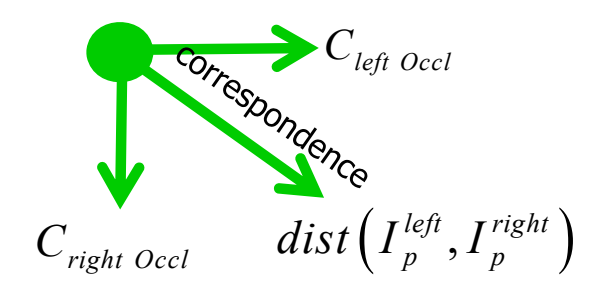


- •三种情况:
 - •连 续——匹配代价,满足顺序约束
 - •左遮挡——无匹配代价
 - •右遮挡——无匹配代价

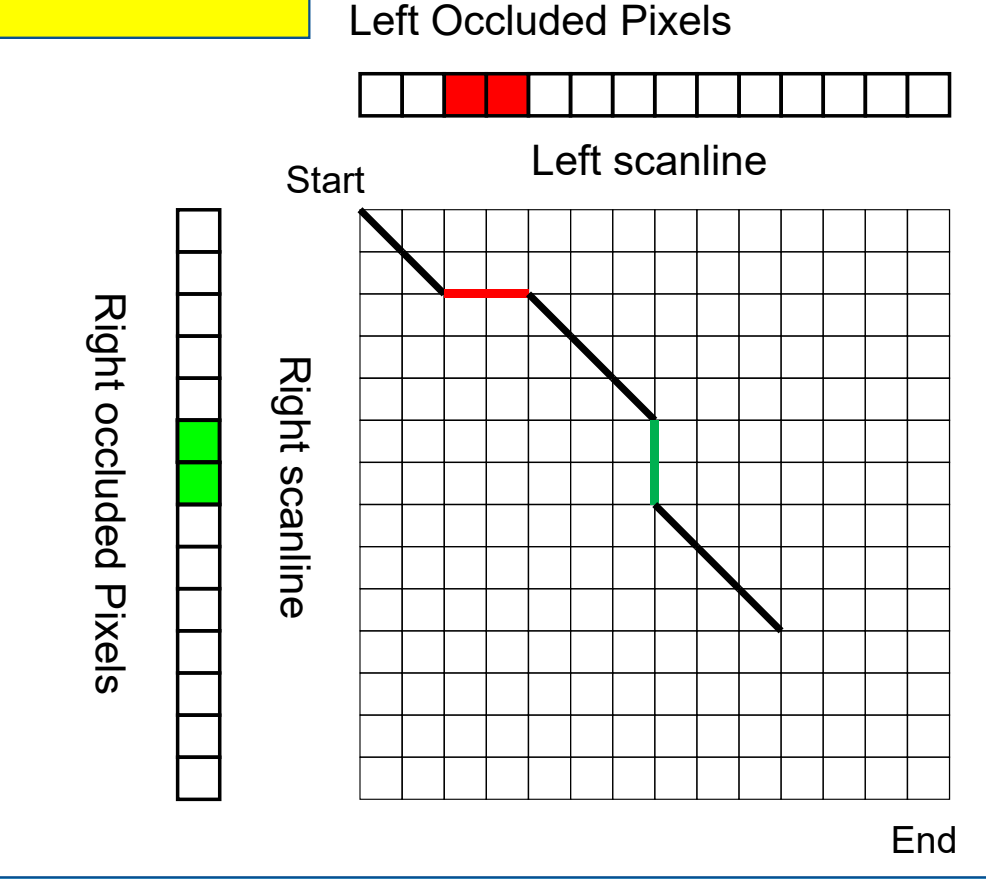
视差空间

立体匹配问题转换为最优路径的搜索问题

- •动态规划在视差空间中生成一条最优路径。
- •路径生成满足顺序约束
- •遮挡、匹配搜索方向及其代价示意:

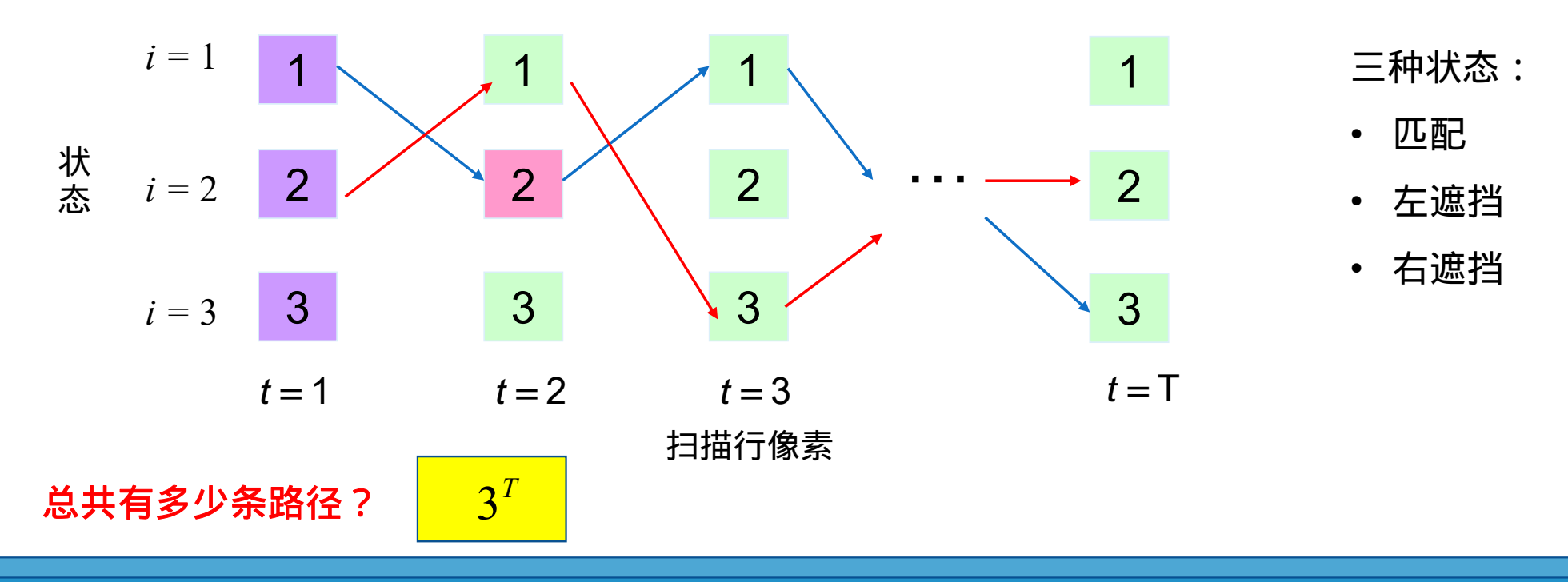


要求:寻找匹配代价和最小的一条路径

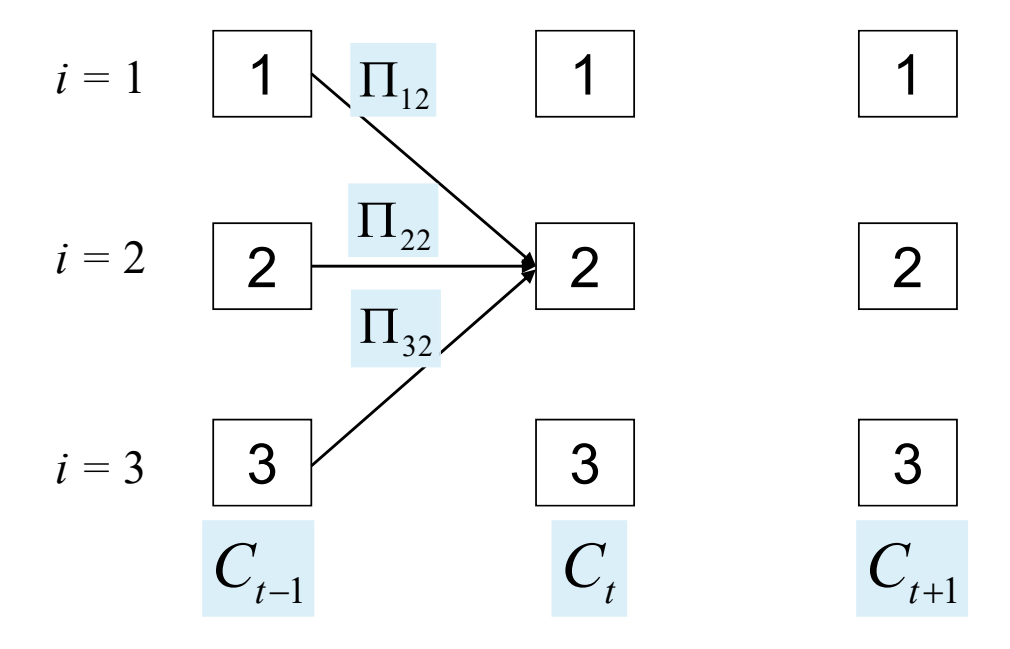


Hangzhou Dianzi University 杭州电子科技大学

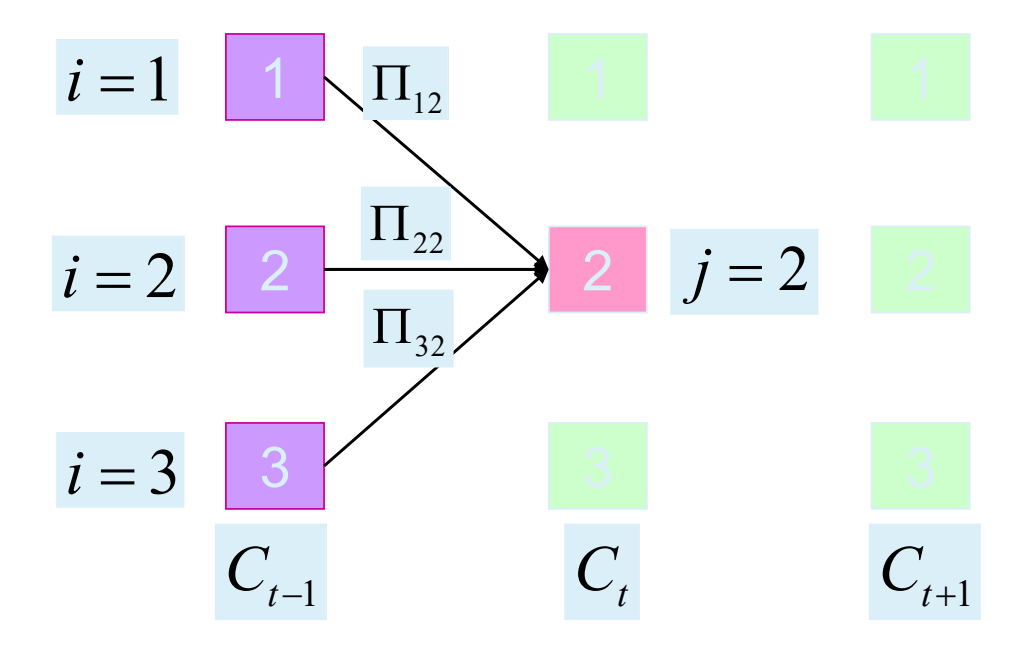
•动态规划是求解连续决策(最优路径)问题的有效方法。



Hangzhou Dianzi University 杭州电子科技大学



- •将整条扫描线匹配过程分解为多阶段决策过程。
- •单个阶段决策的代价为: $\Pi_{ij} = \text{Cost of going from state } i \text{ to state } j$



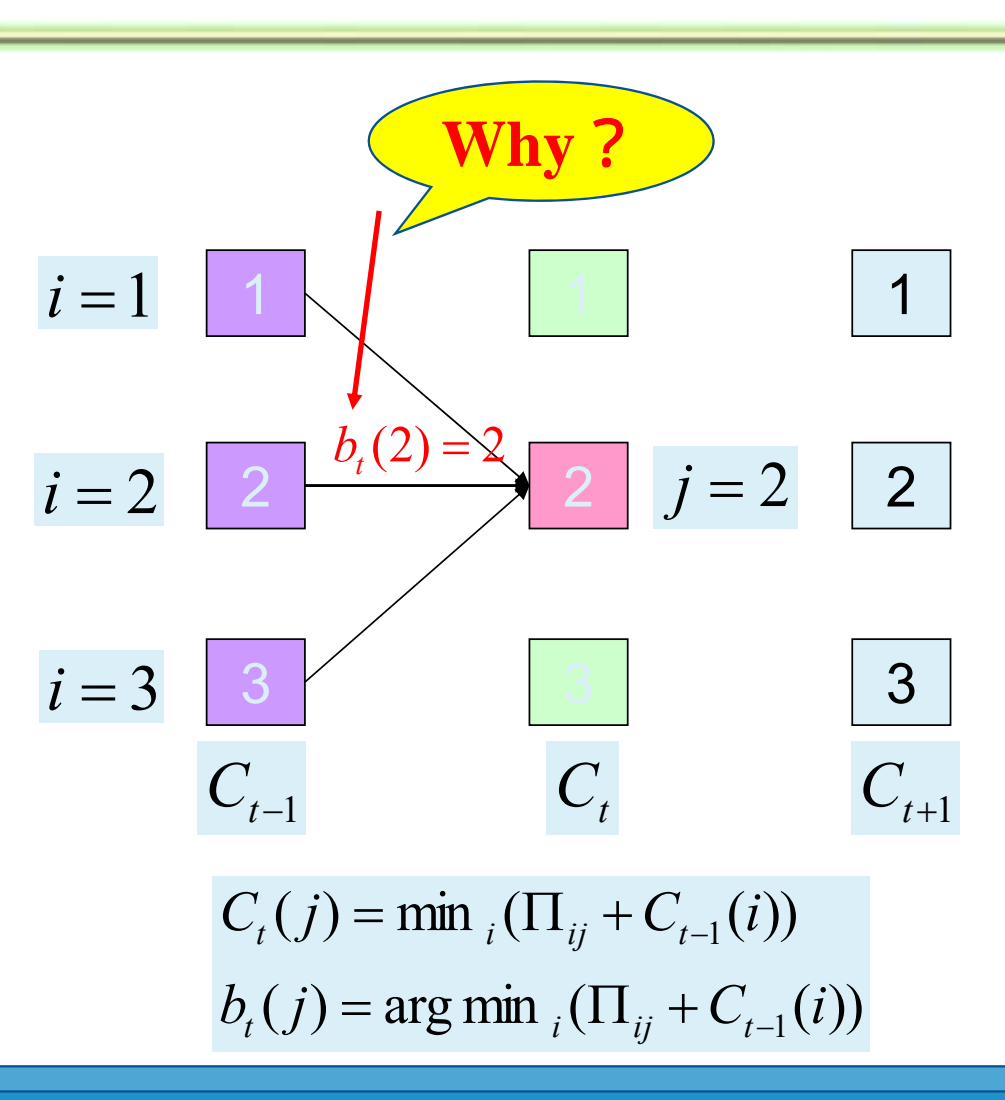
•n阶赋值问题的最优理论(体现动态规划方法):

$$C_{t}(j) = \min_{i} (\Pi_{ij} + C_{t-1}(i))$$

此处最小化是全局概 念还是局部概念?

Hangzhou Dianzi University 杭州电子科技大学

•记录每个节点的父节点



基于动态规划的立体匹配实现

•注: M(i, j) 用于记录父节点

Hangzhou Dianzi University 杭州电子科技大学

基于动态规划的立体匹配实现

•最优路径回溯伪代码

```
p=N;
               q=M;
               while(p!=0 && q!=0){
                  switch(M(p,q)){
                     case 1:
                        p matches q
                        p--;q--;
                        break;
                     case 2:
                        p is unmatched
                        p--;
                        break;
遮挡——跳过直到
                     case 3:
找到下一个匹配点
                        q is unmatched
                        q--;
                        break;
```

Hangzhou Dianzi University 杭州电子科技大学

动态规划方法的局限性

•优点:

•保证了一条扫描线上各像素点的优化匹配。

•缺点:

- •缺少扫描线间的强制约束
- •无法将水平方向和垂直方向的连续性约束有效融合。
- •局部误差会着扫描线传播。
- •视差结果图中有着很明显的横纹效应。

动态规划的匹配结果





横纹效应明显

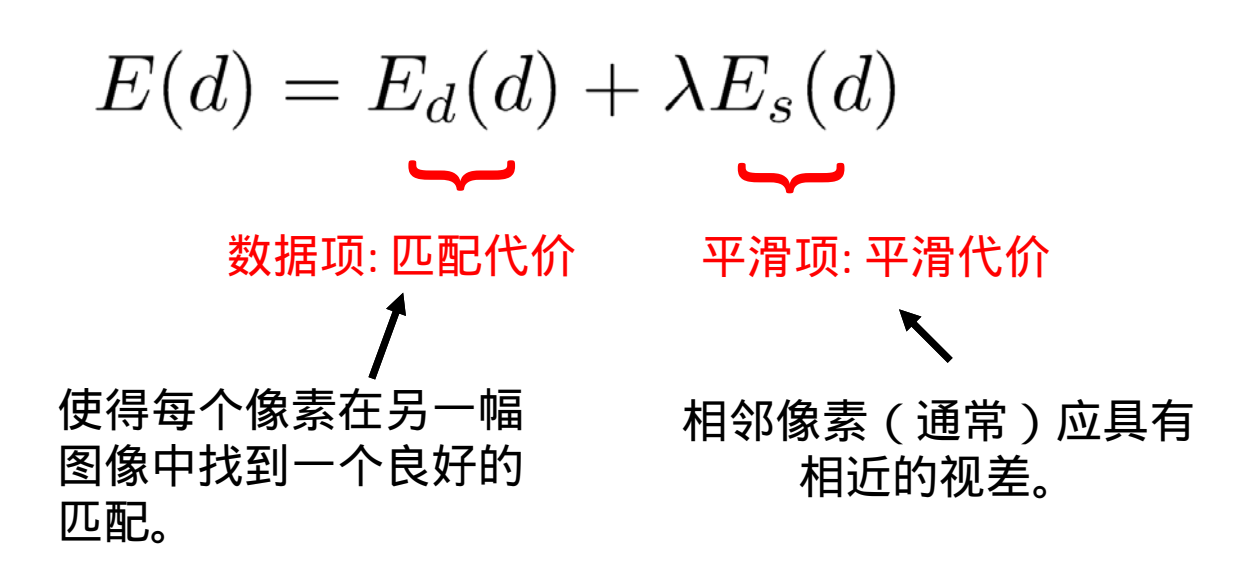
二维优化策略

- •如何评判立体匹配算法性能的优劣?
 - •匹配质量
 - •为每个像素在另一幅图像中寻找到最佳匹配。
 - •平滑性
 - •若两像素相邻,则它们的视差(通常)相近。

思路:定义一个全局能量函数,并求解该能量函数最小

全局能量函数

•立体匹配的全局能量函数定义:



全局能量函数

$$E(d) = E_d(d) + \lambda E_s(d)$$

•数据项:
$$E_d(d) = \sum_{(x,y)\in I} C(x,y,d(x,y))$$
 所有像素的 匹配代价和

•平滑项: $E_s(d) = \sum_{(p,q) \in \mathcal{E}} V(d_p,d_q)$ 4-connected neighborhood neighborhood

Hangzhou Dianzi University 杭州电子科技大学

平滑项函数

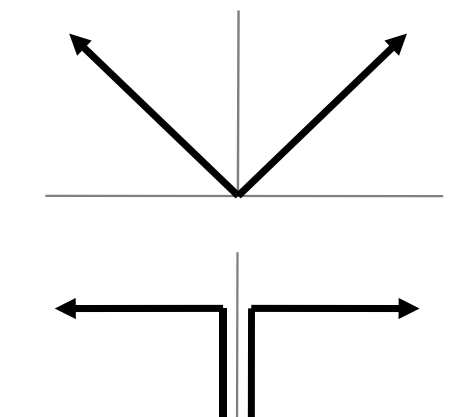
•平滑项:是邻域像素违反平滑性约束的惩罚项。

$$E_s(d) = \sum_{(p,q)\in\mathcal{E}} V(d_p, d_q)$$

•常用模型函数:

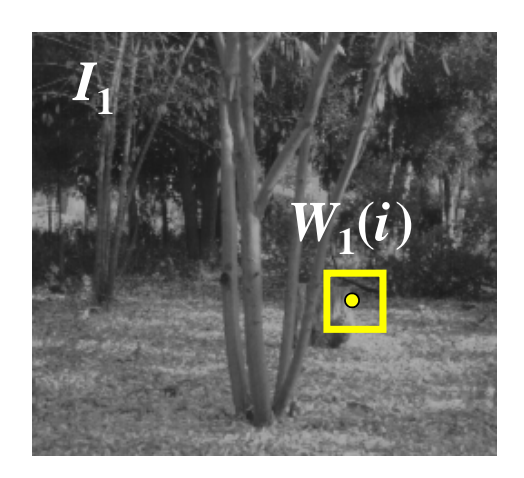
$$L_1$$
 distance $V(d_p, d_q) = |d_p - d_q|$

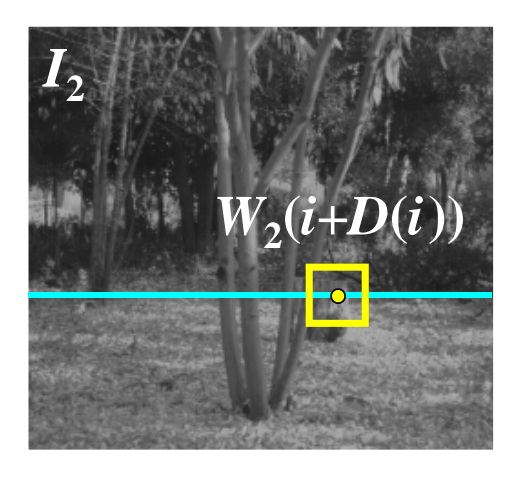
"Potts model"
$$V(d_p,d_q)= egin{cases} 0 & \text{if } d_p=d_q \\ 1 & \text{if } d_p \neq d_q \end{cases}$$

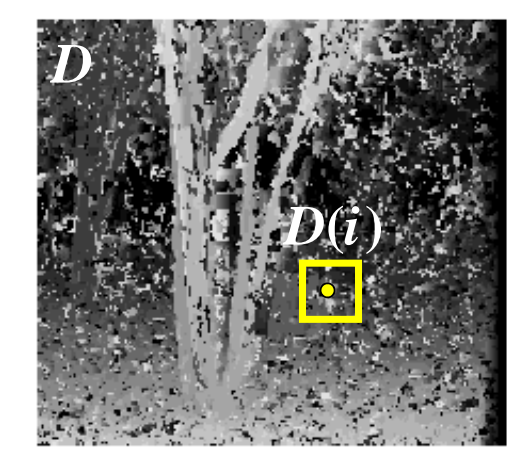


Hangzhou Dianzi University 杭州电子科技大学

全局能量函数举例







$$E(D) = \sum_{i} \left(W_1(i) - W_2(i + D(i)) \right)^2 + \lambda \sum_{\substack{\text{neighbors } i, j \\ \text{odata term}}} \rho \left(D(i) - D(j) \right)$$

Y. Boykov, O. Veksler, and R. Zabih, <u>Fast Approximate Energy Minimization via Graph Cuts</u>, PAMI 2001

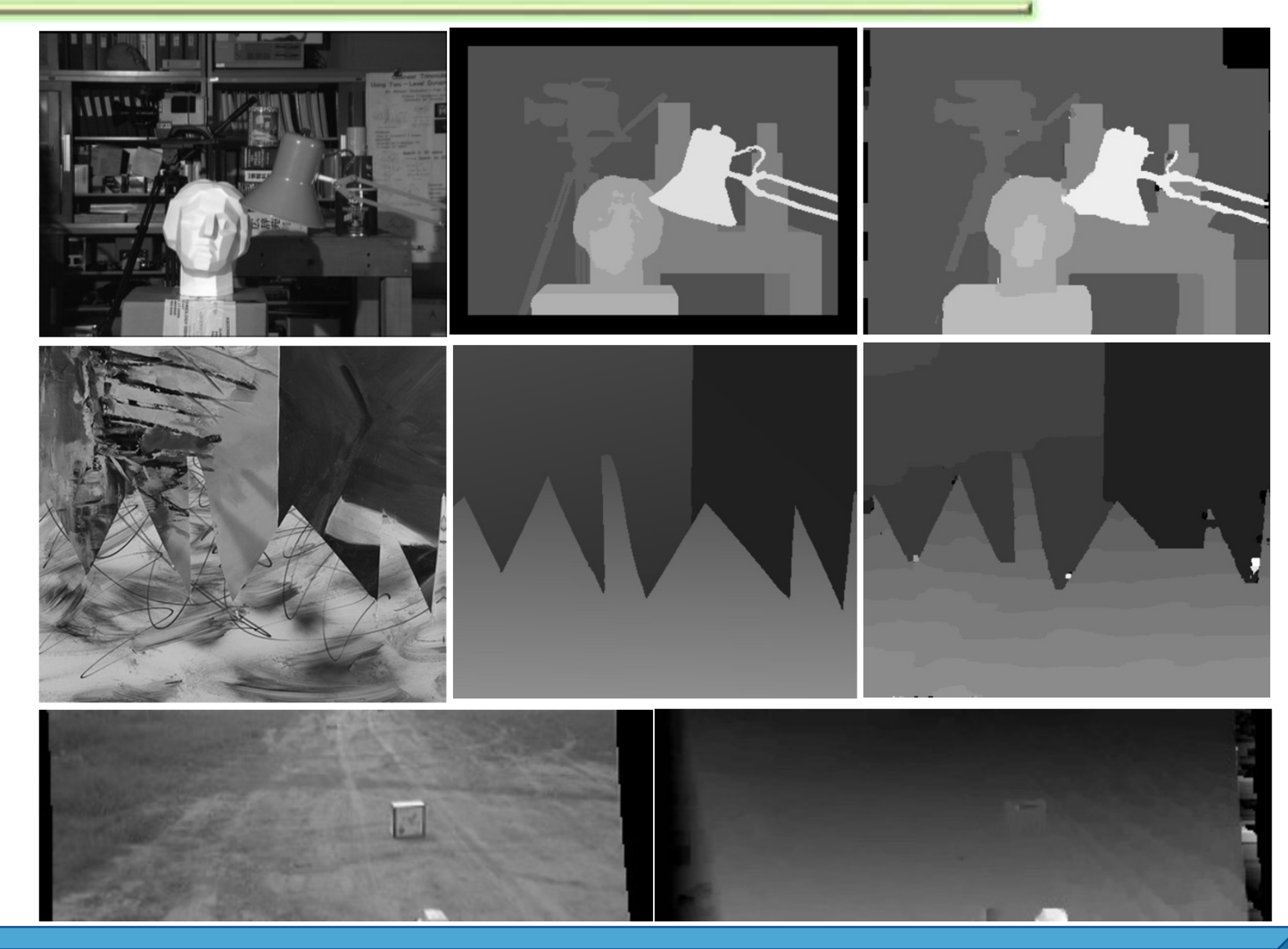
Hangzhou Dianzi University 杭州电子科技大学

School of Computer Science and Technology 计算机学院 周文晖

wallsame comes controlly its in LHK is

全局能量函数最小化求解

- •常用能量函数最小求解方法
 - •基于图的求解
 - •Graph Cuts
 - •基于概率的求解
 - •Belief Propagation (BP)



Hangzhou Dianzi University 杭州电子科技大学

School of Computer Science and Technology 计算机学院 周文晖

uilleunn asianes careceard. Tain 1917 - Senost al Combruer Senone ann secnimol

Algorithm	Avg.	1	sukuba ound trut	(C)	12	Venus round trut	h	9	Teddy round trut	h	91	Cones round trut	h
	Rank	nonocc	all	disc	nonocc	all	disc	nonocc	all	disc	nonocc	<u>all</u>	disc
	V		V			V			V			V	
AdaptingBP [17]	2.8	1.11 6	1.37 3	5.79 7	<u>0.10</u> 1	0.21 2	1.44 1	4.22 4	7.06 z	11.8 4	<u>2.48</u> 1	7.92 2	7.32 1
DoubleBP2 [35]	2.9	0.88 1	1.29 1	4.76 1	0.13 3	0.45 5	1.87 5	3.53 2	8.30 3	9.63 1	2.90 3	8.78 8	7.79 2
DoubleBP [15]	4.9	0.88 2	1.29 2	4.76 2	0.14 5	0.60 13	2.00 7	3.55 3	8.71 5	9.70 2	2.90 4	9.24 11	7.80 3
SubPixDoubleBP [30]	5.6	1.24 10 1	1.76 13	5.98 s	0.12 2	0.46 6	1.74 4	3.45 1	8.38 4	10.0 3	2.93 5	8.73 7	7.91 4
AdaptOvrSeqBP [33]	9.9	1.69 22 2	2.04 21	5.64 6	0.14 4	0.20 1	1.47 2	7.04 14	11.1 7	16.4 11	3.60 11	8.96 10	8.84 10
SymBP+occ [7]	10.8	0.97 4 1	1.75 12	5.09 4	0.16 6	0.33 3	2.19 8	<u>6.47</u> 8	10.7 6	17.0 14	4.79 24	10.7 21	10.9 20
PlaneFitBP [32]	10.8	0.97 5 1	1.83 14	5.26 5	0.17 7	0.51 8	1.71 3	6.65 9	12.1 13	14.7 7	4.17 20	10.7 20	10.6 19
AdaptDispCalib [36]	11.8	1.19 s	1.42 4	6.15 9	0.23 9	0.34 4	2.50 11	7.80 19	13.6 21	17.3 17	3.62 12	9.33 12	9.72 15
Segm+visib [4]	12.2	1.30 15	1.57 5	6.92 18	0.79 21	1.06 18	6.76 22	<u>5.00</u> s	6.54 1	12.3 5	3.72 13	8.62 6	10.2 17
C-SemiGlob [19]	12.3	<u>2.61</u> 29 3	3.29 24	9.89 27	0.25 12	0.57 10	3.24 15	<u>5.14</u> 6	11.8 8	13.0 6	2.77 2	8.35 4	8.20 5
b http	p://	visio	on.i	mid	l <mark>dle</mark>	bur	y.e	du/s	ter	eo/e	val	/	0.2 18 .32 7 36 13
OverSegmBP [26]	14.5	1.69 23 1	1.97 18	8.47 24	0.51 18	0.68 15	4.69 18	6.74 10	11.9 12	15.8 8	3.19 s	8.81 9	8.89 11
SegmentSupport [28]	15.1	1.25 11	1.62 7	6.68 13	0.25 11	0.64 14	2.59 12	8.43 24	14.2 22	18.2 20	3.77 14	9.87 17	9.77 16
RegionTreeDP [18]	15.7	1.39 19	1.64 8	6.85 16	0.22 8	0.57 10	1.93 6	7.42 17	11.9 11	16.8 13	<u>6.31</u> 30	11.9 27	11.8 23
EnhancedBP [24]	16.6	<u>0.94</u> 3 1	1.74 10	5.05 3	0.35 15	0.86 17	4.34 17	<u>8.11</u> 22	13.3 19	18.5 22	5.09 27	11.1 23	11.0 21

Hangzhou Dianzi University 杭州电子科技大学

KITTI数据集 http://www.cvlibs.net/datasets/kitti

KITTI数据集由德国卡尔斯鲁厄理工学院和丰田美国技术研究院联合创办,是目前国际上最大的自动驾驶场景下的计算机视觉算法评测数据集。用于评测立体图像(stereo),光流(optical flow),视觉里程计(visual odometry),3D物体检测(object detection)、3D跟踪(tracking)等计算机视觉技术在车载环境下的性能。

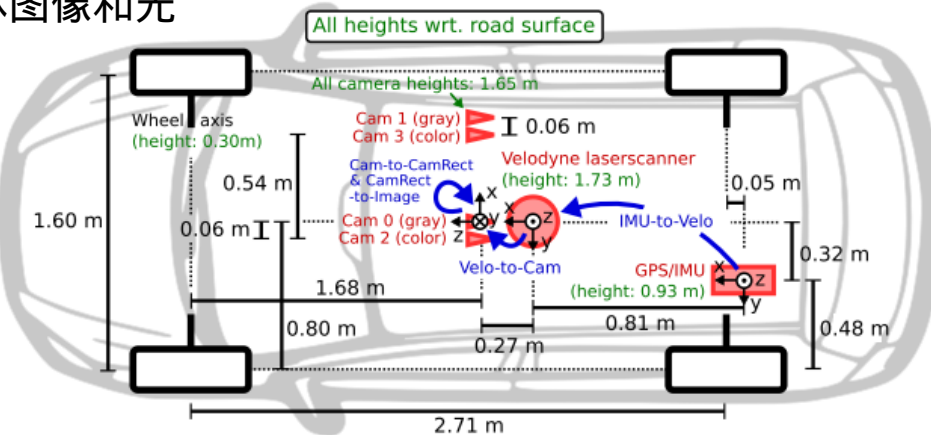
KITTI包含市区、乡村和高速公路等场景的真实图像,每张图像中最多达15辆车和30个行人,还有各种程度的遮挡。整个数据集由389对立体图像和光

流图,39.2 km视觉里程序列以及超过200k 3D标注的目标图像。

车载传感器:

- •1 Inertial Navigation System (GPS/IMU): OXTS RT 3003
- •1 Laserscanner: Velodyne HDL-64E
- •2 Grayscale cameras, 1.4 Megapixels: Point Grey Flea 2 (FL2-14S3M-C)
- •2 Color cameras, 1.4 Megapixels: Point Grey Flea 2 (FL2-14S3C-C)
- •4 Varifocal lenses, 4-8 mm: Edmund Optics NT59-917





Hangzhou Dianzi University 杭州电子科技大学

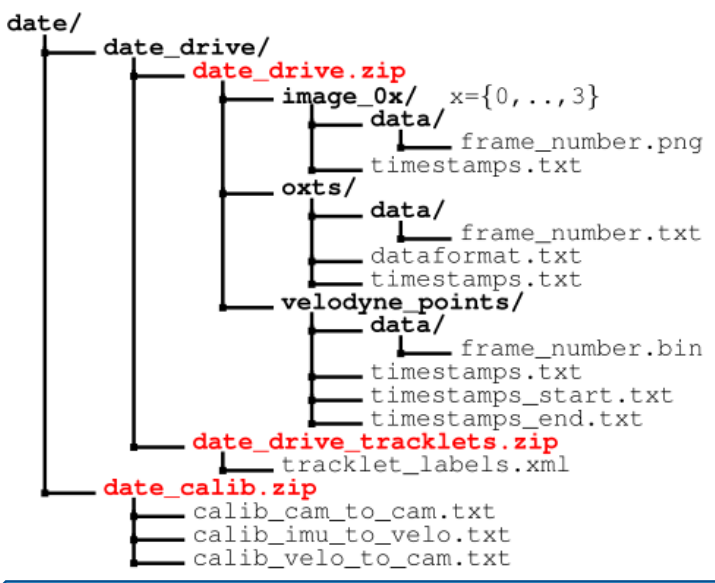
School of Computer Science and Technology 计算机学院 周文晖

weedleante comuse contravalà destil telle e

Devote of Combress Deserte than recursoff)

KITTI数据集

KITTI数据集的典型样本,分为 Road、City、Residential、Campus和Person五类。原始数据采集于2011年的5天,共约176GB数据。





Hangzhou Dianzi University 杭州电子科技大学

School of Computer Science and Technology 计算机学院 周文晖

raile unit comunic contravario e - iii 1411 - 5 const de Combruse Scienti

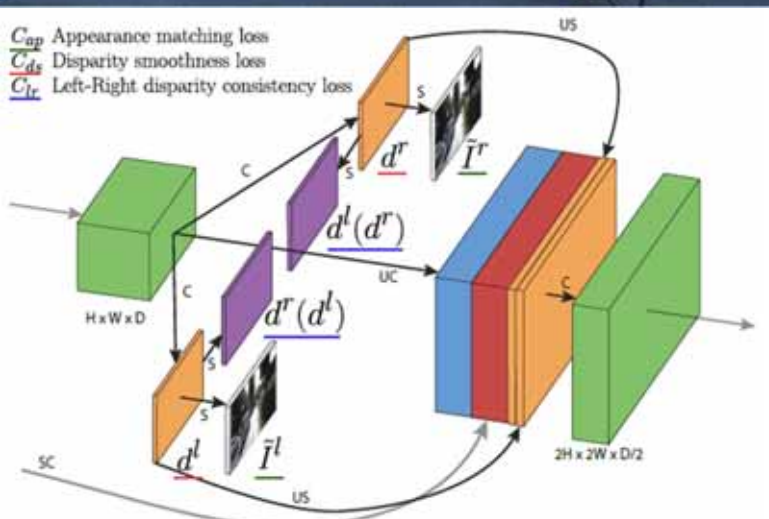
U-Net单目深度估计

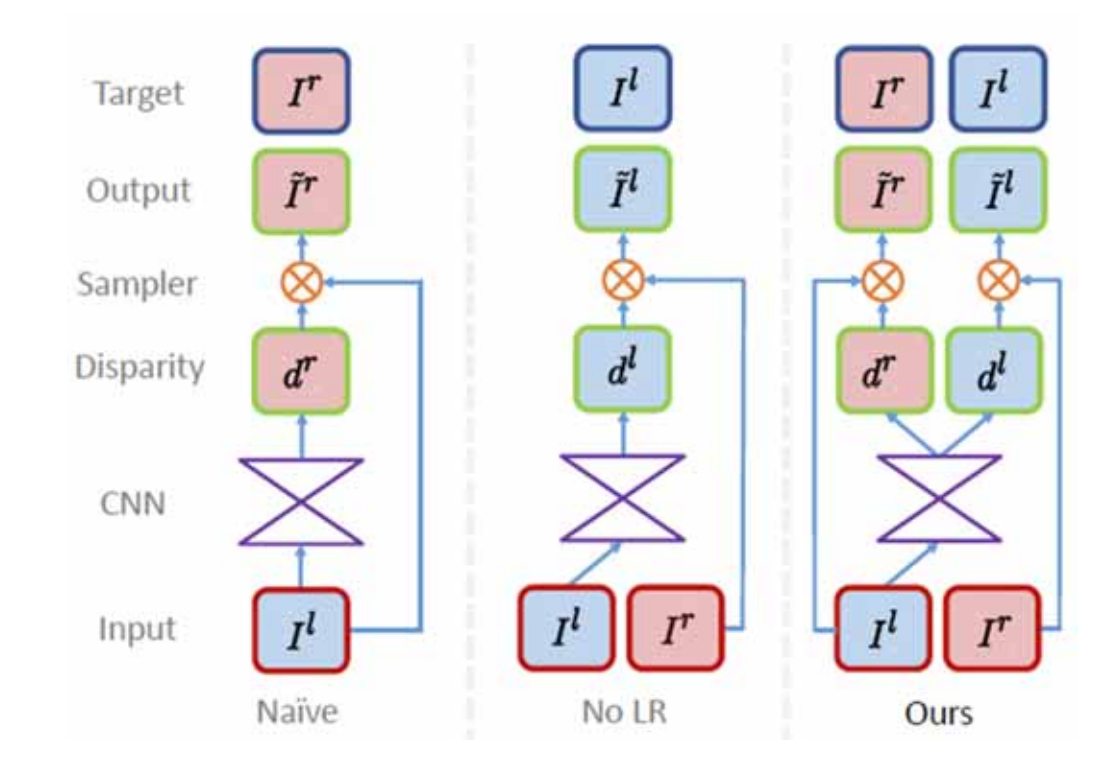
Clement Godard, OisinMac Aodha, Gabriel J. Brostow. UnsupervisedMonocular Depth Estimation with

Left-Right Consistency. CVPR 2017.

http://visual.cs.ucl.ac.uk/pubs/monoDepth/ https://github.com/mrharicot/monodepth







Hangzhou Dianzi University 杭州电子科技大学

School of Computer Science and Technology 计算机学院 周文晖

ulleum neuwer entre e

U-Net单目深度估计

Encoder: VGG16

"Encoder"							
layer	k	S	chns	in	out	input	
conv1	7	2 3/32		1	2	left	
conv1b	7	1	32/32	2	2	conv1	
conv2	5	2	32/64	2	4	conv1b	
conv2b	5	1	64/64	4 4		conv2	
conv3	3	2	64/128	4	8	conv2b	
conv3b	3	1	128/128	8	8	conv3	
conv4	3	2	128/256	8	16	conv3b	
conv4b	3	1	256/256	16	16	conv4	
conv5	3	2	256/512	16	32	conv4b	
conv5b	3	1	512/512	32	32	conv5	
conv6	3	2	512/512	32	64	conv5b	
conv6b	3	1	512/512	64	64	conv6	
conv7	3	2	512/512	64	128	conv6b	
conv7b	3	1	512/512	128	128	conv7	

```
with tf.compat.v1.variable_scope('skips'):
def build_vgg(self):
                                                                   skip1 = conv1
    #set convenience functions
                                                                   skip2 = conv2
    conv = self.conv
                                                                   skip3 = conv3
    if self.params.use_deconv:
                                                                   skip4 = conv4
        upconv = self.deconv
                                                                   skip5 = conv5
    else:
                                                                   skipó = convó
        upconv = self.upconv
    with tf.compat.vl.variable_scope('encoder'):
        conv1 = self.conv_block(self.model_input, 32, 7) # H/2
        conv2 = self.conv_block(conv1,
                                                   64, 5) # H/4
        conv3 = self.conv_block(conv2,
                                            128, 3) # H/8
        conv4 = self.conv_block(conv3,
                                                  256, 3) # H/16
        conv5 = self.conv_block(conv4,
                                                  512, 3) # H/32
        conv6 = self.conv_block(conv5,
                                                  512, 3) # H/64
        conv7 = self.conv_block(conv6,
                                                  512, 3) # H/128
def conv_block(self, x, num_out_layers, kernel_size):
    conv1 = self.conv(x,
                            num_out_layers, kernel_size, 1)
    conv2 = self.conv(conv1, num_out_layers, kernel_size, 2)
    return conv2
def conv(self, x, num_out_layers, kernel_size, stride, activation_fn=tf.nn.elu):
    p = np.floor((kernel_size - 1) / 2).astype(np.int32)
    p_x = tf.pad(x, [[0, 0], [p, p], [p, p], [0, 0]])
    return slim.conv2d(p_x, num_out_layers, kernel_size, stride, 'VALID', activation_fn=activation_fn)
```

Hangzhou Dianzi University 杭州电子科技大学

U-Net单目深度估计

Decoder:

"Decoder"						
layer	k	S	chns	in	out	input
upconv7	3	2	512/512	128	64	conv7b
iconv7	3	1	1024/512	64	64	upconv7+conv6b
upconv6	3	2	512/512	64	32	iconv7
iconv6	3	1	1024/512	32	32	upconv6+conv5b
upconv5	3	2	512/256	32	16	iconv6
iconv5	3	1	512/256	16	16	upconv5+conv4b
upconv4	3	2	256/128	16	8	iconv5
iconv4	3	1	128/128	8	8	upconv4+conv3b
disp4	3	1	128/2	8	8	iconv4
upconv3	3	2	128/64	8	4	iconv4
iconv3	3	1	130/64	4	4	upconv3+conv2b+disp4*
disp3	3	1	64/2	4	4	iconv3
upconv2	3	2	64/32	4	2	iconv3
iconv2	3	1	66/32	2	2	upconv2+conv1b+disp3*
disp2	3	1	32/2	2	2	iconv2
upconv1	3	2	32/16	2	1	iconv2
iconv1	3	1	18/16	1	1	upconv1+disp2*
disp1	3	1	16/2	1	1	iconv1

```
with tf.compat.v1.variable_scope('decoder'):
                                              upconv3 = upconv(iconv4, 64, 3, 2) #H/4
   upconv7 = upconv(conv7, 512, 3, 2) #H/64
                                              concat3 = tf.concat([upconv3, skip2, udisp4], 3)
   concat7 = tf.concat([upconv7, skip6], 3)
                                              iconv3 = conv(concat3, 64, 3, 1)
   iconv7 = conv(concat7, 512, 3, 1)
                                              self.disp3 = self.get_disp(iconv3)
                                              udisp3 = self.upsample_nn(self.disp3, 2)
   upconv6 = upconv(iconv7, 512, 3, 2) #H/32
                                              upconv2 = upconv(iconv3, 32, 3, 2) \#H/2
   concat6 = tf.concat([upconv6, skip5], 3)
                                              concat2 = tf.concat([upconv2, skip1, udisp3], 3)
   iconv6 = conv(concat6, 512, 3, 1)
                                              iconv2 = conv(concat2, 32, 3, 1)
   upconv5 = upconv(iconv6, 256, 3, 2) #H/16
                                              self.disp2 = self.get_disp(iconv2)
                                              udisp2 = self.upsample_nn(self.disp2, 2)
   concat5 = tf.concat([upconv5, skip4], 3)
   iconv5 = conv(concat5, 256, 3, 1)
                                              upconv1 = upconv(iconv2, 16, 3, 2) #H
                                              concat1 = tf.concat([upconv1, udisp2], 3)
   upconv4 = upconv(iconv5, 128, 3, 2) #H/8
                                              iconv1 = conv(concat1, 16, 3, 1)
   concat4 = tf.concat([upconv4, skip3], 3)
                                              self.disp1 = self.get_disp(iconv1)
   iconv4 = conv(concat4, 128, 3, 1)
   self.disp4 = self.get_disp(iconv4)
   udisp4 = self.upsample_nn(self.disp4, 2)
   def upconv(self, x, num_out_layers, kernel_size, scale):
       upsample = self.upsample_nn(x, scale)
       conv = self.conv(upsample, num_out_layers, kernel_size, 1)
       return conv
   def upsample_nn(self, x, ratio):
       s = tf.shape(x)
       h = s[1]
       w = s[2]
       return tf.compat.v1.image.resize_nearest_neighbor(x, [h * ratio, w * ratio])
```

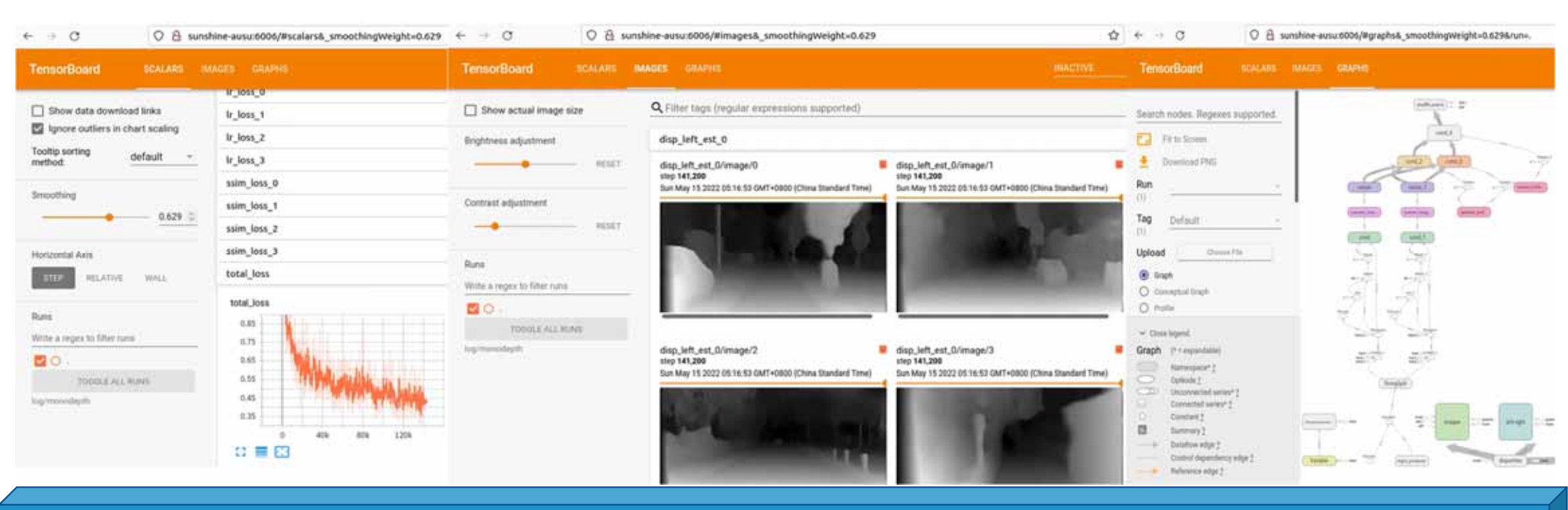
Hangzhou Dianzi University 杭州电子科技大学

Tensorboard查看训练过程

Terminal: Local × + ∨

(tf1.15.4.py3.8) sunshine@sunshine-ausu:~/MyPrograms/PyCharm/Examples/Tensorflow1.x/MonoDepth_UNet\$ tensorboard --logdir=log/monodepth

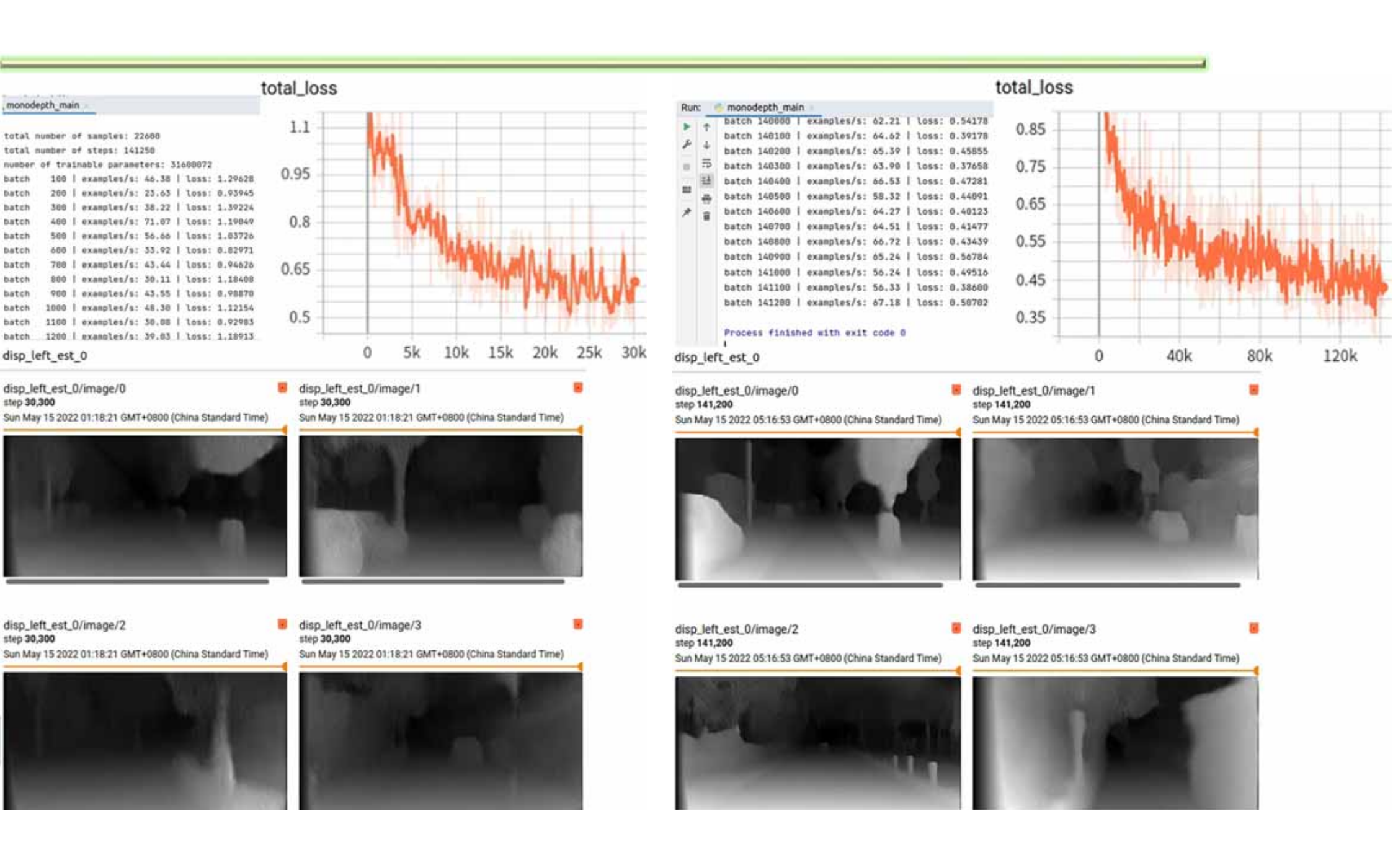
TensorBoard 1.15.0+nv at http://sunshine-ausu:6006/ (Press CTRL+C to quit)



Hangzhou Dianzi University 杭州电子科技大学

School of Computer Science and Technology 计算机学院 周文晖

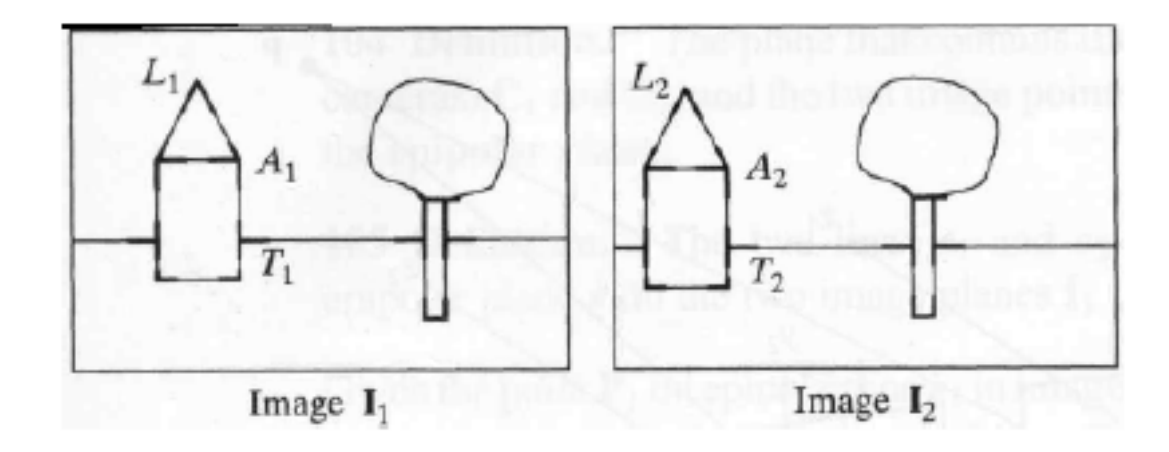
nulleum comusi, contravado nº=11111 - - Senos de Combra





基于特征的立体匹配

- •主要思想
 - ▶ 在左右两幅图像中寻找匹配特征
 - ▶ 常用特征有:
 - ▶ 边缘点
 - > 线段
 - **角点**



基于特征的立体匹配

- •匹配算法
 - •在立体图对中抽取特征
 - •定义相似度
 - •利用相似度和极线几何寻找匹配

Inputs:

- (1) I_l and I_r
- (2) features and their descriptors in both images
- (3) the search region in the right image R(f_I) associated with a feature f_I in the left image

For each feature f_I in the left image:

- 1. Compute the similarity between f_l and each image feature in $R(f_l)$
- 2. Select the right-image feature f_r , that maximizes the similarity measure.
- 3. Save the correspondence and disparity $d(f_l, f_r)$

特征匹配和相关匹配比较

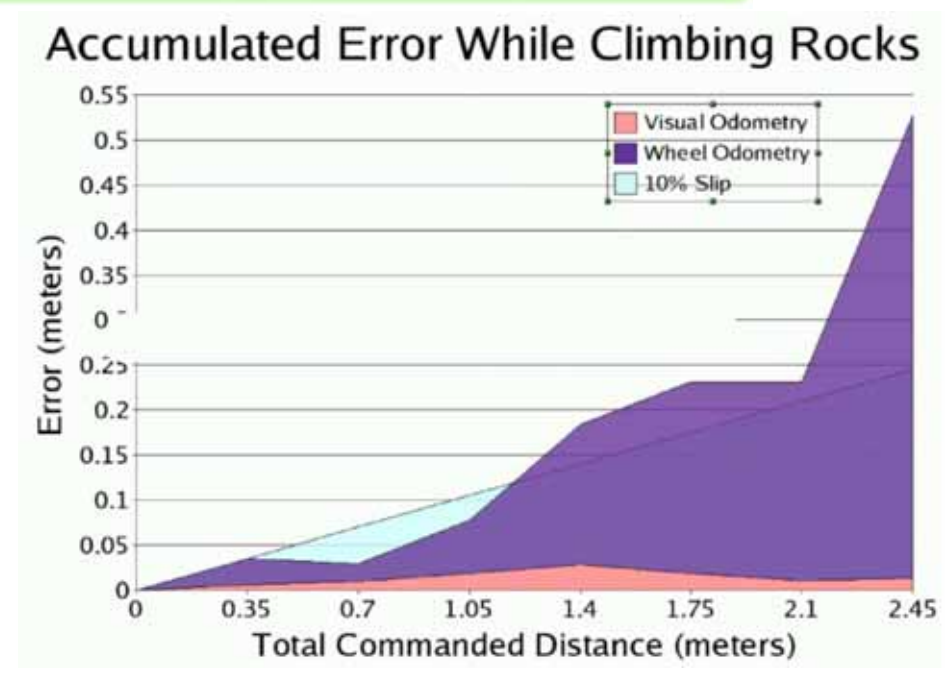
•相关匹配方法

- 易于实现
- 对纹理丰富的图像有良好匹配性能,反之误匹配较多
- 可获得致密视差图(用于表面重建)
- 当视点差异较大时,难以正确匹配,这是由于:
 - -光照方向发生变化
 - -违反了朗伯散射假定

•特征匹配方法

- •运算速度比相关匹配方法快
- •适用于易于提取特征点的场景
- •获得稀疏视差图,适用于视觉导航等应用
- •对亮度变化相对不敏感

- •机器人定位技术是自主导航系统中的关键技术之
- 一,是实现长距离精确导航的前提和保障。
- •传统定位技术采用航位推算法,结合车轮编码器 及惯导设备所获得的距离和方向信息来估算自身 姿态和位置。
- 车轮编码器无法克服车轮打滑、差动驾驶或制动 行驶时引起的计数或测量错误。
- •惯导设备会随时间"漂移"。



Two Years of Visual Odometry on the Mars Exploration Rovers

https://onlinelibrary.wiley.com/doi/pdf/10.1002/rob.20184

美国JPL实验室提出了视觉里程计辅助定位技术, 并成功应用于"勇气号"和"机遇号"火星车。

Hangzhou Dianzi University 杭州电子科技大学

•原理:前、后两帧图像中提取匹配点对,并 计算得到同一场景点在前、后两车体坐标系 下的三维坐标,则有:

$$\begin{pmatrix} \mathbf{x}'_{wi} \\ \mathbf{y}'_{wi} \\ \mathbf{z}'_{wi} \\ 1 \end{pmatrix} = \begin{pmatrix} \mathbf{R} & \mathbf{t} \\ \mathbf{0}^{\mathbf{T}} & 1 \end{pmatrix} \begin{pmatrix} \mathbf{x}_{wi} \\ \mathbf{y}_{wi} \\ \mathbf{z}_{wi} \\ 1 \end{pmatrix}$$

•通过估计旋转矩阵R和平移矢量t,从而可获 得车体当前帧相对于前一帧的位置和姿态。 •采用欧拉角描述旋转矩阵R

•优点:仅需三个角度即可表示旋转矩阵R。

•缺点:存在万向轴锁问题;由于是非线性求解

,增加算法的复杂度。

•采用四元数表示旋转矩阵R

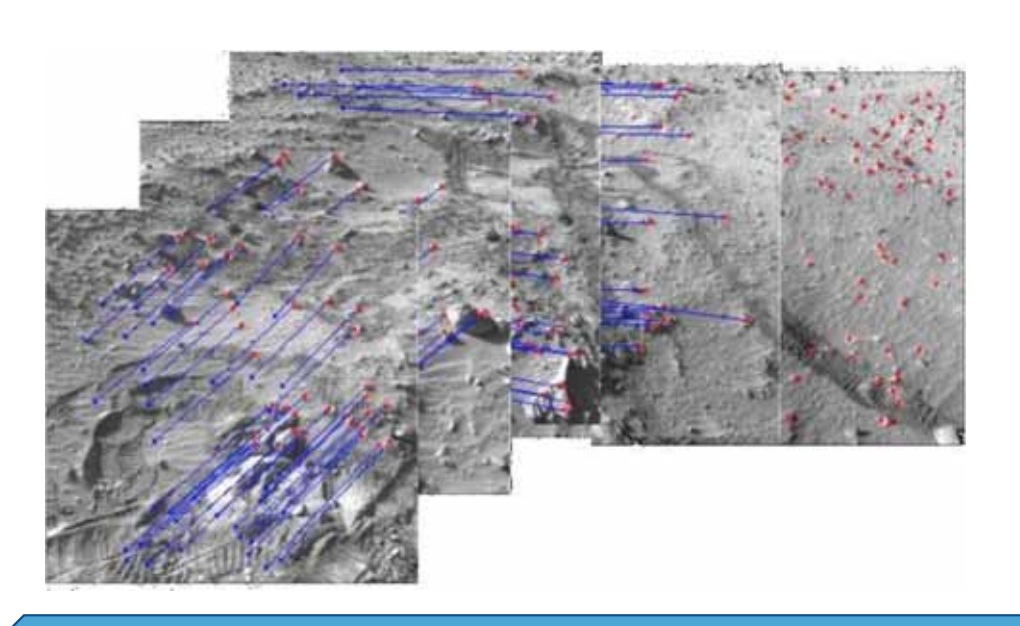
•四元数的基本形式: $\mathbf{q} = q_0 + q_1 i + q_2 j + q_3 k$

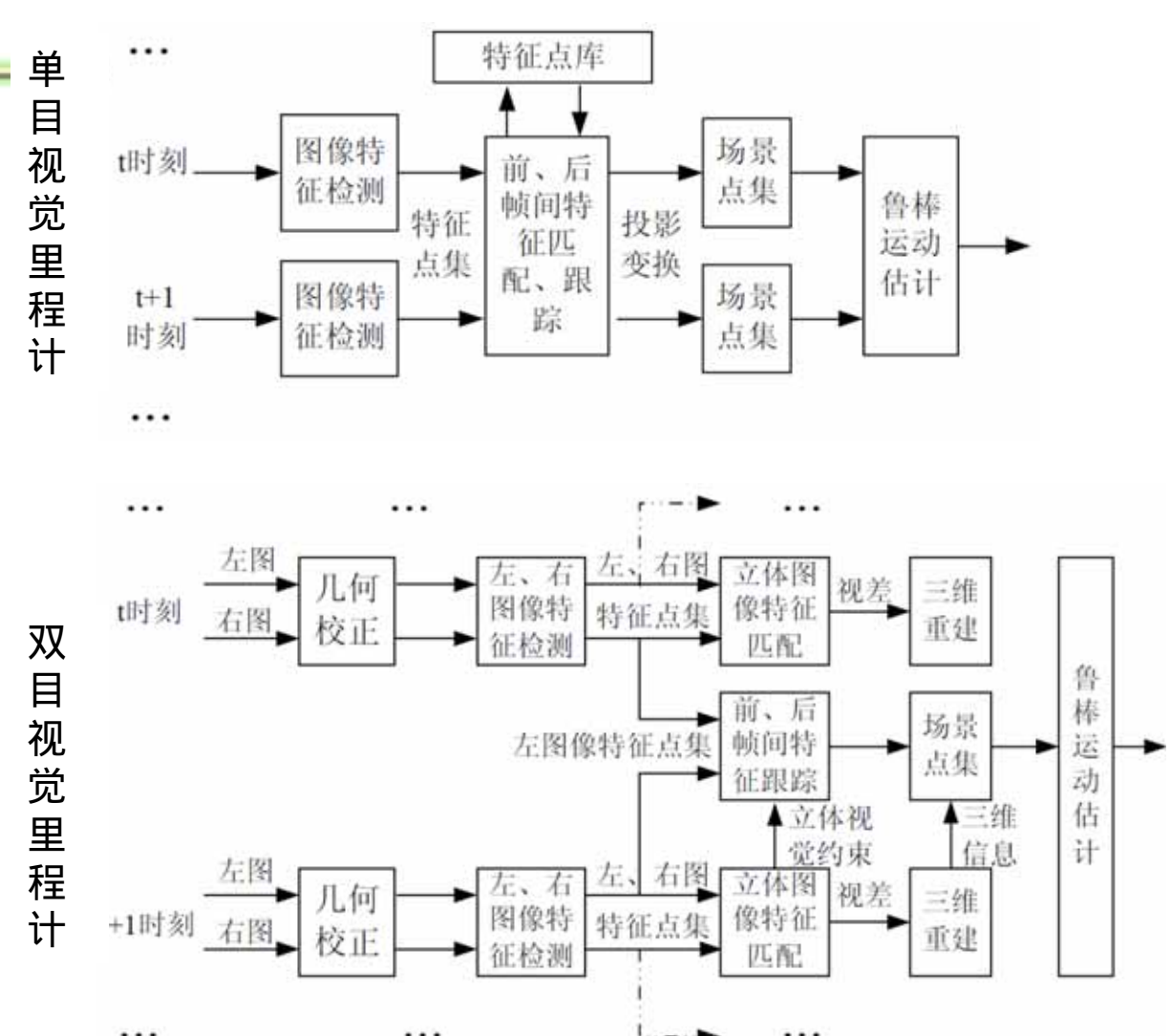
•旋转矩阵的四元数表示:

$$R(\mathbf{q}) = \begin{pmatrix} q_0^2 + q_1^2 - q_2^2 - q_3^2 & 2(q_1q_2 - q_0q_3) & 2(q_1q_3 + q_0q_2) \\ 2(q_1q_2 + q_0q_3) & q_0^2 + q_2^2 - q_1^2 - q_3^2 & 2(q_2q_3 - q_0q_1) \\ 2(q_1q_3 - q_0q_2) & 2(q_2q_3 + q_0q_1) & q_0^2 + q_3^2 - q_1^2 - q_2^2 \end{pmatrix}$$

Hangzhou Dianzi University 杭州电子科技大学

•基本步骤:特征点提取、特征点匹配、 特征点跟踪、鲁棒的运动估计。





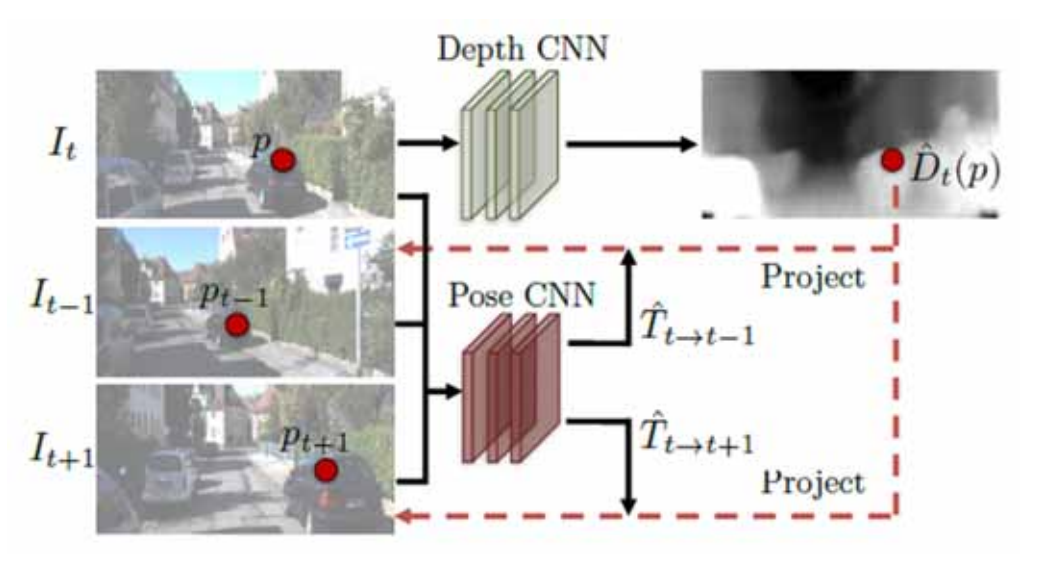
Hangzhou Dianzi University 杭州电子科技大学

School of Computer Science and Technology 计算机学院 周文晖

Municipal Controlly at all Little

troop of Combress 2015 to the Assumed A

•基于无监督深度学习的视觉里程计



T. Zhou, M. Brown, N. Snavely, and D. G. Lowe, Unsupervised learning of depth and ego-motion from video. CVPR2017.

https://people.eecs.berkeley.edu/~tinghuiz/projects/SfMLearner/

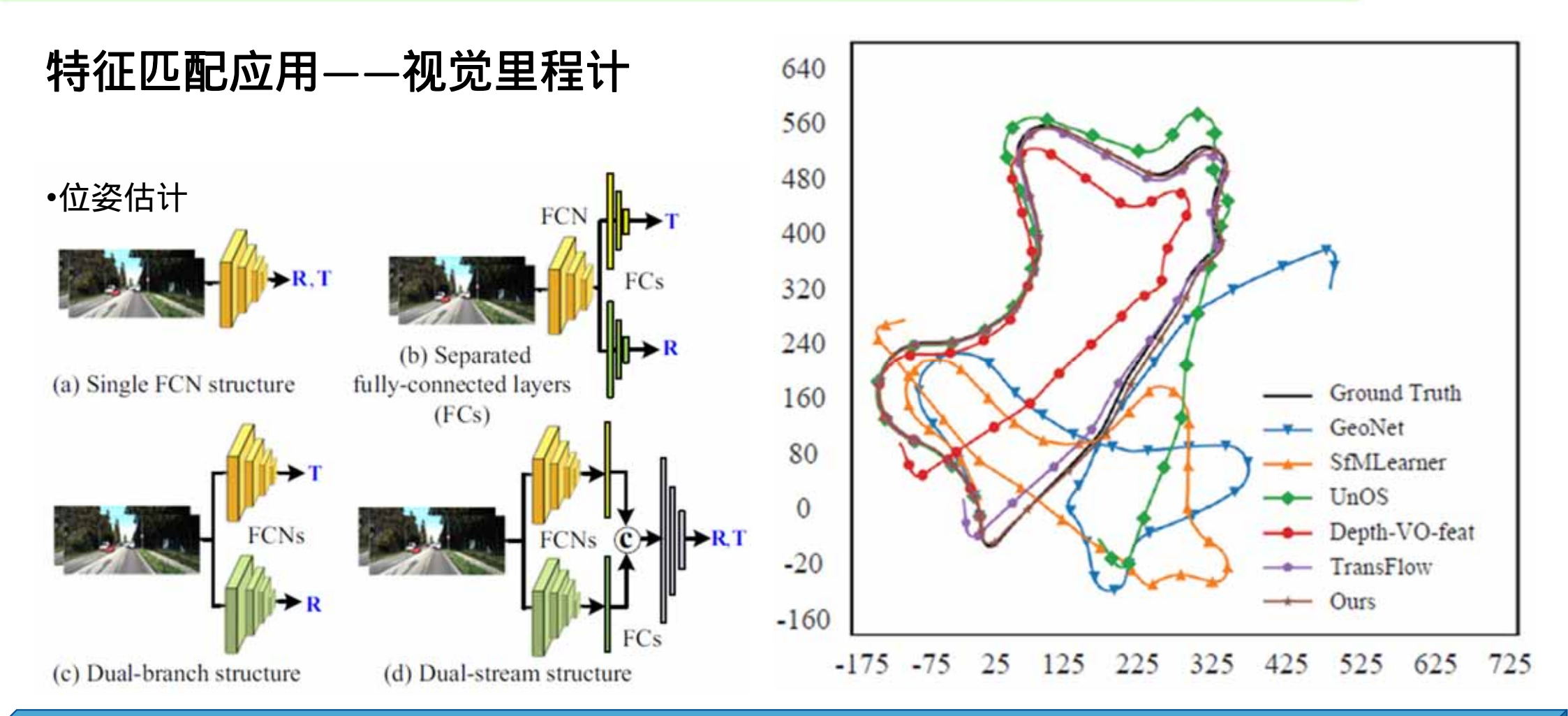
$$\begin{bmatrix} x_i \\ y_i \\ z_i \\ 1 \end{bmatrix} = \begin{bmatrix} \mathbf{R}_{3 \times 3} & \mathbf{T}_{3 \times 1} \\ \mathbf{0} & 1 \end{bmatrix} \begin{bmatrix} x_{i+1} \\ y_{i+1} \\ z_{i+1} \\ 1 \end{bmatrix}$$

■ 转为视点合成

$$z_{i} \begin{bmatrix} u_{i} \\ v_{i} \\ 1 \end{bmatrix} = z_{i+1} \begin{bmatrix} \mathbf{K} & | \mathbf{0} \end{bmatrix}_{3\times4} \mathbf{P}_{i+1\to i} \begin{bmatrix} \mathbf{K}^{-1} \\ -\mathbf{0} \end{bmatrix}_{4\times3} \begin{bmatrix} u_{i+1} \\ v_{i+1} \\ 1 \end{bmatrix}$$

$$p_s \sim K \hat{T}_{t \to s} \hat{D}_t(p_t) K^{-1} p_t$$

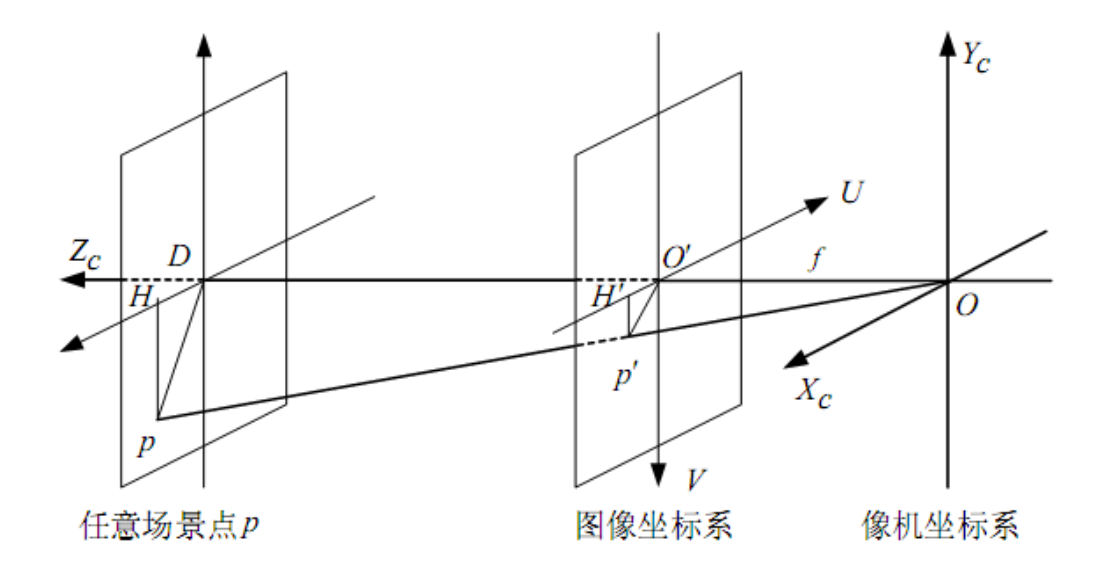
Hangzhou Dianzi University 杭州电子科技大学



Hangzhou Dianzi University 杭州电子科技大学

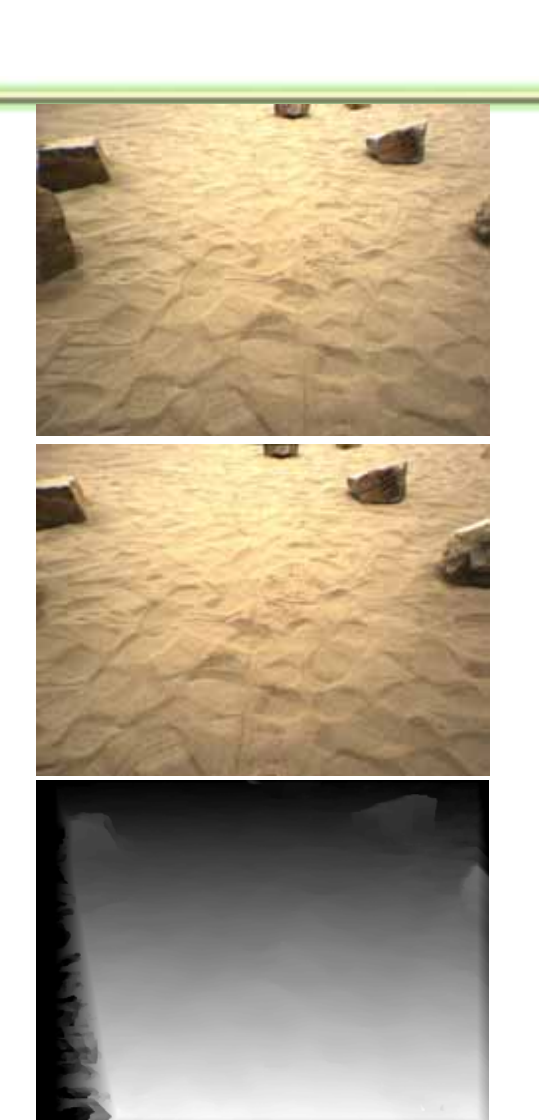


三维重建的几何关系

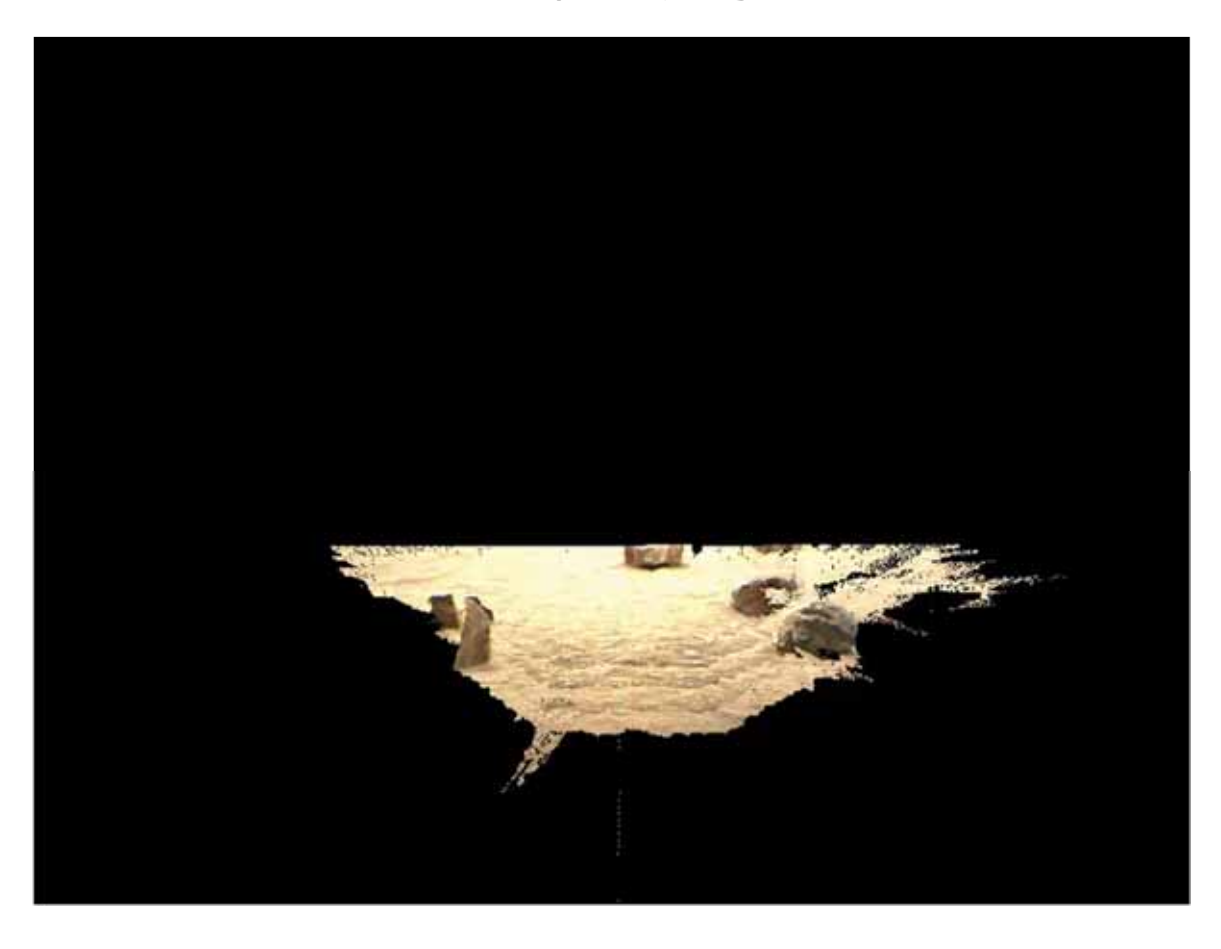


$$\frac{OO'}{OD} = \frac{O'H'}{DH} = \frac{Op'}{Op} = \frac{p'H'}{pH}, \quad \text{即有:} \quad \begin{cases} X_c = \frac{b(u - U_0)}{d} \\ Y_c = \frac{b(V_0 - v)}{d} \end{cases}$$
$$\frac{f}{Z_c} = \frac{u - U_0}{X_c} = \frac{v - V_0}{-Y_c}$$
$$Z_c = \frac{bf}{d}$$

仿月环双三重真表境目维建



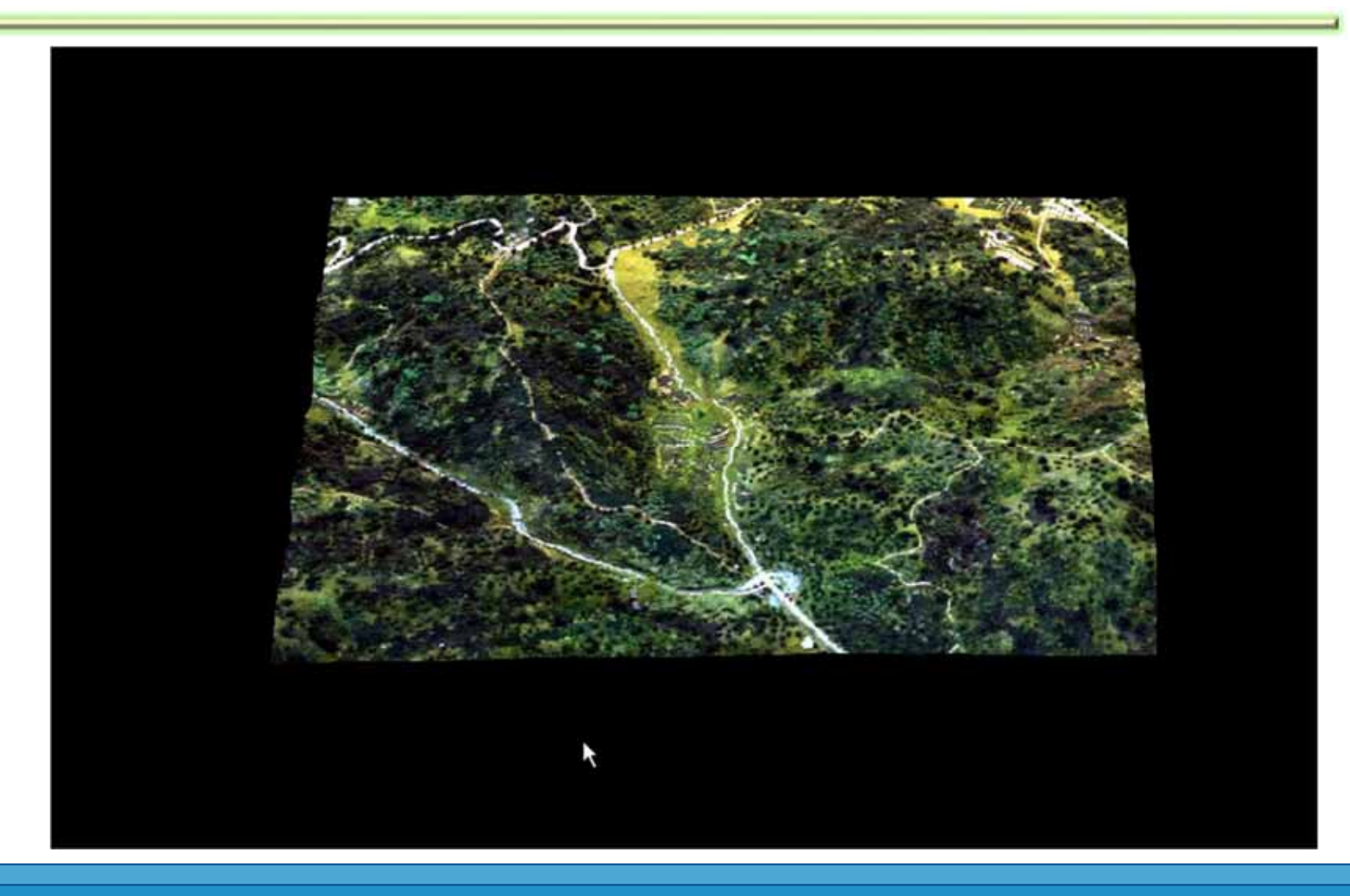
三维点云表示



Hangzhou Dianzi University 杭州电子科技大学

School of Computer Science and Technology 计算机学院 周文晖

Commission Contraction (1 - iii LHH 2 - 2000) of Combinate 201



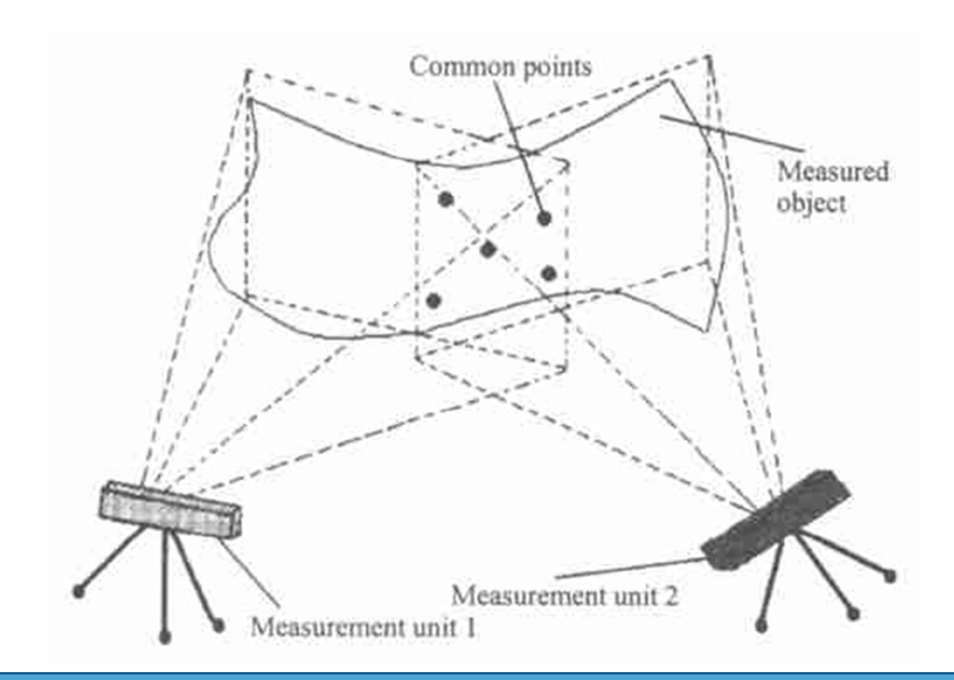
Hangzhou Dianzi University 杭州电子科技大学

School of Computer Science and Technology 计算机学院 周文晖

ufficurity contraction of the conductor contraction and the conductor contraction and accurate

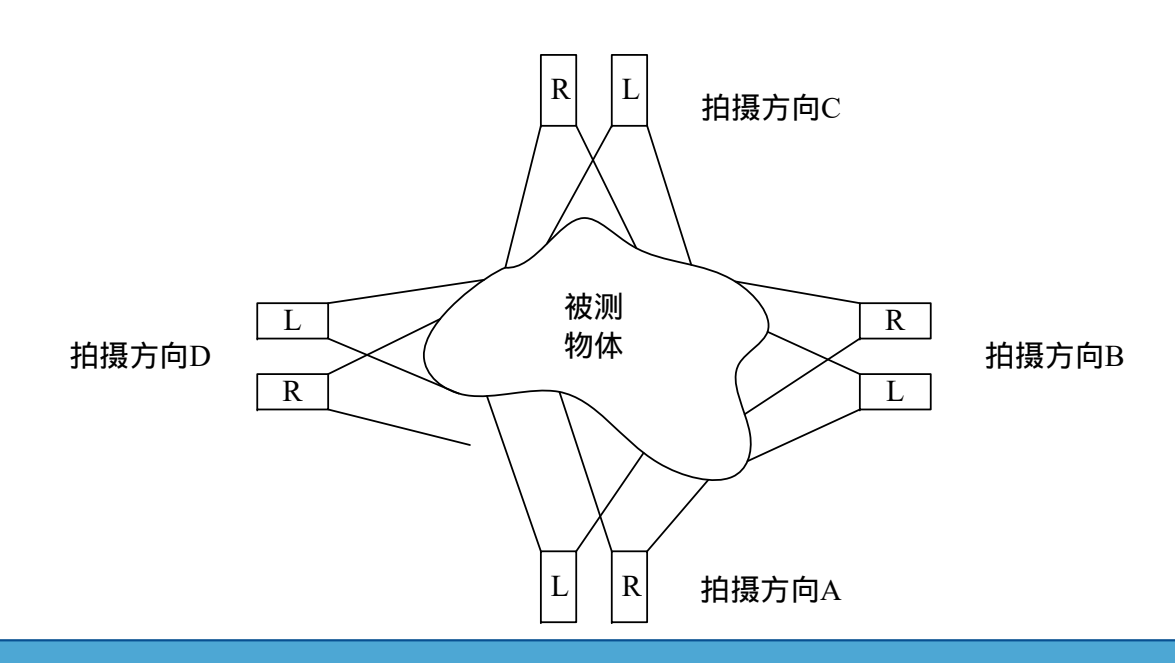
双目像机三维场景拼接

- •对于大场景的三维重建,由于系统视场有限,需要对不同视角下的三维模型进行人工拼接。
- •三维拼接技术的实质是把在不同的局部坐标系中测量得到的有效数据点云进行坐标变换。



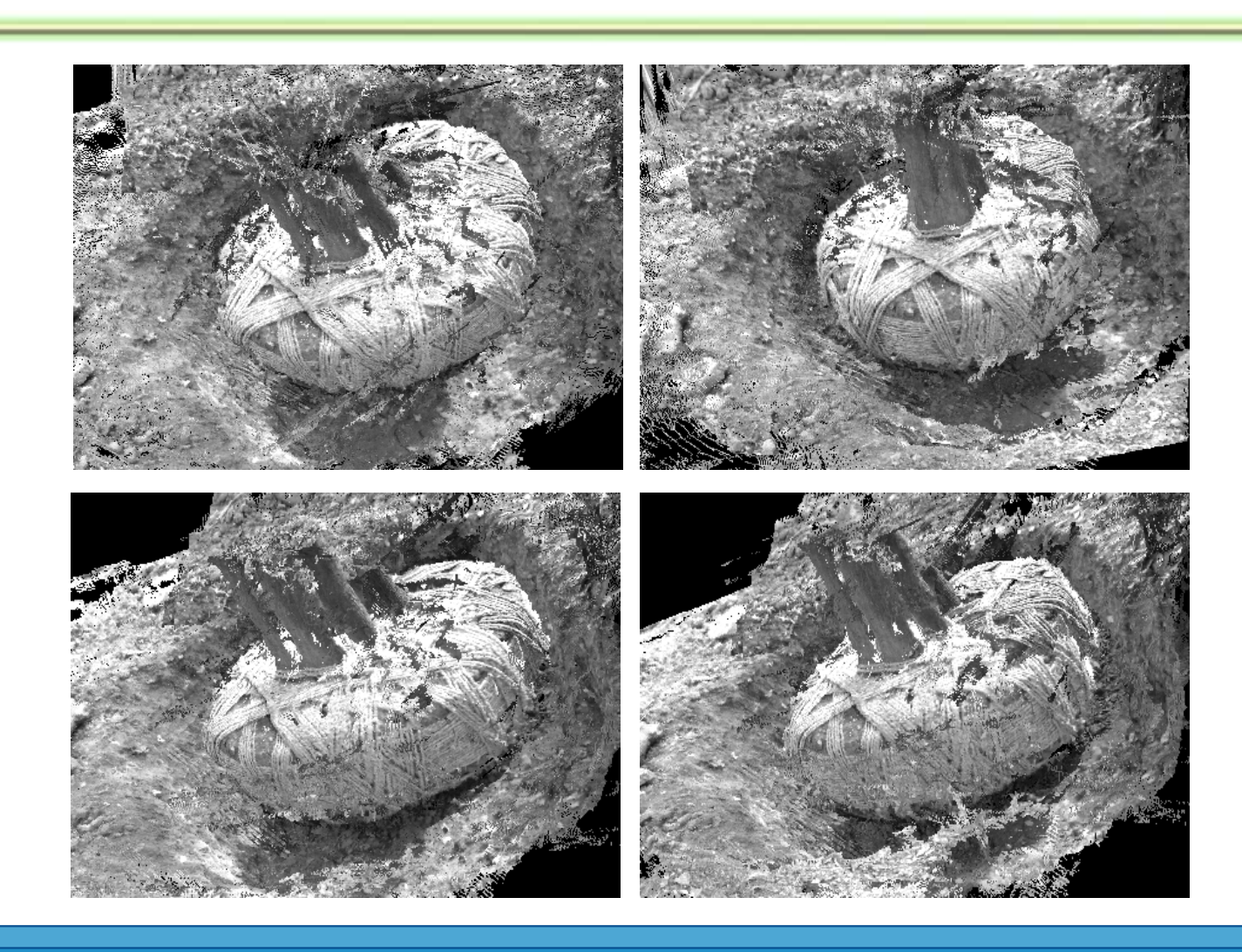
双目像机三维场景拼接

- •输入图像必须有足够的特征信息
- •前后帧之间应保证一定的重叠率,一般选取在60%~90%为佳。
- •尺度和旋转变化不易太大。



Hangzhou Dianzi University 杭州电子科技大学

野外树坑



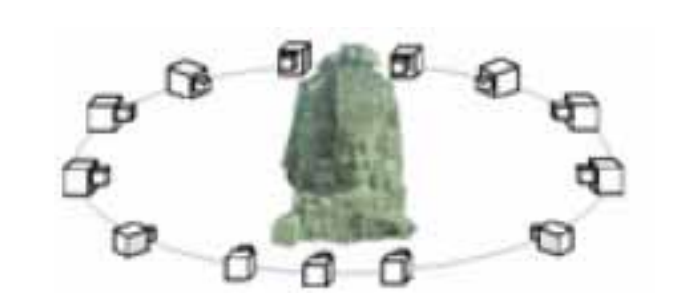
Hangzhou Dianzi University 杭州电子科技大学

School of Computer Science and Technology 计算机学院 周文晖

suffering contacts on the entire that the contact of the contact o

单目像机三维重建









Hangzhou Dianzi University 杭州电子科技大学

School of Computer Science and Technology 计算机学院 周文晖

tuileum entre entre entre entre en la la la la company de la company entre entre entre entre entre entre entre

单目像机三维重建





Hangzhou Dianzi University 杭州电子科技大学

Building Rome in a Day Video





https://www.cs.cornell.edu/~snavely/bundler/ https://www.cs.cornell.edu/projects/bigsfm/

- •S. Agarwal, N. Snavely and I. Simon, et al. Building Rome in a Day. in International Conference on Computer Vision. 2009. Kyoto, Japan.
- J. Frahm, P. Georgel and D. Gallup, et al. Building Rome on a Cloudless Day. in 11th European Conference on Computer Vision. 2010.
- Y. Furukawa, B. Curless and S.M. Seitz, et al. Towards Internet-Scale Multi-View Stereo. CVPR. 2010.

NeRF



Block-NeRF (CVPR2022) https://waymo.com/intl/zh-tw/research/block-nerf/



UniSim (CVPR2023 Highlight) https://waabi.ai/unisim/

Hangzhou Dianzi University 杭州电子科技大学

School of Computer Science and Technology 计算机学院 周文晖

airmiteanne remere cantronis e 🗀

Commercial and secure searched for recovery

Gaussian Splatting





杭电7教 杭电10教

写在课程的最后



CCD作为计算机视觉的物质基础 计算机视觉从此获得蓬勃发展

•加拿大物理学家博伊尔(Willard Boyle)和美国科学家史密斯(George E. Smith),因发明数码相机图像感应器"感光半导体电荷耦合器件"(CCD),2009年10月连同"光纤之父"高锟,荣获诺贝尔物理学奖。

Hangzhou Dianzi University 杭州电子科技大学

Rome is not built in a day!

A good beginning is half done!